

V TOMTO SEŠITĚ

Náš rozhovor	1
Nové knihy	2
Světozor	3
AR mládeži:	
Základy elektrotechniky	4
Jednoduchá zapojení pro volný čas	6
Proudová smyčka	10
TransiAmp - malý 120 W zesilovač pro hudebníky	14
Generátor funkcí s integrovaným digitálním měřičem frekvence	19
Úprava čítače MEXIS z PE 05/2004 ...	24
Netradiční usměrňovač	24
Inzerce	I-XXXII, 48
O zkreslení 2	25
Cyklovač stěračů s PIC	28
Signalizace nezapnutých světel v automobilu	29
Pojistka zvonkového tlačítka	31
Digitální stupnice	32
PC hobby	33
Rádio „Historie“	42
Z radioamatérského světa	45

Praktická elektronika A Radio

Vydavatel: AMARO spol. s r. o.

Redakce: Šéfredaktor: ing. Josef Kellner, redaktori: ing. Jaroslav Belza, Petr Havliš, OK1PFM, ing. Miloš Munzar, CSc., sekretariát: Eva Marková.

Redakce: Zborovská 27, 150 00 Praha 5, tel.: 2 57 31 73 11, tel./fax: 2 57 31 73 10, sekretariát: 2 57 31 73 14.

Ročně vychází 12 čísel. Cena výtisku 50 Kč.

Rozšiřuje První novinová společnost a. s. a soukromí distributoři.

Předplatné v ČR zajišťuje Amaro spol. s r. o. - Hana Merglová (Zborovská 27, 150 00 Praha 5, tel.: 2 57 31 73 12; tel./fax: 2 57 31 73 13). Distribuci pro předplatitele také provádí v zastoupení vydavatele společnost Mediaservis s. r. o., Zákaznické centrum, Moravské náměstí 12D, 659 51 Brno; tel.: 541 233 232; fax: 541 616 160; zakaznickacentrum@mediaservis.cz; reklamace - tel.: 800 800 890.

Objednávky a předplatné v Slovenskej republike vybavuje Magnet-Press Slovakia s. r. o., Šustekova 10, 851 04 Bratislava - Petržalka; korešpondencia P. O. BOX 169, 830 00 Bratislava 3; tel./fax (02) 67 20 19 31-33 - predplatné, (02) 67 20 19 21-22 - časopisy; email: predplatne@press.sk.

Podávání novinových zásilek povoleno Českou poštou - ředitelstvím OZ Praha (č.j. nov 6005/96 ze dne 9. 1. 1996).

Inzerce přijímá redakce - Michaela Hrdličková, Zborovská 27, 150 00 Praha 5, tel.: 2 57 31 73 11, tel./fax: 2 57 31 73 13.

Za původnost a správnost příspěvků odpovídá autor (platí i pro inzerce).

Internet: <http://www.aradio.cz>

E-mail: pe@aradio.cz

Nevyžádané rukopisy nevracíme.

ISSN 1211-328X, MKČR E 7409

© AMARO spol. s r. o.

NÁŠ ROZHOVOR



s ing. Přemyslem Hejdukem z firmy Micronix, která se zabývá distribucí měřicí techniky v ČR a SR, o výrobcích firmy Goodwill.

Již 10 let dovážíte výrobky firmy Goodwill. Můžete nám říci, jak jste s touto firmou začali?

Především bych chtěl říci, že společnost Micronix, přestože disponuje výhradním zastoupením firmy Goodwill pro ČR a SR, se nezabývá pouze produkty této firmy. V jejím sortimentu je ucelená nabídka měřicí techniky prakticky pro všechny obory průmyslu, školství, dopravy apod. od téměř všech světových výrobců měřicí techniky. Navíc naše firma s Goodwillem nezačínala. Podobný sortiment měřicí techniky nabízela zprvu od jihokorejské společnosti Goldstar. Ta se záhy přejmenovala na LG a tato firma pak vytvořila z některých divizí samostatné firmy s tím, že pro měřicí techniku to byl EZ Digital. Tyto změny měly však spíše negativní dopad.

Shodou okolností se v té době začala dynamicky rozvíjet a EZ Digital více než konkurovat právě společnosti Goodwill. Její obchodní úspěchy (zejména v Americe) vedly i ke spolupráci s výrobními firmami z USA.

Tak dobře, se sortimentem GW jste ve vaší společnosti nezačínali. Já měl však spíše na mysli, jak začala vaše spolupráce s GW.

O tom jsem chtěl právě hovořit. Po přesazení se na amerických trzích hledala společnost GW zastoupení i na dalších kontinentech, zejména v Evropě. My jsme měli zájem o produkty této společnosti a naopak, jako přední distributor měřicí techniky v ČR a SR jsme byli vytvářeni jimi. Takže k podpisu smlouvy od prvního jednání došlo velmi rychle.

Od té doby uběhlo spoustu času. Jste stále s jejich produkty spokojeni?

Ano a velmi. Výrobce přichází s mnoha zcela novými výrobky a stávající produkty neustále inovuje. Kvalita zůstává na velmi dobré úrovni a naopak se stále spíše zlepšuje.

Z jaké země firma GW vlastně pochází.

To není tak úplně jednoduché, neboť se jedná o nadnárodní společnost realizující výrobu v 5 zemích.

Hlavní sídlo - „office“ je tedy kde?

GW se dnes správně celý názvem jmenuje „Good Will - Instek (zkratka GW), protože je sloučená z americké Instek America Corp. a Tchajwanského GW. Hlavní sídlo je tedy v Taipei na Tchaj-wanu a v Kalifornii v USA.

A teď to hlavní - produkty.

Produkce se soustřeďuje do 4 hlavních skupin: osciloskopy, spektrální analyzátoři a generátory signálů, laboratorní zdroje a poslední 4. skupinou jsou tzv. základní měřicí a testovací přístroje pro komponenty a bezpečnost.



Můžete to trochu rozvést?

Takže osciloskopy nabízí GW jak analogové, tak digitální. Zvláštní skupinou jsou tzv. RA (read-out). Jsou to analogové osciloskopy s kursory s veškerým digitálním popisem. Analogové osciloskopy pracují ve frekvenčním pásmu až do 200 MHz. Všechny jsou 2kanalové. Mezi nimi jsou pak některé typy speciálně vybavené ještě např. čítačem, generátorem, možností výběru konkrétního televizního řádku apod.

Digitální osciloskopy pak disponují 5,6 nebo 6" obrazovkou LCD nebo CRT. Pracují také ve frekvenčním pásmu až do 200 MHz a vzorkovací rychlost mají až 1 GS/s. Vsměs jsou 8bitové a nejvyšší typy existují i ve verzi se 4 kanály. Komunikace s PC probíhá přes USB nebo RS-232, za příplatek je možno vybavení portem GPIB.

Spektrální analyzátoři se nabízejí v pásmu 150 kHz až 1 GHz, nebo 9 kHz až 2,7 GHz. Rozsah amplitudy u obou typů je -100 dBm ±20 dBm. Jedná se o síťové přístroje s možností variabilní objednávky přídatných funkcí, jako je např.: tracking generátor, stabilizátor 1 ppm, AM, FM demodulátory, filtry EMI apod.

Generátory funkcí pak dodává GW kromě klasických i s přímou digitální syntézou (DDS), dále programovatelné, signální (AM/FM), audio i RF. Některé z nich jsou vybaveny čítačem (do asi 150 MHz), rozmitáním (jak lineárním, tak logaritickým) apod. Hraníční šířka pásma je max. 30 MHz. Napětí amplituda výstupu je u všech typů 20 V. Při zatížení 50 Ω 10 V. Řízení nebo uložení nastavení je pak u některých generátorů realizováno přes RS-232.

Obširnou skupinou jsou pak zdroje. GW vyrábí celou škálu zdrojů od programovatelných, přes klasické DC zdroje, 2- nebo 1kanalové s případným výstupem pevného napětí, až po výkonové AC zdroje. V této nepřehledné škále si každý vybere potřebný zdroj, neboť zdroje mají nabídku s malým odstupem konečného napětí. Zrovna tak výkon je nabízen v široké škále s malým odstupem v konečném proudovém omezení.

No a co ta poslední skupina?

Ano, to jsou různé přístroje pro analýzu prvků a elektrické bezpečnosti. Do skupiny patří stolní multimetry, miliohmmetry, milivoltmetry, měřiče RLC, čítače a vysokonapětové zdroje ke stanovení elektrické pevnosti.

Multimetry jsou většinou 4,5místné, s velmi slušnou přesností. Funkce RMS je zaručena minimálně do 50 až 100 kHz u střídavého napětí a u proudu do 20 kHz. Rozsahy měřených veličin I , U , R , f jsou v běžných mezích. Miliohmmetry měří v rozsazích jednotek mΩ až do 30 MΩ, testovacím proudem 10 μA





Spektrální
analyzátor
GSP-830

až 1 A. U jednoho z typů je zaručena kompenzace s okolím pomocí teplotní sondy.

Zvláštní pozornosti si zaslouží skupina měřičů RLC. Testovací frekvence se u těchto přístrojů pohybuje až do 200 kHz s přesností 0,05 %. Měřicí rozsahy jsou již od 0,01 mΩ nebo 0,00001 pF nebo 0,01 μH. Analýzy D a Q jsou samozřejmostí, rovněž tak jako vybavení RS-232 s příloženým SW zdarma.

Střídavé milivoltmetry nabízí GW jedno-, nebo dvoukanalové. Frekvence, při níž jsou zaručeny hodnoty v povolených tolerancích, se pohybují mezi 10 Hz až 1 MHz. Měření v řádech μV až 100 V je možné realizovat ve 12 rozsazích podobně jako -70 až -140 dB.

Mezi oblíbené přístroje patří rovněž čítače, které mají frekvenční rozsah až do 2,7 GHz, od 0,01 Hz s citlivostí od 10 mV. Čítače zobrazují na 8místném displeji a disponují stabilitou 1 ppm/měsíc.

Poslední a zcela odlišnou skupinou jsou vysokonapěťové zdroje pro měření elektrické pevnosti. Jedná se o základní řady GPT 800 a GPT 700. Řada 700 se vyznačuje menším výkonem (200 VA), ale má vestavěnou možnost komunikace s PC. Řada GPT 800 toto vybavení nemá, ale disponuje větším výkonem (500 VA).

Obě řady obsahují zadní 9východový konektor, který umožňuje ovládání z připojeného místa, čili obsluha může ovládat přístroj mimo přímý dosah vn. U všech těchto přístrojů lze navolit hraniční napětí 5 kV, u typů GPT 715 a 735 na DC testu až 6 kV. Všechny testují AC napětím a některé vybrané typy z obou řad i DC napětím. U všech těchto přístrojů lze nastavit tzv. „rampový“ test - konečné testovací napětí, strmost náběhu na toto napětí, doba setrvání na tomto napětí. Pokud nenastane během takového testu průraz, zařízení vyhoví v nadefinované elektrické pevnosti. Další funkcí u některých vybraných typů je možnost testování izolačního odporu do 1000 V.

A co nějaké novinky?

Ano novinky jsou kořením nabídky a GW jich realizuje každý rok poměrně dost. V letošních novinkách dominuje především 16- nebo 32bitový logický analyzátor, označený jako řada GLA 1000.

Jedná se o 200 MHz, 16-, nebo 32bitový logický analyzátor s pamětí max. 32 Mbit. Je vyrobený jako externí modul k PC. Analyzovat stavy lze v pásmu 0,001 Hz až 100 MHz při externím spouštění a 100 Hz až 200 MHz při interním spouštění. Spouštět lze pomocí úrovně, napětí, počtu, časového zpoždění, konfigurace hrany a úrovně apod. Rozličně lze zobrazit signál na PC, jako: průběh křivky, seznam, čas, frekvence, adresa apod. Zkomprimovat paměť lze až 255x bez ztráty dat.

Další novinkou je 3 GHz spektrální analyzátor GSP 830 s tracking generátorem. Měříť lze v pásmu již od 9 kHz. Přístroj je vybaven barevným displejem LCD TFT s vysokým rozlišením. Obsahuje také přímý VGA výstup a je standardně vybaven rozhraním

USB a RS-232. GPIB je za příplatek. Vnitřní paměť umožňuje záznam 10 stop. „Markery“ pak 10 špiček, 5 delta párů. Přístroj lze variabilně napájet ze sítě nebo vestavěných akumulátorů (za příplatek)

No vidíte, a já čekal záplavu novinek z oblasti osciloskopů, vždyť v nich GW dominuje.

Ano osciloskopy tvořily páteř výroby, ale produkce je dnes již velice různorodá. Přesto samozřejmě i v osciloskopech GW novinky nabízí. Jedná se především o řadu GDS 2000. Jsou to 2- až 4kanalové 200 MHz osciloskopy s vzorkováním až 1 GS/s. Tyto barevné osciloskopy s displejem LCD TFT mají hloubku paměti 25 k/kanál. Všechny tyto přístroje mají vestavěnou funkci FFT (analýza vyšších harmonických). RS-232 a USB je ve standardní výbavě a SW je volně stažitelný na Internetu.

I když jste se zmínil o kvalitě, přesto bude čtenáře zajímat, jak je zajištěn servis.

Firma Micronix disponuje vlastním záručním a pozáručním servisem. U firm, kde máme generální zastoupení, je servisní zájem samozřejmostí. U GW jsme plně zásobeni náhradními díly, takže pokud vůbec nastane porucha, tak opravy těchto přístrojů netrvaly nijak dlouho.

Jinak technická spolupráce s mateřskou firmou je bezproblémová a při složitějších opravách probíhají živé technické konzultace, nebo se přístroje výjimečně zasílají i k výrobcům. Dnes to neznamená žádné velké zdržení, protože do 3 dnů je přístroj již v servisu výrobní firmy.

Ověřujete také správnost parametrů a nastavujete přístroje?

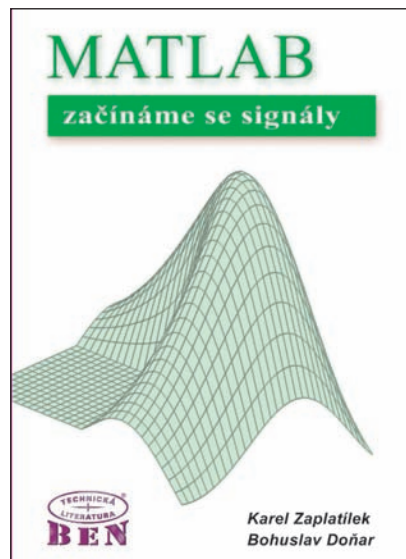
Nejenom že to po případné opravě provádí samotný servis, ale máme i svoje další oddělení: vlastní kalibrační středisko, které je navázané na ČMI. Zde se ověřují parametry anebo, pokud to zákazník vyžaduje, lze vystavit protokol o kalibraci s naměřenými hodnotami. Toto je ale již placená služba.

Tak jsme v základě probrali asi vše. Pokud by zajímaly čtenáře podrobnosti, kam se mají obrátit?

Všechny uvedené přístroje i mnoho dalších, a to nejen od firmy Goodwill, jsou přehledně seřazeny na našich webových stránkách. K dispozici jsou i katalogy v tištěné formě zdarma, včetně katalogu novinek. Ty si stačí vyžádat písemně či telefonicky v sídle firmy. Všechny adresy a spojení jsou k nalezení na II. straně obálky.

Děkuji Vám za rozhovor.

Připravil ing. Josef Kellner.



Zaplatílek, K.; Doňar, B.: MATLAB - začínáme se signály. 3. díl, BEN - technická literatura, 272 s. B5, obj. č. 112684, MC 299 Kč.

Kniha je určena pro všechny uživatele systému MATLAB, kteří k tomu hledají vhodného průvodce. Je psána především pro začátečníky v tomto oboru, ale může stejně dobře posloužit jako užitečný zdroj informací i pro pokročilejší uživatele. Pro efektivní využití informací v knize obsažených je vhodné mít alespoň základní znalosti a návyky při práci s MATLAB.

Co v knize najdete? Tak např. kapitola s názvem „MATLAB - nástroj pro práci s čísly“ spojuje pojem signál s prostředím systému MATLAB. Zde kniha obsahuje řadu užitečných informací, spojených s pojmy číselový signál, vzorkování, diskretní čas a je ukázano, jak pracovat se spojitými signály. Kapitola čtvrtá nese název „Tvorba a získávání signálů v prostředí MATLAB“. Jde o rozsáhlou část knihy, kde se naučíte signály prakticky tvořit nebo je do prostředí MATLAB importovat či naopak exportovat do jiných aplikací. Seznámíte se s mnoha zajímavými strukturami systému, dozvíte se o práci s formáty čísel, naučíte se načítat a ukládat data v mnoha formátech apod. Kapitola obsahuje také části o získávání dat z externích zdrojů (FTP). Vše je dokumentováno na množství příkladů s mnoha obrázky, zdrojovými texty MATLAB.

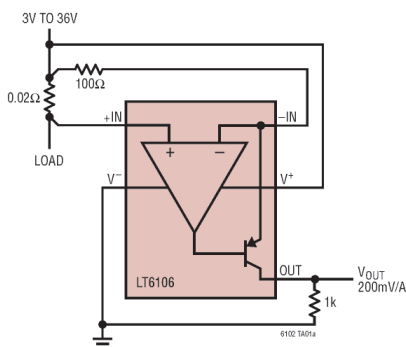
Poslední kapitola je pak věnována analýze signálů. Zde je koncentrováno největší množství teoretických poznatků spolu s aplikačními příklady. Naučíte se provádět rychlou orientační analýzu v časové oblasti, ale i složitější a na teoretické znalosti náročnější druhy analýzy, např. spektrální analýzu a časově-frekvenční analýzu.

Knihu si můžete zakoupit nebo objednat na dobrouku v prodejní technické literatury BEN, Věšínova 5, 100 00 Praha 10, tel. 2 7482 0411, 2 7481 6162, fax: 2 7482 2775. Další prodejní místa: Jindřišská 29, Praha 1, sady Pětatřicátníků 33, Pízeň; Veveří 13, Brno, Československá 17, Ostrava, e-mail: knihy@ben.cz, adresa na Internetu: <http://www.ben.cz>. Zásilková služba na Slovensku: Anima, anima@anima.sk, www.anima.sk, Slovenskej jednoty 10 (za Národnou bankou SR), 040 01 Košice, tel./fax (055) 6011262.



Integrovaný senzor proudu

Pro měření proudu zátěže na straně vyššího napětí zdroje (2,7 až 36 V) převodem na výstupní napětí je určen integrovaný obvod firmy **Linear Technology** (www.linear.com) LT6106. Konstanta určující přenos (poměr výstupního napětí a úbytku na snímacím rezistoru – max. 500 mV) určují odpory dvou externích rezistorů. Chyba měření proudu je menší než 1%. Typická vlastní spotřeba obvodu je pouze 65 μA při 12 V. Lze jej použít při teplotách -40 až +125 °C. Pouzdro ThinSOTTM má výšku pouze 1 mm. Proudové senzory se používají např. při měření proudu, řízení napájení zvláště bateriových elektronických zařízení, ovládání motorů, proudových pojistkách a ochraně proti přetížení.



Nový chytrý senzor spustí žádanou akci

Výroba produktů MEMS (Micro-Electro-Mechanical-Systems) obsahujících na čipu jak mechanické prvky, např. čidla některé mechanické veličiny, tak i vyhodnocovací elektroniku představují stále významnější segment průmyslu vyrábějícího polovodičové prvky. Dobrým příkladem jsou např. mikromechanické senzory zrychlení (akcelerometry), jejichž jedním z předních výrobců je firma **STMicroelectronics** (www.st.com).

Tato firma přichází nyní se zajímavou novinkou, dvouosým akcelerometrem s digitálním výstupem LIS202DL, který je schopen detekovat např. jednotlivé a dvojité kliknutí užívané při komunikaci s počítačem a jeho výstupní signál přímo využít pro aktivaci žádané akce, např. otevření dokumentu. Jinou aplikací může být přerušování nevhodného vyzvánění mobilního telefonu poklepnutím přímo na kapsu. Samozřejmě je možné i kla-

sické využití, např. pro monitorování kmitání nebo v příslušenství herních zařízení. Na čipu je integrována i horní propust, kterou se vyloučí vliv statických signálů, vznikajících např. pomalou změnou polohy nebo sklonu akcelerometru. Snazší je i komunikace se senzorem, který je vybaven digitálním rozhraním SPI/I²C. LIS202DL je vyráběn v plastovém pouzdře LGA-14 s rozměry 5 × 3 × 0,9 mm s rozsahy ±2 g nebo ±8 g. Pro napájení je třeba napětí 2,16 až 3,6 V, spotřeba je pod 1 mW.



LED pronikají do automobilů stále více

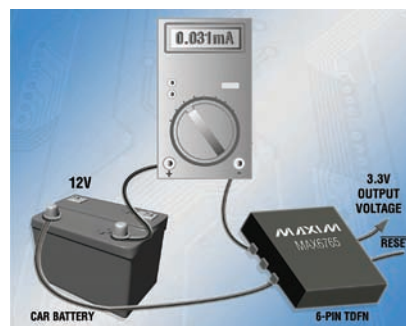
Studie kupé Opel GTC Concept představená na autosalonu v Ženevě je vybavena osvětlením využívajícím kompletně LED od firmy **OSRAM Opto Semiconductors** (www.osram-os.com). Pro parkovací světla a denní světlo jsou použity LED typu Golden Dragon, pro potkávací světla jsou v každém světlometu použity dvě LED OSTAR, pro dálkové světlo tři tyto diody. Mlhová světla obsahují jeden OSTAR LED. Červené svítivé diody TOPLED byly použity pro stylové osvětlení do stejné barvy laděného interiéru. Výhodou diodového osvětlení je rychlost účinku, doba života LED přes 50 000 hodin a proti klasickým světelným zdrojům větší volnost pro designéry automobilu.



Regulátory napětí pro použití v autoelektronice

Lineární regulátory napětí z řady MAX6765 až 6774 od firmy **Maxim** (www.maxim-ic.com) pracují při vstupním napětí 4 až 72 V a při vlastní spotřebě pouze 31 μA poskytnou napájecím obvodům až 100 mA. Výstupní napětí jsou buď pevná 5, 3,3, 2,5

a 1,8 V s tolerancí 1,5 %, nebo nastavitelná dvěma externími rezistory v rozsahu 1,8 až 11 V. Mimo to generují nastavovací signál RESET, kdykoli je výstupní napětí pod prahovou úrovní. Po jejím následném překročení signál RESET zanikne po čase nastavitelném externím kondenzátorem v rozmezí 75 μs až 200 ms. Výstup tohoto signálu je buď otevřený kolektor tranzistoru MOSFET, nebo dvojitý výstup. Některé obvody z řady jsou vybaveny dvěma uvolňovacími vstupy, případně i hlídacím obvodem s časovačem, všechny pak ochranou proti poškození zkratem a přehřátím. Použitá pouzdra TDFN mají půdorys jen 3 × 3 mm, rozsah pracovních teplot je -40 až +125 °C.



Miniaturní digitální tranzistory

Firma **Fairchild Semiconductor** (www.fairchildsemi.com) rozšířila svůj sortiment digitálních tranzistorů v pouzdrech TO-92 (FJN), SOT-23 (FJV) SOT-323 (FJX) o dvě nové řady tvořené 29 digitálními tranzistory, 14 typy PNP FJY40xx a 15 typy NPN FJY30xx, na celkem 145 ks. V pouzdrech SOT523F (1,7 × 0,98 × 0,78 mm) je vedle tranzistorů se ztrátovým výkonem 200 mW integrována ještě jednoduchá rezistorová síť. To umožňuje konstruktérům uspořít místo na deskách s plošnými spoji, také samotný návrh aplikace je jednodušší. Tranzistory jsou určeny pro mobilní telefony, PDA, herní přístroje, notebooky a další přenosná zařízení zvláště ve spínacích obvodech, invertorech, budicích obvodech a rozhraních.

JH



FJY30xx / FJY40xx Digital Transistors (Bias Resistor Transistors) Feature Integrated Resistors

Základy radiotechniky a vf techniky

(Pokračování)

Modulace vf signálu prakticky

V tomto pokračování si ukážeme několik jednoduchých zapojení, na kterých si můžete vyzkoušet modulaci vf signálu. K pokusům budete potřebovat také nějaký přijímač. Stačí rozhlasový přijímač s rozsahem středních nebo lépe krátkých vln pro pokusy s AM a rozsahem velmi krátkých vln pro pokusy s FM.

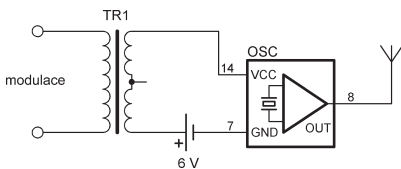
Amplitudová modulace

Jeden z nejjednodušších způsobů, jak si vyzkoušet AM, je použít hotový krystalový oscilátor (obr. 69). Tyto oscilátory jsou součástí některých elektronických zařízení. Lze je koupit nebo získat ze starých vraků – základní desky PC s procesory 286 a 386 měly těchto oscilátorů hned několik, nejčastěji s kmitočty 12, 16 nebo 33 MHz. Krystalový oscilátor je třeba použít s takovým kmitočtem, který můžete přijímat vaším přijímačem.

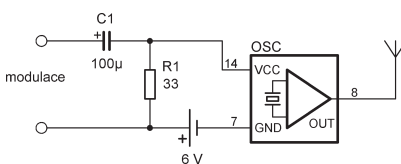
Jednoduché zapojení AM vysílače je na obr. 70. Do přívodu napájení oscilátoru zapojíme primární vinutí výstupního transformátoru ze starého rádia. Sekundární vinutí (to, ke kterému byl původně zapojen reproduktor) bude vstupem a zapojíme ho



Obr. 69. Krystalový oscilátor



Obr. 70. AM vysílač s krystalovým oscilátorem a modulačním transformátorem



Obr. 71. AM vysílač bez transformátoru

k reproduktorovému výstupu nějakého nf zesilovače. Na výstup oscilátoru připojíme kus drátu jako anténu. Napětí z baterie prochází přes vinutí transformátoru na oscilátor. K napájecímu napětí se přičítá napětí indukované ve vinutí. V rytmu modulace se napětí oscilátoru zvětšuje a zmenšuje a současně se mění amplituda výstupního vf napětí. Podle kmitočtu oscilátoru, délky antény a citlivosti přijímače lze modulovaný signál zachytit na vzdálenost až několika desítek metrů. Anténa, pravděpodobně mnohem kratší než 1/4 vlnové délky, má malou účinnost a vyzářený výkon bude velmi malý. Vhodnější jsou proto vyšší kmitočty krátkých vln, u kterých bude poměr vlnové délky a délky antény příznivější.

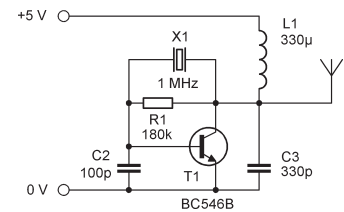
Na obr. 71 je upravené zapojení, které nepotřebuje transformátor. Nízkofrekvenční signál použitý k modulaci však musí mít větší amplitudu, protože se neuplatní převodní poměr transformátoru.

Krystalový oscilátor si můžete sestavit z diskretních součástek. Jedno z možných zapojení je na obr. 72. Kapacity kondenzátorů C2 a C3 vyhovují použitému krystalu 1 MHz, pro krystaly s vyšším kmitočtem jejich kapacitu zmenšíte, např. na 27 pF pro krystaly 10 až 30 MHz. Také indukčnost cívky L1 lze pak zmenšit.

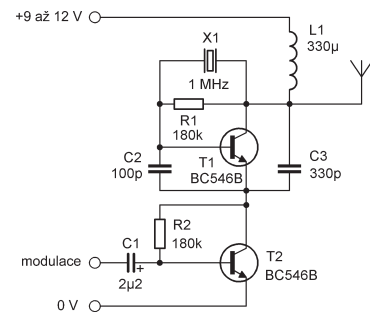
Na obr. 73 je k oscilátoru přidán modulátor s tranzistorem T2. Nf signál pro modulaci pak postačí mnohem slabší, lze použít např. sluchátkový výstup přehrávače mp3 apod. Odpor rezistoru R2 je třeba zvolit podle odběru oscilátoru tak, aby na kolektoru T2 byla přibližně polovina napájecího napětí – ne méně než 1/4 a ne více než 3/4. Odběr oscilátoru je totiž na odporu rezistoru R1 jen málo závislý. Větší vliv mají parametry krystalu.

Kmitočtová modulace

Pro amatérské pokusy je mnohem vhodnější kmitočtová modulace. Vyšší kmitočet pásma FM rozhlasu (88 až 108 MHz), lepší citlivost přijímačů a délka antény srovnatelná se čtvrtinou vlnové délky umožňuje větší dosah takového „vysílače“ při menší spotřebě proudu. Základem vysílače je oscilátor, jehož kmitočet lze měnit



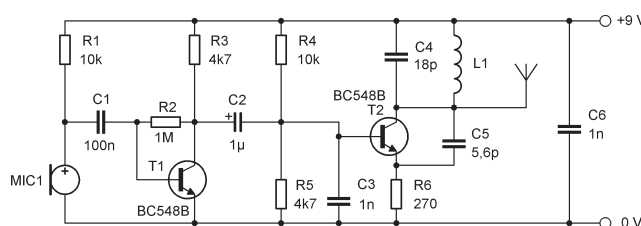
Obr. 72. Krystalový oscilátor z diskretních součástek



Obr. 73. Krystalový oscilátor s modulátorem

vnějším signálem. Profesionální konstrukce používají stabilní oscilátor nebo oscilátor s kmitočtem stabilizovaným fázovým závěsem. Kmitočet oscilátoru se pak v malých mezích mění kapacitní diodou - varikapem. Varikap je vždy zapojen v závěrném směru. Podle stejnosměrného napětí na diodě se v polovodiči mění šířka oblasti bez nábojů mezi polovodiči typu p a n a tím i kapacita diody. Podobným způsobem se mění i parazitní kapacity bipolárních tranzistorů. Toho se využívá v nejjednodušších FM vysílačích, sloužících pro zábavu nebo k odposlechu. Zapojení takových „štěnic“ najdete na internetu celou řadu, většinou je to nějaká varianta zapojení z obr. 74. První tranzistor zesiluje signál z elektretového mikrofónu, druhý je zapojen jako oscilátor, který se rozladuje změnou pracovního bodu. Cívka má samonosně asi 6 závitů na průměru 5 mm, místo C4 lze pro snažší naladění použít kapacitní trimr 22 pF. Vysílač naladíme roztahováním závitů cívky nebo trimrem do pásma FM na místo, kde nevysílá žádná rozhlasová stanice.

VH
(Pokračování příště)



Obr. 74. Jednoduchý FM vysílač - štěnice.

Digitální technika a logické obvody

Jednoduchá zapojení s logickými obvody

(Pokračování)

Elektronická ruleta se šestnácti LED

Následující zapojení je opět určeno zejména pro zábavu a jako hračka pro děti. Jedná se o jednoduchou elektronickou ruletu se šestnácti svítivými diodami, u které je rotující kulička reprezentována vždy jednou rozsvícenou LED. Jádrem zapojení je podobně jako v předchozích případech čtyřbitový binární čítač, na jehož výstupy Q_3 až Q_0 je zapojen dekodér 1 ze 16. Součástí zapojení, jehož schéma je uvedeno na obr. 155, je dále zdroj hodinového signálu, který je v tomto případě realizován časovacím obvodem 555.

S čítačem 74HC393 jsme se již seznámili v předchozích dílech, a proto jej není třeba nijak detailně představovat. Integrovaný obvod 74HC393 obsahuje dva nezávislé čtyřbitové binární čítače s nulováním, které se inkrementují při sestupné hraně hodinového signálu CLK (pin 1/13) a nulují přivedením úrovně H na vstup nulování R (pin 2/12).

Obvod 74HC154 je dekodér čtyřbitového binárního kódu na kód 1 ze 16. Každá kombinace logických úrovní (adresa) přivedených na vstupy A_3 až

A_0 aktivuje právě jeden z výstupů \bar{Y}_0 až \bar{Y}_{15} . Aktivovaný výstup Y_i , jehož index odpovídá dekadicky vyjádřenému binárnímu číslu na adresových vstupech A, je vždy v úrovni L, zatímco všechny ostatní výstupy jsou v daném okamžiku v úrovni H. Obvod je vybaven dvěma vstupy uvolnění \bar{E}_0 a \bar{E}_1 , které umožňují rozšíření na dekodér 1 z 32, popř. 1 ze 64. Pro normální funkci dekodéru musí být $\bar{E}_0 = \bar{E}_1 = L$. Je-li na jednom ze vstupů uvolnění E úroveň H, a to nezávisle na adresových vstupech A.

Propojíme-li výstupy čítače Q_3 až Q_0 s adresovými vstupy dekodéru A_3 až A_0 a zapojíme-li na výstupy dekodéru proti napájecímu napětí U_{CC} svítivé diody, pak se s každou sestupnou hranou signálu přiváděného na hodinový vstup čítače CLK posune svítící LED o jednu pozici; získáme zapojení „běžícího světla“. Uspořádáme-li LED do kruhu tak, aby spolu sousedily diody na výstupech Y_0 a Y_{15} , bude světlo obíhat v kruhu a simulovat pohybující se kuličku v ruletě.

Zdroj hodinového signálu je v tomto zapojení realizován univerzálním časovačem 555. Standardní zapojení tohoto obvodu ve funkci astabilního multivibrátoru, kterého lze využít jako generátoru hodinového signálu v mnoha aplikacích s logickými obvody, ukazuje obr. 156. Funkci integrovaného obvodu 555 si popíšeme pouze ve stručnosti. Vývody 2 a 6 jsou připojeny na vstupy vnitřních komparátorů, které řídí vnitřní klopný obvod RS. Zmenší-li se napětí na vstupu 2 pod 1/3 napájecího napětí U_{CC} , na výstupu 3 se objeví napětí blízké U_{CC} . Pře-

kročí-li naopak napětí na vstupu 6 velikost 2/3 napájecího napětí U_{CC} , na výstupu se objeví napětí blízké nule a zároveň se aktivuje výstup 7, který se přes vnitřní tranzistor spojí s nulovým napětím. Zapojením obvodu podle obrázku 156 docílíme toho, že se bude kondenzátor C periodicky nabíjet a vybíjet s frekvencí

$$f = \frac{1,44}{(R_A + 2R_B) \cdot C}$$

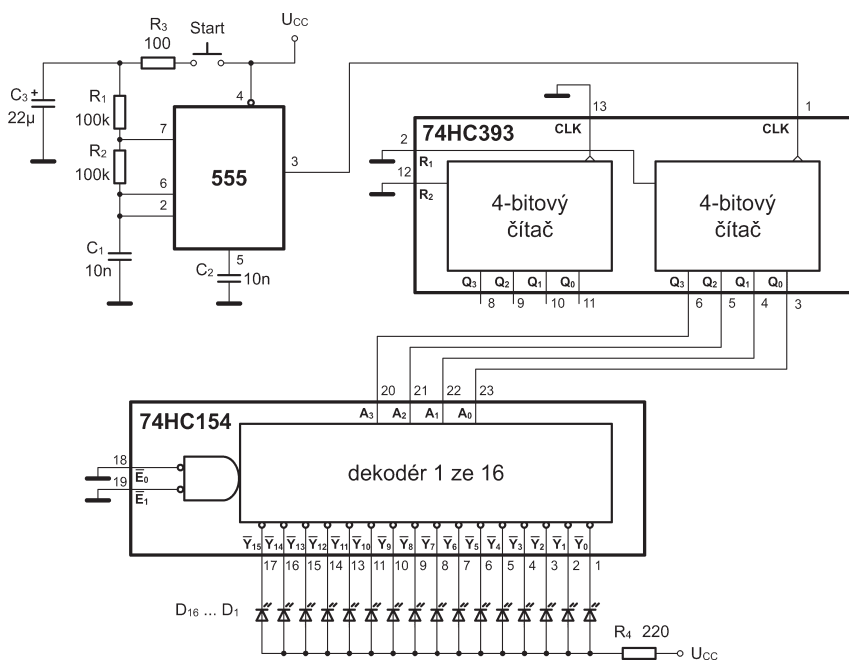
a zároveň se bude periodicky (s obdélníkovým průběhem) měnit i úroveň na výstupu 3. Napájecí napětí U_{CC} může být v rozsahu 4,5 až 16 V a přivádí se na vývod 8; GND se připojuje na vývod 1. Vstup 4 slouží k nulování obvodu nezávisle na vstupech 2 a 6 a lze jej použít pro zastavení generování impulzů. Připojíme-li vstup 4 na nulové napětí, na výstupu 3 bude napětí blízké nule a zároveň se aktivuje i nulovací výstup 7. Vstup 5 je připojen k vnitřnímu děliči napětí a umožňuje měnit komparační úroveň na vstupech 6 a 2. Úkolem kondenzátoru C_2 je zamezit průniku rušivých impulzů do vstupu 5, který je v tomto případě nevyužitý.

Jak je patrné ze schématu elektronické rulety na obr. 155, zapojení generátoru impulzů s obvodem 555 bylo mírně upraveno. Rezistor R_1 zde není připojen k napájecímu napětí U_{CC} , nýbrž ke kondenzátoru C_3 , který se nabije přes rezistor R_3 po stisknutí tlačítka „Start“. Po uvolnění tlačítka se kondenzátor vybíjí, v důsledku čehož se postupně zmenšuje jeho napětí a tím i prodlužuje perioda kmitání. Po určité době, kdy se napětí na kondenzátoru C_3 zmenší pod 2/3 U_{CC} , přestane obvod kmitat úplně (kondenzátor C_1 se již nemůže nabít na úroveň větší než 2/3 U_{CC} , tj. napětí komparátoru na vstupu 6).

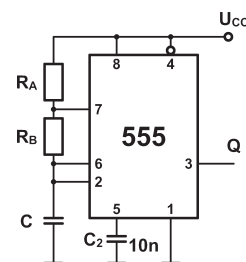
Jednotlivým LED v ruletě přiřadte čísla a pro lepší efekt použijte různobarevné LED pro sudá a lichá čísla. Protože v daném okamžiku svítí vždy pouze jediná LED, je použit jen jeden předřadný rezistor. V případě rozdílné svítivosti nestejnobarevných LED použijte rezistory s různými odpory pro každou barvu. Napájecí napětí obvodu je 5 V.

Vit Špringl

(Pokračování přístě)



Obr. 155. Schéma elektronické rulety. Napájecí napětí obvodu 74HC393: U_{CC} – pin 14, GND – pin 7; 74HC154: U_{CC} – pin 24, GND – pin 12; 555: U_{CC} – pin 8, GND – pin 1



Obr. 156. Zapojení generátoru hodinového signálu s obvodem 555

JEDNODUCHÁ ZAPOJENÍ PRO VOLNÝ ČAS

Hledač kabelů ve zdi

Metody hledání

Elektrické kabely lze hledat buď detekcí elektrického a magnetického pole, vytvářeného napětím a proudem tekoucím v kabelu, nebo hledačem kovů.

Hledač kovů najde i kabel bez napětí, ale nedokáže ho odlišit od jiných vodivých předmětů podobného tvaru, jako jsou kovové trubky, železné výtluže v betonu apod. Hledač kovů je vybaven indukční cívku a vyhodnocuje ovlivnění střídavého magnetického pole cívky jakýmkoliv blízkými feromagnetickými nebo elektricky vodivými předměty.

Proto je při hledání kabelů vhodnější detekovat pole, které vytvářejí. Citlivým zesilovačem s kapacitní sondou (kovovou destičkou) na vstupu zjistíme střídavé elektrické pole kabelu pod napětím, pokud není stíněný nebo navlečený v uzemněné kovové trubce.

Zesilovačem s indukční sondou, tj. s cívku s mnoha závity na vstupu zjistíme střídavé magnetické pole, které vytváří kabel, kterým protéká proud. Kabel, který je pod napětím, ale neteče jím proud do zátěže, vytváří jen zcela nepatrné magnetické pole.

Silové kabely pod proudem nejsnáze najdeme detekcí elektrického nebo magnetického pole o frekvenci 50 Hz, ale pokud vede více kabelů nedaleko od sebe (třeba poblíž rozvaděče), nedokážeme je rozlišit.

K vyhledání jen jednoho silového nebo sdělovacího či datového kabelu je vhodné kabel odpojit od sítě a zavést do něj napětí o výrazně odlišné frekvenci. Osvědčilo se mi ke kabelu připojit střídavé napětí 3 V o frekvenci asi 3,5 kHz a hledat ho dále popsaným zesilovačem s kapacitní sondou.

Hledač kabelů

Schéma hledače je na obr. 1. Hledač je tvořen citlivým nf zesilovačem, na jehož výstupu je malý reproduktor

o průměru asi 50 mm. Zesilovač má velký vstupní odpor 1 M Ω a na vstup se připojuje kapacitní sonda - kovová destička o rozměrech 20 x 20 mm. Také lze na vstup připojit cívku s co nejvíce závity co nejtenčího drátu (např. cívku z relé).

Zesilovač dosahuje maximální citlivosti asi 2 mV pro plné vybuzení reproduktoru při kmitočtech 1 až 4 kHz. Citlivost lze regulovat potenciometrem P1. Reproduktor má na kmitočtu 3,5 kHz mechanickou rezonanci a tuto pištivou frekvenci tak ještě zvýrazní. V tichém prostředí lze z reproduktoru slyšet signál vyvolaný napětím setiny až desetiny mV na vstupu. V hlučném prostředí připojíme do konektoru X1 sluchátka s těsnícími mušlemi.

Vazební kondenzátory v zesilovači jsou úmyslně voleny s malými kapacitami, takže zesilovač je na frekvenci sítě 50 Hz mnohem méně citlivý než na středních kmitočtech 1 až 4 kHz. Malý reproduktor také přenáší frekvenci 50 Hz podstatně slaběji než 3,5 kHz, což je žádoucí.

Signál vytvořený budícím napětím 3 V/3,5 kHz v hledaném kabelu je tak slyšet silněji než signál vytvořený napětím 230 V/50 Hz v jiném souběžném kabelu. Snadno tak odlišíte hledaný kabel od ostatních. Pokud víte, že ve zdi je jen jeden kabel (ten, který hledáte), můžete přístrojem zjišťovat i pole od síťového napětí 50 Hz (brum) a nemusíte používat zdroj 3,5 kHz.

Hledač je tak citlivý, že nestíněný kabel najde na vzdálenost 30 až 50 cm, takže je kabel „slyšet“ i přes tenkou zeď.

Je-li vedení v neuzemněné kovové trubce (třeba ve staré plechové instalační trubce vyložené dehtovou lepenkou), vyzářené pole je slabé a dosah je jen asi 3 cm. Vedení v neuzemněné kovové trubce pod omítkou najdeme, ale hluboko ve zdi nebo za zdí ne.

Na vstupu zesilovače je ochranný oddělovací kondenzátor C1 a za ním následuje ochranný rezistor R1 a dvě diody, které chrání přístroj před zničením statickou elektřinou nebo při

dotyku sondy s přívodem 230 V. Následuje emitorový sledovač s tranzistorem J-FET (Q1), který má velmi velký vstupní odpor, dále potenciometr na řízení citlivosti a jednostupňový zesilovač s NPN tranzistorem Q2, který zesiluje asi 100x. Kondenzátor C6 mezi bází a kolektorem tranzistoru Q2 brání divokým oscilacím a zmenšuje zesílení vysokých kmitočtů nad 4 kHz.

Z Q2 jde signál do integrovaného koncového zesilovače IC1 typu LM386 v nejjednodušším zapojení se zesílením 10, a z něj do reproduktoru.

Jako zdroj napětí 3 V/3,5 kHz lze použít třeba multivibrátor s tranzistory nebo hradly či s NE555, nebo RC sinusový oscilátor s tranzistorem či OZ. Jeho frekvenci doporučuji jemně naladit na mechanickou rezonanci vašeho reproduktoru v hledači, protože ta se u různých reproduktorů liší.

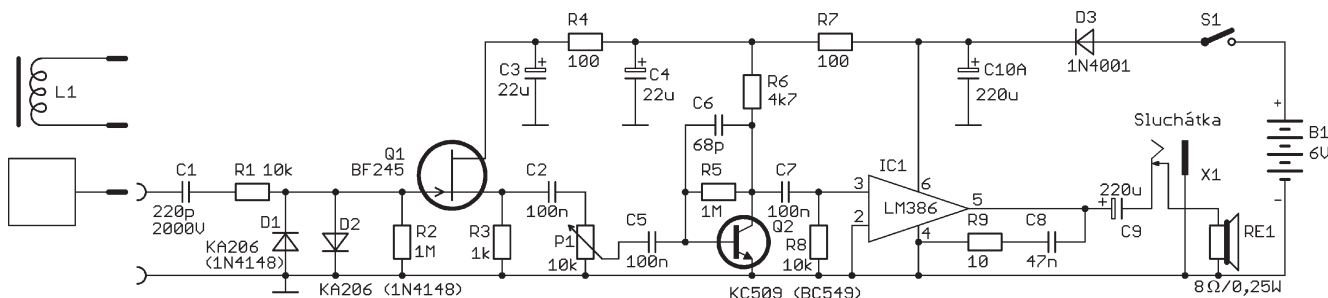
Hledání poruch

Hledáme-li místo přerušení jedné žíly kabelu, zavedeme do přerušené žíly napětí 3 V/3,5 kHz a ostatní žíly uzemníme. Hledáme přístrojem s kapacitní sondou (destičkou) na vstupu.

Hledáme-li zkrat, přes omezovací rezistor zavedeme proud o frekvenci 3,5 kHz nebo 50 Hz z jednoho konce kabelu do obou zkratovaných žil a hledáme indukční sondou (cívku). Za vadným místem se signál silně zeslabí nebo zmizí.

Při hledání poruch se mi neosvědčila občas používaná metoda, že se do kabelu zavede v proud z měřicího vysílače a vadné místo se hledá tranzistorovým radiopřijímačem. V proud se totiž snadno přenesou kapacitní a indukční vazbou z vadné žíly do ostatních žil a jde i dále za vadné místo. V místě poruchy se tak signál zeslabí jen nepatrně. Změnu síly signálu ještě zeslabí AVC, které je v každém továrně vyráběném přijímači. Hledání pomocí v proud je nesprávné také proto, že může rušit ostatní posluchače rozhlasu a představuje porušení telekomunikačních předpisů.

Petr Jeníček



Obr. 1. Hledač kabelů

Srdce s běžícím světlem

Je to světelná hříčka, kterou můžeme věnovat někomu blízkému nebo si jí vyzdobíme interiér. Pro ověření funkce bylo srdce zkonstruováno, fotografie obou stran desek se součástkami je na obr. 2.

Zapojení je velmi jednoduché, takže si na jeho stavbu může troufnout i začátečník.

Popis funkce

Schéma srdce s běžícím světlem je na obr. 3. Základem zapojení je CMOS obvod IO1 typu 4047, který obsahuje multivibrátor (monostabilní nebo astabilní, mód činnosti se volí zapojením vývodů IO) a binární děličku dvěma.

Multivibrátor v IO1 je zapojen jako astabilní, aby generoval základní taktovací signál pro pohyb běžícího světla. Kmitočet f_z tohoto taktovacího signálu je určen hodnotami součástek C1 a R1 a platí vztah $f_z = 1 / (2,2 \cdot C1 \cdot R1)$ [Hz; F, Ω]. S hodnotami C1, R1 podle schématu je f_z asi 2 Hz (perioda 0,5 s). Základní taktovací signál přímý a negovaný (se střídou přibližně 1 : 1) se odebírá z výstupů 2 a 13 IO1.

Z výstupů Q a Qnon binární děličky, tj. z vývodů 10 a 11 IO1, se odebírá pomocný taktovací signál s polovičním kmitočtem asi 1 Hz (s periodou 1 s) a se střídou přesně 1 : 1.

Oba taktovací signály v přímé i negované formě se vedou do dekodéru 1 ze 4, tvořeného čtveřicí hradel IO2.

Pokud použijeme hradla IO2 typu 4001, tj. NOR, je vždy pouze na jednom z jejich výstupů vysoká úroveň H, zatímco na všech třech ostatních jejich výstupech jsou nízké úrovně L. Taktovacími signály se úroveň H posouvá z výstupu 3 IO2A na výstup 4 IO2B, pak na 10 IO2C a na 11 IO2D a zpět na 3 IO2A, a tak stále dokola.

K výstupům hradel IO2 je připojeno 16 červených LED D1 až D16 uspořádaných v pořadí D1, D2, D3 atd. do obrazce ve tvaru srdce. Když je na výstupu 3 IO2A úroveň H, svítí LED D1, D5, D9 a D13, mezi nimiž jsou vždy tři zhasnuté LED. Taktová-

ním se tyto čtyři svítící body pohybují ve směru otáčení hodinových ručiček po obrazci srdce.

Když použijeme hradla IO2 typu 4011, tj. NAND, je vždy pouze na jednom z jejich výstupů úroveň L, zatímco na všech třech ostatních jejich výstupech jsou úrovně H. Na obrazci srdce je tedy čtveřice zhasnutých LED, mezi nimiž jsou vždy tři svítící LED. Taktováním se tyto čtyři mezery mezi svítícími LED pohybují ve směru otáčení hodinových ručiček po obrazci srdce. Oba typy hradel (4001 i 4011) mají shodně zapojené vývody, takže změny efektu lze dosáhnout pouhou záměnou IO v objímce. Redaktorovi se jevil zajímavější efekt běžících mezer.

Proud LED D1 až D16 je určen výstupním odporem hradel a je relativně malý (okolo 1,5 mA na každou LED). Proto by měly být použity LED s velkou účinností, aby jejich jas byl dostatečný.

Srdce je napájeno ze síťového adaptéru hrubě stabilizovaným napětím 6 V. Při tomto napětí je napájecí proud v módu běžícího světla (vždy 4 LED rozsvícené současně) asi 6 mA a v módu běžící mezer (vždy 12 LED rozsvícených současně) asi 15 mA. Pro dosažení většího jasu LED může-

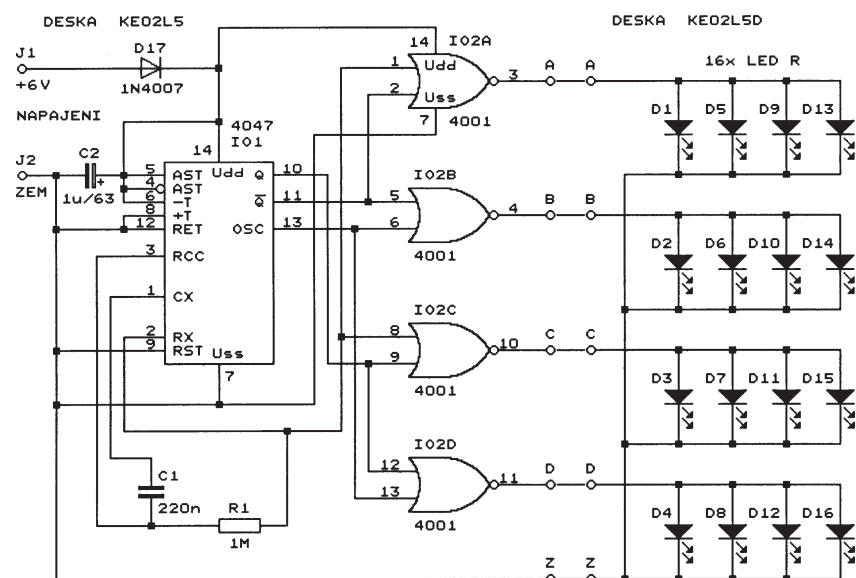
me napájecí napětí zvětšit až na 9 V. Dioda D17 chrání elektroniku srdce před zničením při přepólování napájecího napětí.

Konstrukce a oživení

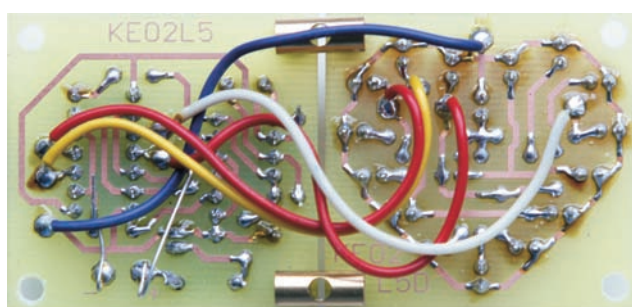
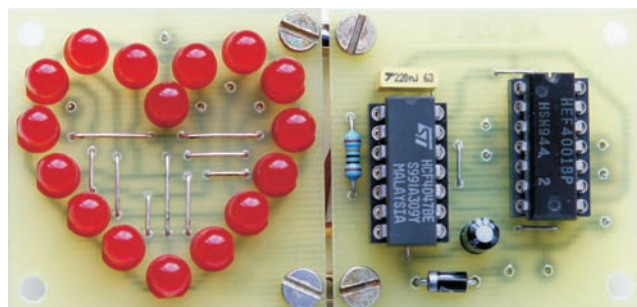
Srdce je zkonstruováno z běžných vývodových součástek na dvou deskách s jednostrannými plošnými spoji. Na jedné desce jsou samotné LED D1 až D16, na druhé je umístěna řídicí elektronika. Obrazce spojů jsou na obr. 4, rozmístění součástek na deskách je na obr. 5.

Použité LED jsou červené difuzní o průměru 5 mm s větší účinností. LED připájíme „na doraz“ k desce, přičemž dbáme na jejich správnou polaritu. Na deskách osadíme drátové propojky, které zhotovíme z odstřížených vývodů miniaturních rezistorů. Obvody IO1 i IO2 umístíme do precizních objímek kvůli jejich případnému jinému dalšímu využití. IO2 by měl být v objímce také proto, abychom si mohli vyzkoušet oba módy provozu - mód běžících světél s IO2 typu 4001 a mód běžících mezer s IO2 typu 4011.

Desky osazené součástkami jsou propojeny pěti vodiči a pomocí distančních sloupků o délce např. 10 mm jsou mechanicky spojeny za

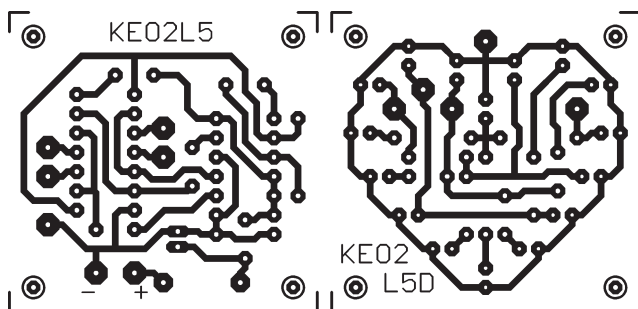


Obr. 3. Srdce s běžícím světlem

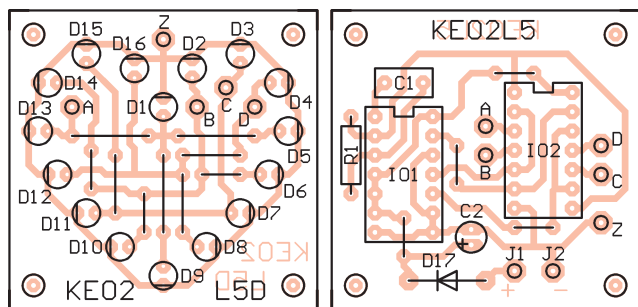


Obr. 2. Srdce s běžícím světlem. Obě desky byly kvůli fotografování spojeny vedle sebe. V praxi jsou však pomocí distančních sloupků smontovány za sebou

Obr. 4.
Obrazec plošných spojů na obou deskách srdce s běžícím světlem (měř.: 1 : 1, rozměry každé desky 40,6 x 39,4 mm)



Obr. 5.
Rozmístění součástek na obou deskách srdce s běžícím světlem



sebou (plošnými spoji směrem k sobě). Účelem tohoto uspořádání je dosáhnout malých rozměrů průčelí, aby hříčku bylo možné vestavět do malé krabičky (dřevěné nebo papírové apod.), na jejíž celé přední stěně je obrazec srdce z LED. Do přední stěny krabičky zhotovíme díry, ze kterých budou LED vyčnívat, a přední stěnu natřeme světlou barvou, aby s ní obrazec srdce z červených LED dobře kontrastoval.

Po zhotovení fungovalo srdce na první zapojení. Hodnoty některých veličin naměřené na realizovaném vzorku jsou uvedeny v předchozím textu.

Seznam součástek

R1	1 M Ω , miniaturní
C1	220 nF/63 V, fóliový
C2	1 μ F/63 V, radiální, miniaturní
D1 až D16	LED červená difuzní, 5 mm, s větší účinností
D17	1N4007
IO1	CMOS 4047 (DIL)
IO2	CMOS 4001 nebo 4011 (DIL)
	objímka precizní DIL 14
	2 kusy
	distanční sloupek DI5M3X10
	4 kusy
	desky s plošnými spoji č. KE02L5D a č. KE02L5

Elektronika Praktyczna, 10/1994

N-gen - širokopásmový šumový generátor

Na obr. 6 je schéma šumového generátoru, který dodává jako stavběnice firma Elecraft z USA. Generátor slouží jako zdroj budičích signálů při přesném testování a nastavování vstupních a mf obvodů přijímačů KV, VKV a UKV. Výhodou šumového generátoru je konstrukční jednodu-

chost, protože šumový výkon generovaného signálu je natolik malý, že přístroj nevyžaduje stínění. Šum též zcela spojitě pokrývá kmitočtové spektrum, takže odpadá i ladění generátoru na přijímaný kmitočet. U generátorů s vakuovou šumovou diodou bylo též snadné ovládat šumový výkon - pouhou změnou velikosti ss žhavičícího proudu diody.

Popisovaný N-gen poskytuje v kmitočtovém pásmu 100 kHz až 500 MHz (± 3 dB) do zátěže 50 Ω šumový výkon typicky o 35 dB větší, než je výkon šumu produkovaného samotným odporem 50 Ω . Přístroj je napájen buď vnitřní destičkovou baterií o napětí 9 V, nebo vnějším ss napětím 12 až 15 V. Napájecí proud je přibližně 25 mA.

Širokopásmový šum je generován Zenerovou diodou D2 typu 1N5235B, což je běžná křemíková planární Zenerova dioda 6,8 V/0,5 W ve skleněném pouzdru DO-35. Tuto diodu je zřejmě možné nahradit u nás dostupnějším typem BZX83V006.8. V původním prameni je zmínka o tom, že generovaný šumový výkon diody je rozdílný kus od kusu, a tak zřejmě bude nutné experimentovat s výběrem vhodného exempláře. Optimální proud diodou D2 určuje rezistor R5. Článek C4, R4 zřejmě vyrovnává

spektrum generovaného šumu v oblasti vysokých kmitočtů.

Šum generovaný diodou D2 je širokopásmově zesilován zesilovačem tvořeným monolitickým mikrovlákným integrovaným obvodem (MMIC) typu MAR-1 (IO1). Tento zesilovač má vnitřní zdroj předpětí vstupu, takže na vstup stačí připojit pouze oddělovací kondenzátor C2. Šumový signál z výstupu zesilovače, který má vnitřní odpor okolo 50 Ω , je přes další vazební kondenzátor C1 vyveden na výstupní konektor BNC (K1). Napájecí proud IO1 doporučený jeho výrobcem je nastaven odporem rezistoru R1.

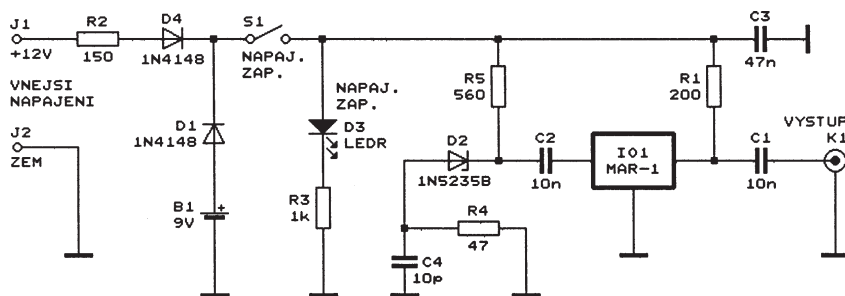
IO MAR-1 vyrábí firma Mini-Circuits. Na kmitočtu 100 MHz má napěťový zisk typicky 18,5 dB, šířka pásma je 0 až 1000 MHz (-3 dB). Vstupní i výstupní impedance v celém kmitočtovém pásmu je přibližně 50 Ω . Šumové číslo je typicky 5,5 dB, $IP3$ je typicky +14 dBm. Při napájecím napětí 5 V na výstupním vývodu je napájecí proud 17 mA. Jedná se o běžný MMIC, který lze nahradit např. obvodem MSA-0686 od firmy Agilent Technologies (dříve Hewlett-Packard) s podobnými parametry.

N-gen je napájen napětím 9 V z vestavěné destičkové baterie. Napájení se zapíná posuvným spínačem S1, zapnutí přístroje indikuje červená LED D3. Dioda D1 zabraňuje poškození obvodů při přepólování baterie a též zamezuje průtoku proudu do baterie při vnějším napájení.

N-gen lze napájet i ss napětím 12 až 15 V z vnějšího zdroje, který se připojuje na svorky J1 a J2. Přebytečné napětí je „sráženo“ předřadným rezistorem R2. Dioda D4 chrání přístroj při přepólování vnějšího zdroje. Při vnějším napájení je dioda D1 vypnutá a z vnitřní baterie se neodebírá žádný proud.

Firma Elecraft zkonstruovala N-gen na malou destičku s oboustrannými plošnými spoji a s prokovenými dírami, na které jsou kromě všech součástek (většinou vývodových) umístěny i napájecí a výstupní konektor, spínač napájení a destičková baterie. Na spodní straně desky jsou nalepeny pryžové nožičky. Deska není vestavěna do žádné skříňky.

Měření se šumovým generátorem je popisováno v klasické radioama-



Obr. 6. N-gen - širokopásmový šumový generátor

térské literatuře. Aby se N-gen vyrovnal běžným šumovým generátorům, je nutné ho doplnit širokopásmovým atenuátorem s krokem 0,1 až 1 dB a celkovým útlumem okolo 40 dB, který se bude ovládat jeho výstupní šumový výkon.

Výstupní šumový výkon generátoru N-gen lze změřit pomocí nějakého kalibrovaného továrního šumového generátoru, ale i když jej nebudeme znát, bude N-gen užitečný pro relativní měření při optimalizaci šumového čísla přijímačů a vř zesilovačů.

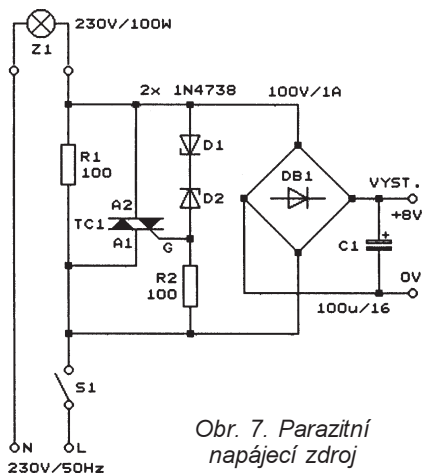
Při proměřování přijímačů v transceiverech si musíme dát pozor na to, abychom omylem nezaklíčovali vysílač. Jeho výstupním výkonem se spolehlivě zničí MMIC IO1.

Firemní literatura firmy Elecraft, 2006

Parazitní napájecí zdroj

Na obr. 7 je zapojení zdroje, který v případě, když bylo čidlem PIR (spínačem S1) rozsvíceno světlo (žárovka Z1), napájí ss napětím asi 8 V vysílač bezdrátového zvonkového tlačítka. Zdroj může najít uplatnění i v jiných případech, kdy je nutné při zapnutí určitého síťového spotřebiče (s odporovým charakterem) napájet malým plovoucím ss napětím nějaké pomocné zařízení.

Zdroj je zapojen do série se žárovkou (nebo jiným síťovým spotřebičem), která funguje jako předřadný odpor. Po průchodu síťového napětí



Obr. 7. Parazitní napájecí zdroj

nulou se přes usměrňovací diodový můstek DB1 nabíjí v obou půlvlnách síťového napětí vyhlazovací kondenzátor C1. Když okamžitá velikost síťového napětí překročí asi +9 nebo -9 V, otevrou se Zenerovy diody D1 a D2 a rezistorem R2 začne protékat proud. Když okamžitá velikost síťového napětí dosáhne asi +10 nebo -10 V, vytvoří se na R2 natolik velký úbytek napětí, že triak TC1 sepne a zkratuje vstup můstku DB1. Nabíjení vyhlazovacího kondenzátoru C1 se tak ukončí a žárovka je od toho okamžiku napájena plným síťovým napětím (zmenšeným o úbytek napětí na sepnutém triaku, který je zanedbatelný). Jas žárovky tedy není sériově zařazeným zdrojem nijak zmenšován. Při průchodu síťového napětí nulou se triak vypne a celý děj se opakuje (s opačnou polaritou).

Zatěžovací proud zdroje nebyl v původním prameni specifikován, zřejmě je podstatně menší než proud síťového spotřebiče, na němž zdroj „parazituje“.

Zenerovy diody D1 a D2 jsou typu 1N4738 s parametry 8,2 V/1 W a lze je nahradit dostupnějšími BZX85V008.2 (8,2 V/1,3 W). Jak vyplývá z popisu funkce, výstupní napětí zdroje je přibližně rovno Zenerovu napětí diod D1 nebo D2. Pokud potřebujeme jiné výstupní napětí než 8 V, použijeme D1 a D2 s odpovídajícím Zenerovým napětím.

Typ triaku není v původním prameni specifikován, pouze je uvedeno, že má mít maximální pracovní proud 6 A. Z dostupných typů by zřejmě vyhověl např. TIC216M (6 A/600 V).

Pozor! Zdroj je galvanicky spojen se sítí, a proto při jeho stavbě, oživování i používání je nutné dbát zvýšené opatrnosti a dodržovat příslušné bezpečnostní předpisy!

Pozn. red.: Otázkou je spolehlivost zdroje, protože při přerušení vlákna žárovky někdy vznikne elektrický oblouk, který představuje zkrat, a než vypne jistič, elektronika zapojená do série s žárovkou se může zničit. Proto by možná bylo vhodné zapojit v místě zdroje do série se žárovkou rychlou tavnou pojistku, která rozpojí obvod rychleji než jistič.

Jednoduchý tester tyristorů a triaků

Zatímco funkčnost diod a tranzistorů lze snadno prověřit běžným multimetrem, je ověření funkce tyristorů a triaků daleko obtížnější. Proto byl navržen tester těchto součástek, jehož schéma je na obr. 8.

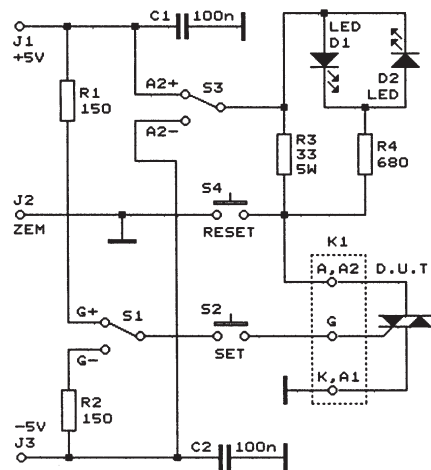
Testovaný tyristor nebo triak označený na schématu jako D.U.T. (Device Under Test = testovaná součástka) se připojuje ke svorkovnici K1. Při testování tyristoru musí být přepínač S3 v poloze A2+ a S1 v poloze G+. Stisknutím tlačítka S2 (SET) se přivedením kladného napájecího napětí přes omezovací rezistor R1 na řídicí elektrodu G tyristor sepne a vede proud asi 1 A rezistorem R3. Průtok proudu indikuje LED D1. Stisknutím tlačítka S4 (RESET) se tyristor zkratuje, vypne se a LED zhasne. Je-li tyristor poškozený, svítí LED trvale nebo vůbec ne. Budicí proud do elektrody G je asi 28 mA, takže dokáže sepnout i výkonové součástky.

Triaky se testují stejným způsobem, pouze přepínači S1 a S3 volíme jednotlivé kvadranty jejich činnosti. Kladný proud triakem indikuje LED D1 (červená), záporný LED D2 (zelená).

Přiměřeným zvětšením odporů rezistorů R1 až R3 lze tester přizpůsobit i pro součástky s malým výkonem.

Tester je napájen ze symetrického zdroje napětí ±5 V/1,5 A.

Elektor, 7-8/1998



Obr. 8. Tester tyristorů a triaků

**PRAKTICKÁ
ELEKTRONIKA**
A Radio

PŘIPRAVUJEME
do příštích čísel

PRO KONSTRUKČNÍ
RADIO KONSTRUKČNÍ
ELEKTRONIKA
A Radio

Univerzální dálkové ovládání s Bluetooth
• IRC čítač • Autodráhový multifunkční ovladač • TransiAmp - malý 120 W zesilovač pro hudebníky (dokončení) • Blikač s LED napájený ze sítě

Tématem čísla 5/2007, které vychází začátkem října 2007, jsou akustická a elektroakustická měření z pohledu teorie od RNDr B. Sýkory. Číslo doplňují Zajímavá a praktická zapojení s řadou užitečných obvodů

Proudová smyčka

Jan Zima

Tato konstrukce vznikla na základě potřeby galvanicky oddělit a podstatně prodloužit komunikační rozhraní logických signálů s úrovněmi TTL a RS-232. Přitom jsem se snažil použít běžně dostupné součástky. Využití proudové smyčky pro prodloužení komunikačních linek samozřejmě není nic nového, jen v amatérské praxi to není tak běžné. Důvodů je asi několik, a jedním z nich pravděpodobně také bude cena komerčně vyráběných převodníků z logického signálu na proud a naopak.

Cena součástek konstrukce je přibližně 10 % ceny prodávaných převodníků (při cenách GES by neměla přesáhnout 130 Kč/jeden převodník), tím je stavba dostupná většině amatérů - pro realizaci proudové smyčky musíme mít samozřejmě převodníky dva. Také možné přenášené úrovně logických signálů jsou u prodávaných převodníků většinou pevně nastaveny na rozhraní RS-232. Mezní izolační pevnost je dána použitým optočlenem, u prodávaných převodníků je většinou do 2,5 kV (6N136), ale je možné použít i bezpečnější do 5 kV (SFH6136). Pokud použijeme proudovou smyčku pro přenos dat mezi mikrokontrolérem či PC a zařízením galvanicky spojeným se síťovým napětím (tj. nn do 500 V), je izolační pevnost 5 kV minimum. Jinak (v případě proražení optočlenu) si koledujeme o zničení koncového zařízení nebo v horším případě o úraz elektrickým proudem. Pokud potřeba galvanického oddělení nepřesahuje běžné amatérské nároky (např. přenos dat z elektronického teploměru nebo meteorologických čidel ze zahrady do interiéru), vystačíme s izolační pevností do 2,5 kV.

Základní technické údaje

Napájecí napětí: 5 V.
Proudový odběr: max. 40 mA.
Galvanické oddělení: optočlenem.

Přenosová rychlost: 115 kb (vyšší rychlost je závislá na kvalitě obvodu typu 232; může se snižovat vlivem parazitních kapacit a indukčnosti v závislosti na délce i kvalitě vedení).

Vstupy/výstupy: TTL, RS-232.

Přenášené signály: 2 nezávisle na sobě (Tx, Rx).

Délka vedení: závislá na průřezu vodičů a kvalitě vedení, viz text (zkušební vzorky převodníku byly testovány na stíněném 10 m kabelu - bylo dosaženo přenosové rychlosti 200 kb).

Popis zapojení

Schéma zapojení je na obr. 1 a skládá se ze dvou částí - vysílače a přijímače.

Vstupní i výstupní signály jsou přivedeny konektorem Can25F (zásuvka), vysílač (Tx) a přijímač (Rx) proudové smyčky je připojen dvěma zásuvkami cinch. Toto řešení je kompromisem mezi vhodnými dostupnými konektory a použitou krabičkou. Napájecí napětí je rovněž propojeno na vývod 15 Can25F, aby bylo možné napájet koncové zařízení ze zdroje proudové smyčky nebo naopak bez nutnosti mít na stole hromádku zdrojů, která při práci na případném vyvíjeném zapojení radosti jistě nepřidá.

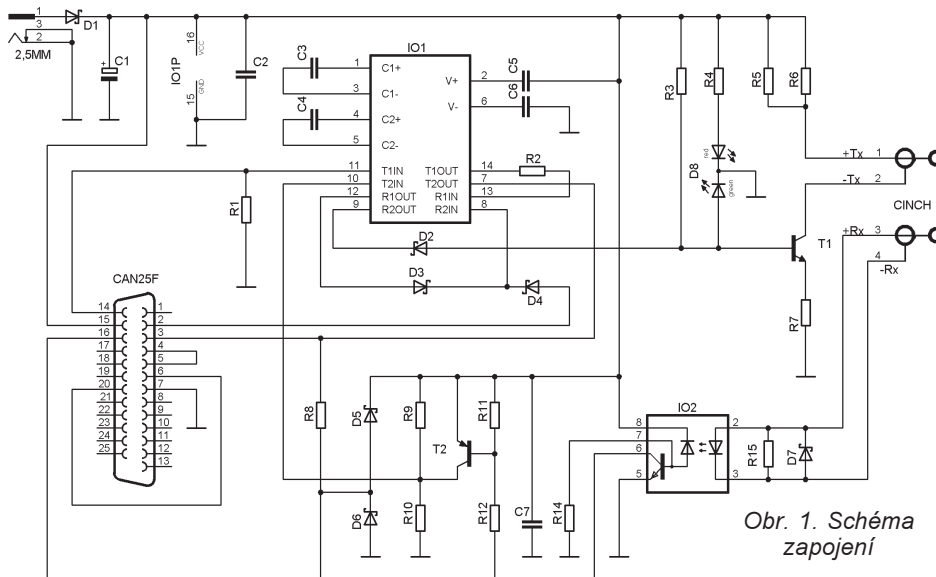
Vysílač je realizován tranzistorem T1, který je zapojen jako proudový zdroj, jenž získává referenční napětí z anody zelené LED D8. Při uzavřené



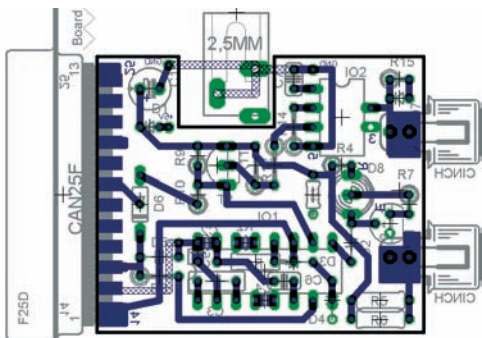
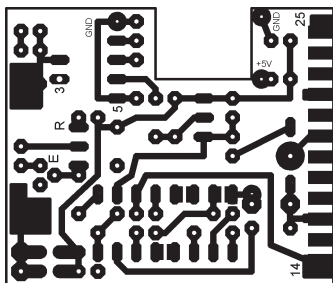
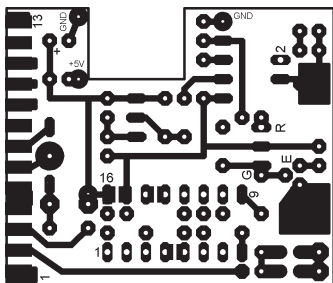
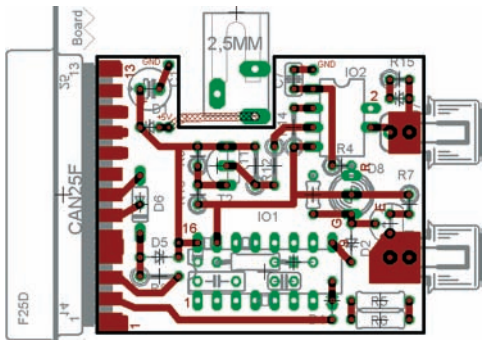
proudové smyčce v klidu teče kolektorem T1 proud, který je dán odporem R7 (~20 mA při TTL log. 0 nebo RS-232 log. 1). Proto pro velikost proudu ve smyčce není podstatné, zda máme krátký či dlouhý propojovací kabel. Délka vedení Tx (Rx) je však omezena odporem vodičů v kabelu, tedy jejich průřezem a délkou. Pro kontrolu maximální použitelné délky vedení této konstrukce platí jednoduchý vztah $L = 1500 \cdot S$. L je výsledná délka vedení dvojitky v metrech pro Tx (Rx) mezi převodníky a S je průřez v mm^2 jednoho vodiče vedení (např. pro stíněnou dvojitku s průřezem $0,122 \text{ mm}^2$ vychází délka kabelu 180 m).

Jako převodník úrovně TTL i RS-232 je využit často používaný obvod typu 232 (ST, MAX apod.). Vstupní signál s úrovně TTL je přiveden na vývod 14 Can25F, má v klidu hodnotu log. 0 (rezistor R1), je oddělen od úrovně RS-232 invertory T1, R1 IO1 a součtovou diodou D3. Vstupní signál s úrovně RS-232 je přiveden na vývod 2 Can25F, má v klidu hodnotu log. 1 (-3 až -12 V) a je oddělen součtovou diodou D4. Oba signály jsou tedy přivedeny na vstup R2IN invertoru R2 IO1, jehož výstup ovládá otevření či uzavření T1. Proud kolektorem T1 ve skutečnosti nikdy úplně nezanikne (log. 0 na výstupu invertoru R2OUT IO1), ale pro rozlišení log. 1 nebo log. 0 přijímací strany protějšího převodníku to není podstatné. Rezistory R5, R6 chrání napájecí zdroj proti zkratu při náhodném dotyku pláště konektoru cinch se zemí zdroje (např. využijeme-li napájecí napětí +5 V PC z konektoru pro klávesnici) a jsou kompromisem mezi úbytkem napětí a mezním ztrátovým výkonem.

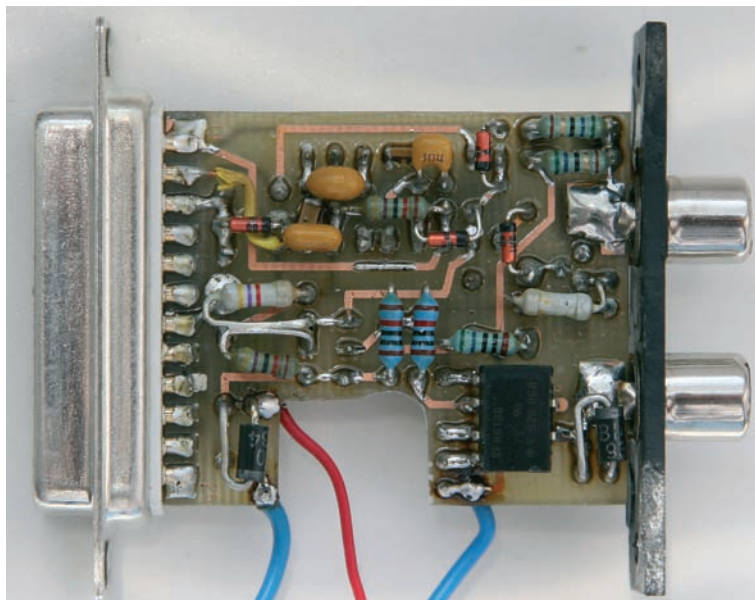
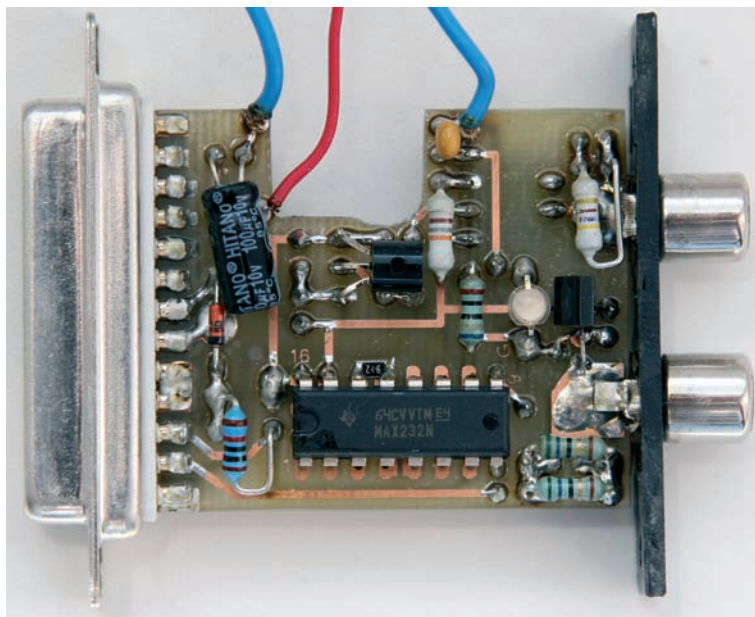
Přijímač zabezpečuje galvanické oddělení vysílací části protější strany prostřednictvím optočlenu IO2 (s integrovaným tranzistorem s vyvedením všech jeho vývodů). Vstup přijímače je chráněn D7 proti přepólování a R15 pro rychlejší zánik proudu te-



Obr. 1. Schéma zapojení



Obr. 2.
Deska
s plošnými
spoji



koučící smyčkou i diodou LED optočlenu. Příjímací dioda (vývody 7, 8 IO2) je zapojena v závěrném směru a při rozsvícení vstupní LED IO2 (vývody 2, 3) se zvětší její závěrný proud, který otevírá bázi tranzistoru v optočlenu. Tento tranzistor prostřednictvím R12 otvírá T2, který ovládá vstup T2IN invertoru T2 IO1. Výstupní logická úroveň je tedy nakonec dostupná na T2OUT invertoru T2 IO1. Logická úroveň je přivedena přímo na vývod 3 Can25F (RS-232) a po úpravě výstupního napětí s R8, D5, D6 také na vývod 16 Can25F. Rezistory R11, R14 omezují zbytkové proudy bází tranzistoru T2 a v IO2. Rezistory R9, R10 upravují napěťové úrovně na vstupu T2IN invertoru T2 IO1.

D1 chrání převodník proti přepólování napájecího napětí, C1 i C2 je filtrují, C3, C4 využívá IO1 pro nábojovou pumpu a C5, C6 filtrují vytvořené napětí +10 V, -10 V. Červená LED D8 indikuje připojené napájecí napětí se správnou polaritou, rozpojenou prou-

dovou smyčkou a log. 1 TTL/log. 0 RS-232 (při uzavření proudové smyčky). Zelená LED D8 indikuje uzavření proudové smyčky při log. 0 TTL/log. 1 RS-232 (není rozlišen zkrat na vedení). Kromě D8 jsou všechny diody Schottky z důvodu rychlého otevírání, uzavírání a malých napěťových úbytků v propustném směru.

Popis konstrukce

Deska s plošnými spoji (obr. 2) je z důvodů cenových a dostupnosti oboustranná bez prokovených otvorů, protože celý převodník byl vytvořen s důrazem na realizaci v podmínkách obvyčejného amatéra. Průchody mezi dolní a horní stranou spojů jsou realizovány buď průchozím bodem (1 ks), nebo častěji využitím drátových vývodů součástek. Součástky SMD jsou využívány minimálně (filtrační keramické kondenzátory - lze je nahradit běžnými s drátovými vývody) nebo vůbec a byla dána přednost klasic-

kým součástkám z důvodu snazší manipulace s nimi i dostupnosti. Protože řada z nich je z prostorových důvodů použita na stojato, je nutné při jejich osazování počítat s ohnutím do strany, aby se celá konstrukce nakonec vešla do krytky redukce původně určené pro Can25/25. Všechny lepené spoje lepíme „vteřinovým“ lepidlem (nezáleží na výrobci), protože mírně naleptává v této konstrukci použité plasty, a proto vše pevně drží.

Jako dvojitý konektor cinch je využit modul RCP020, jehož šířku zúžíme na 12 mm (zbytky plastu zatím nevyhodíme). Kryt Can25/25 upravíme tak, aby bylo možné destičku s konektory cinch vsadit do horního i dolního dílu krytky, a do obou polovin vlepíme kousky zbytků plastu z upravovaného modulu RCP020 tak, aby se o ně destička mohla opřít, až budeme mezi sebou převodníky propojovat kabelem. V desce s plošnými spoji (dále jen DPS) rozměru 43 x 37 mm vyřízneme a začistíme označené obdélní-

kové místo pro napájecí konektor, vložíme ji mezi pájecí žlábků konektoru Can25F (pozor na správnou orientaci dolní i horní strany desky; viz čísla na DPS), na druhé straně mezi konektory desky cinch a vše zatím „na sucho“ sesadíme dohromady v jedné polovině krytu redukce Can25/25. Několik pájecích žlábků konektoru Can25F letmo připájíme do DPS, označíme budoucí místo pro výřez v krytce pro napájecí konektor, a vyjmeme vše z krytky. Vyřízneme část bočního plastu označeného dílu krytky, znovu vše nasucho sesadíme a pokud je vše v pořádku, vlepíme napájecí konektor. Vrtákem 1 mm kolmo provrtáme DPS v místě středního vývodu LED D8 i krytku a tak si označíme její budoucí otvor. Vše vyjmeme, zvětšíme otvor pro D8 na 5 mm a přiložíme druhou část krytky tak, abychom si mohli označit budoucí výřez pro přečnívající část napájecího konektoru. Vyřízneme prostor pro zbývající část konektoru do označené části krytky a připájíme všechny plošky DPS ke konektoru Can25F. Pak kouskem drátu propojíme průchodku s vývody 6 i 20 Can25F a rovněž drátem propojíme vývod 16 IO1 s vývodem 15 Can25F. Osadíme součástky s pájecími body pod IO1 (z druhé strany, než bude pouzdro) a u IO2 ulomíme vývody 1 a 4 (výrobcem nejsou využity a na DPS pro ně není místo). Oba IO přitiskneme co nejbližší k DPS, aby na konec bylo možné kryty zacvaknout do sebe (pozor na stranu, ze které přijdou osadit; viz čísla vývodů obou IO na DPS). Pokud jsou na daném vývodu spoje z obou stran, je třeba je také z obou stran připájet. Postupně osazujeme ostatní součástky a dopředu přemýšlíme, na kterou stranu přijdou a na kterou stranu je bude třeba vyhnout před vložením do krytek. Před připájením destičky RCP020 oživíme celý modul.

Oživení

Do DPS přivedeme stabilizované napájecí napětí +5 V (odběr samotného převodníku by měl být zhruba 15 mA) a zkontrolujeme napětí ve vybraných bodech DPS. Pokud někde není správné napětí, pak je s největší pravděpodobností chyba v nepropájeném bodě z obou stran na drátovém vývodu některé ze součástek. Na vývodu 15 Can25F je napájecí napětí. Rezistory R5 a R6 jsou sestaveny vždy ze dvou paralelních (připájených z jedné i druhé strany DPS) a výsledkem je tedy paralelní kombinace čtveřice stejných rezistorů. Toto řešení je použito z důvodů prostorových a mezního ztrátového výkonu 0,6 W na jeden metalizovaný rezistor.

Konektory cinch destičky RCP020 zatím připojíme kousky kablíku, aby byla zachována dobrá dostupnost k součástkám DPS při ožívání.

Kontrola vysílací části:

Pokud je vše, jak má být, svítí červená LED D8, na středním vývodu konektoru cinch Tx je napětí +4,7 V, na vývodu 11 IO1 je 0 V, na vývodu 14 IO1 je ~+8 V, na vývodu 13 IO1 je ~+4 V, na vývodu 12 a 8 IO1 je 0 V, na vývodu 9 IO1 je ~+4,5 V. Připojíme ampérmetr mezi střed (+Tx) i plášť (-Tx) konektoru cinch Tx, zkontrolujeme proud (má být okolo 20 mA) a rozsvítí se zelená LED D8. Na vstup 14 Can25F přivedeme log. 1 TTL a zelená LED D8 zhasne. Odpojíme vstup 14 (opět se rozsvítí zelená LED), na vstup 2 Can25F přivedeme kladné napětí z napájecího zdroje a zelená LED zhasne (všimneme si také velikosti zbytkového proudu). Kladné napětí ze vstupu 2 Can25F opět odpojíme.

Kontrola přijímací části

Na vývodu 7 IO1 a 3 Can25F je ~+8 V, na vývodu 16 Can25F je ~+5 V, na vývodu 10 IO1 je 0 V, na bázi T2 je napájecí napětí, na vývodu 8 IO2 je napájecí napětí, na vývodu 7 IO2 je 0 V, na vývodu 6 IO2 je napájecí napětí a na vývodech 2, 3 IO2 zkontrolujeme testerem diod LED IO2 i D7 (katoda D7 musí být na vývodu 2 IO2 a anoda D7 na vývodu 3 IO2).

Pokud je vše v pořádku, propojíme cinch Tx s Rx (je třeba dodržet správnou polaritu mezi +Tx ↔ +Rx a -Tx ↔ -Rx). Rozsvítí se zelená LED (odběr z napájecího zdroje by neměl přesáhnout 40 mA), na vývodu 7 IO2 je ~+0,7 V, na kolektoru T2 je napájecí napětí zmenšené o úbytek e-c T2, na vývodu 7 IO1 i 3 Can25F je ~-8 V, na vývodu 16 Can25F je -0,3 V. Na vývod 2 Can25F přivedeme +5 V (zelená LED zhasne a odběr z napájecího zdroje by měl poklesnout na méně než 20 mA) a pak na vývodu 7 IO2 i kolektoru T2 je ~+0,3 V, na vývodu 7 IO1 je ~+9 V a na vývodu 16 Can25F je ~+5 V. Pokud některé hodnoty neodpovídají uvedeným přibližným, je třeba vhodně upravit odpory rezistorů R14 nebo R11 tak, aby byla bezpečně rozlišena log. 0 a 1 na vstupu převodníku (vývody 2 a 14 Can25F).

Tím je oživení modulu hotové, odpájíme kablíky od RCP020, sesadíme s DPS tak, aby byl červený na ploškách určených pro Tx, vložíme do jedné z polovin krytky a připájíme vývody konektorů cinch na jedné straně. Vše vyjmeme, vložíme do druhé poloviny krytky a připájíme vývody cinch na druhé straně. Zkrátíme přívody od napájecího konektoru do

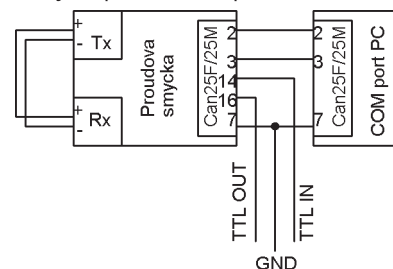
DPS, kterou vložíme do krytky s napájecím konektorem, a obě krytky můžeme zacvaknout do sebe.

Stejným způsobem vyrobíme i druhý převodník a můžeme si obě poloviny krytky polepit připravenými štítky (obr. 3).

Obě proudové smyčky mezi sebou propojíme tak, aby Tx jednoho konce směřoval na Rx druhého (při zachování shodné polaroty). Pokud si pro tyto účely vyrobíme kabel s červenými a černými konektory cinch, je praktické jej již při výrobě překřížit, aby bylo možné propojovat konektory přímo podle barvy. Při použití běžně prodávaného propojovacího audiokabelu cinch bude nutné na křížení párů pamatovat.

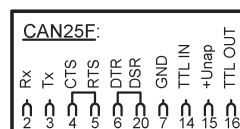
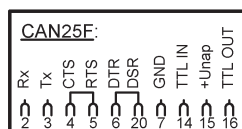
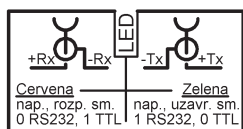
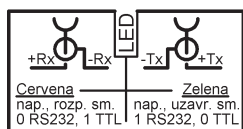
Příklady použití

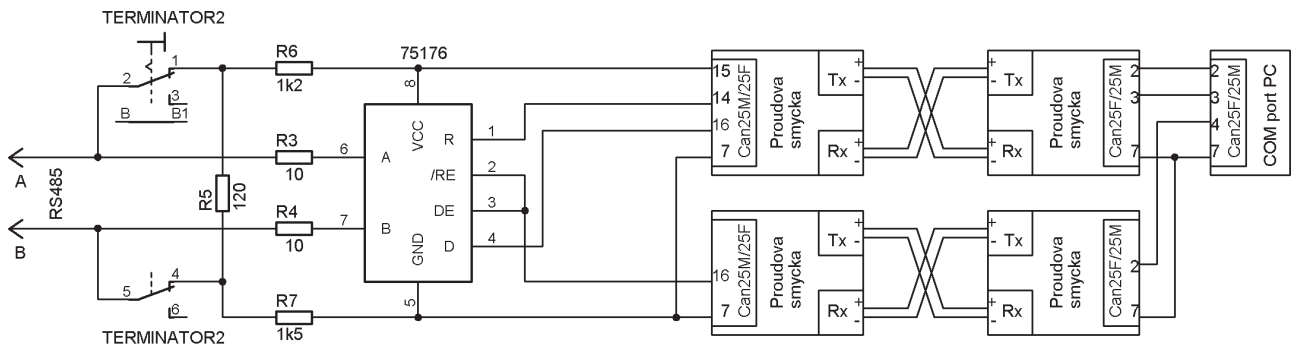
Příkladů použití se najde celá řada, proto je jich zde uvedeno jen několik. Propojení dvou PC mezi sebou sériovým COM portem, externí převodník TTL/RS-232 a naopak (jednoduchá logika či MCU (např. Atmel, PIC apod.) (obr. 4), galvanické oddělení sběrnice RS-485 (RS-422) (obr. 5), propojení mobilního telefonu a PC či aplikace s MCU invertováním log. vstupů/výstupů za konektorem Can25F (obr. 6), prodloužení optického výstupu S/P DIF (využití výhody odstranění brumu např. mezi audiověží a zvukovou kartou PC - obr. 7) nebo dálkového IR ovladače, sběr dat z měřicích přístrojů (např. čítače LCD podle PE 3/1999, LCmetr - generátor podle PE 3/2006 apod.), jakékoliv multimetru s optickým či RS-232 výstupem (pozor na jejich způsob napájení RS-232), sběr dat z elektronických teploměrů nebo meteorologických čidel či stanic. Pokud data potřebujeme ze vzdálené aplikace jenom vysílat, pak stačí v daném zapojení přidat pouze obvod vysílače popsaného převodníku (R5, R6, R3, LED, D2, T1 a R7). Potom vystačíme jen s jedním modulem na přijímací straně a celé zařízení můžeme napájet po třívodičovém vedení (napájení, výstupní signál, zem) jen na nezbytně nutnou dobu. Velkou výhodou je, že na straně vysílače může být napájení třeba 12 V nebo jiné potřebné napětí.



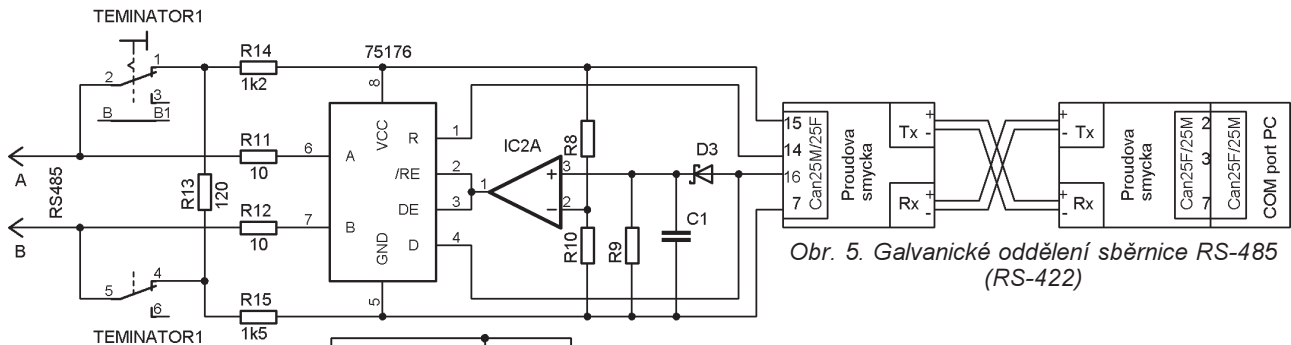
Obr. 4. Externí převodník TTL/RS-232 a naopak

Obr. 3. Štítky na oba díly krytky (31 x 16 mm)

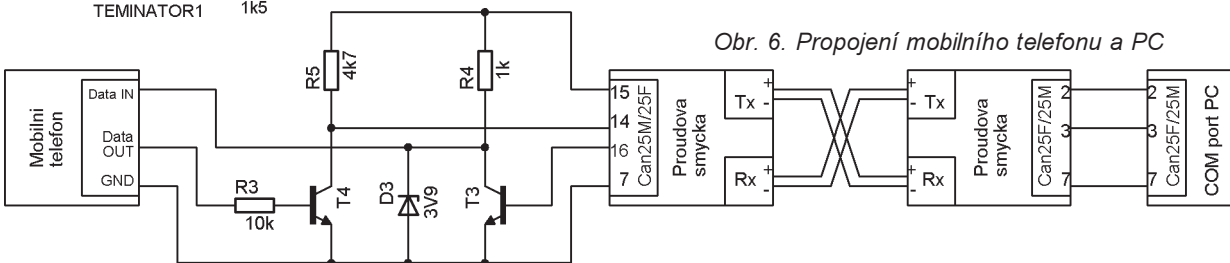




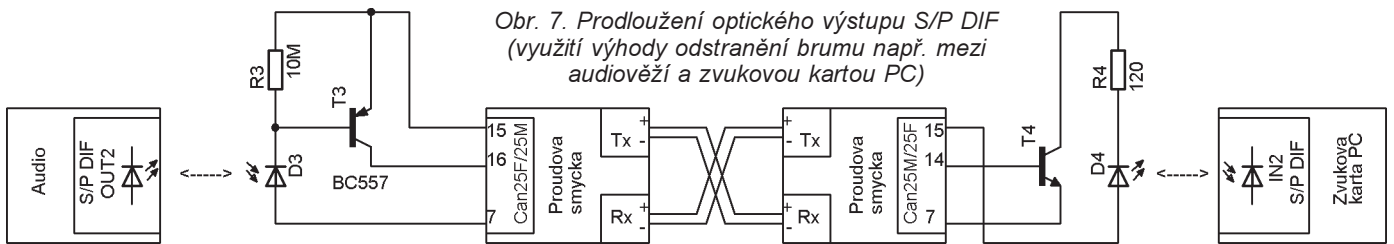
Obr. 5. Galvanické oddělení sběrnice RS-485 (RS-422)



Obr. 6. Propojení mobilního telefonu a PC



Obr. 7. Prodloužení optického výstupu S/P DIF (využití výhody odstranění brumu např. mezi audiověží a zvukovou kartou PC)



Pokud převodník použijeme pro sběr dat ze zařízení galvanicky spojeného se sítí (tj. nn do 500 V), je třeba mít neustále na paměti, že **při nesprávné manipulaci můžeme utrpět smrtelný úraz elektrickým proudem** a tento druh použití proudové smyčky je určen pouze pro zkušební, kteří si dobře uvědomují, co dělají a jaké následky může mít případná chyba!!! Proto je vysoce žádoucí navléknout na pláště konektorů cinch propojovacího kabelu izolační bužírku vhodně tloušťky (např. ze silnoproudého kabelu) tak,

aby nebylo možné náhodným dotykem přijít do styku se síťovým napětím. V každém případě toto využití je pouze na vlastní nebezpečí uživatele.

Pro bezpečné použití je doporučen postup:

Vypneme napájení potřebné části síťového rozvodu, zkontrolujeme „vadskou“, zda je bez napětí (někdy může zůstat „lepit“ jistič nebo se na přívodech může objevit zavlečené napětí), vše propojíme bez přítomnosti síťového napětí. Teprve potom zapneme síťové napájení a můžeme měřit. Po skončení měření vše zase vypneme, zkontrolujeme nepřítomnost síťového napětí a teprve potom můžeme vše zase rozpojit.

Další náměty jistě spatří světlo světa díky fantazii ostatních čtenářů.

- R7 47 Ω
- R10 4,7 kΩ
- R14 15 kΩ
- R15 470 Ω
- C1 100 μF/10 V
- C2 220 nF, keram.
- C3 až C7 100 nF, keram.
- IO1 ST232 (MAX232 apod.)
- IO2 6N136 (SFH6136)
- T1 BC546
- T2 BC55x
- D1 SB140
- D2 až D7 BAT42
- D8 dvoubarevná LED se spol. katodou Can25F D-SUB F25, přímý s pájecími žlábkami (GES)



Obr. 6a. Propojení mobilního telefonu a PC

Seznam součástek

- R1, R9 47 kΩ
- R2, R8, R11, R12 10 kΩ
- R3 680 Ω
- R4 560 Ω
- R5, R6 56 Ω (4 ks), viz text

Literatura

- www.vishay.com - katalogové listy; Document Number r. 83702, 83707, 83741.
- www.st.com - katalogové listy.

TransiAmp

Malý 120 W zesilovač pro hudebníky

Vojtěch Voráček

Tento malý zesilovač s doporučeným výkonem 120 W vyniká jednoduchou stavbou, dobrými parametry a kompaktním provedením. Zesilovač je určen hlavně pro zesilování signálů z elektronických hudebních nástrojů, ale nevylučuje se i další použití, jako je ozvučení různých akcí atd. Celý je postaven na jedné desce s plošnými spoji, odpadá tedy problémy s propojováním jednotlivých bloků, s možnými vazbami, brumem, oscilacemi a zjednoduší se mechanická konstrukce.

Technické parametry

Jmenovitý sinusový výkon:

120 W/8 Ω, při zkreslení menším než 0,1 %, případně podle potřeby - viz text.

Kmitočtový rozsah:

min. 25 Hz až 20 kHz v tolerančním poli 1 dB, skutečný kmit. rozsah až do 50 kHz při plném výkonu.

Citlivost 1. vstupu:

100 mV/100 kΩ asymetricky, s limitérem, citlivost nastavitelná trimrem v rozsahu 10 až 500 mV.

Citlivost 2. vstupu:

0,775 V/20 kΩ symetricky, citlivost nastavitelná trimrem v rozsahu 100 mV až 5 V.

Popis zapojení

Předzesilovač

Schéma předzesilovače je na obr. 1. Zesilovač má dva hlavní vstupy. První vstup je nástrojový, asymetrický, se vstupní citlivostí nastavitelnou v rozmezí asi 10 až 500 mV a vstupní impedancí 100 kΩ. Část zesilovače před regulací hlasitosti však zpracuje bez zkreslení signály až do úrovně

+6 dB (= 1,55 V i více) při nastaveném minimálním zesílení, proto lze zesilovač přizpůsobit jakémukoliv zdroji signálu. První vstup je vybaven třípásmovými korekcemi a limitérem. Signál ze vstupního konektoru JACK (čtvrtpalcový) je přiváděn nejprve na vstupní filtr zamezující průniku vř signálů realizovaný integračním RC článkem. Součástí vstupního obvodu je i ochrana proti přepětí se Zenerovými diodami, která chrání vstupy IC1. Je použita na základě zkušeností z praxe, kde výměna vstupního integrovaného obvodu zničeného přepětím při připojování nástrojů je častým servisním úkonem v polovodičových nástrojových zesilovačích. Často jsou totiž třeba klávesové nástroje vybavovány spínanými zdroji, ve kterých proud odrušovacími kondenzátory při propojení konektorů stačí na zničení vstupního integrovaného obvodu.

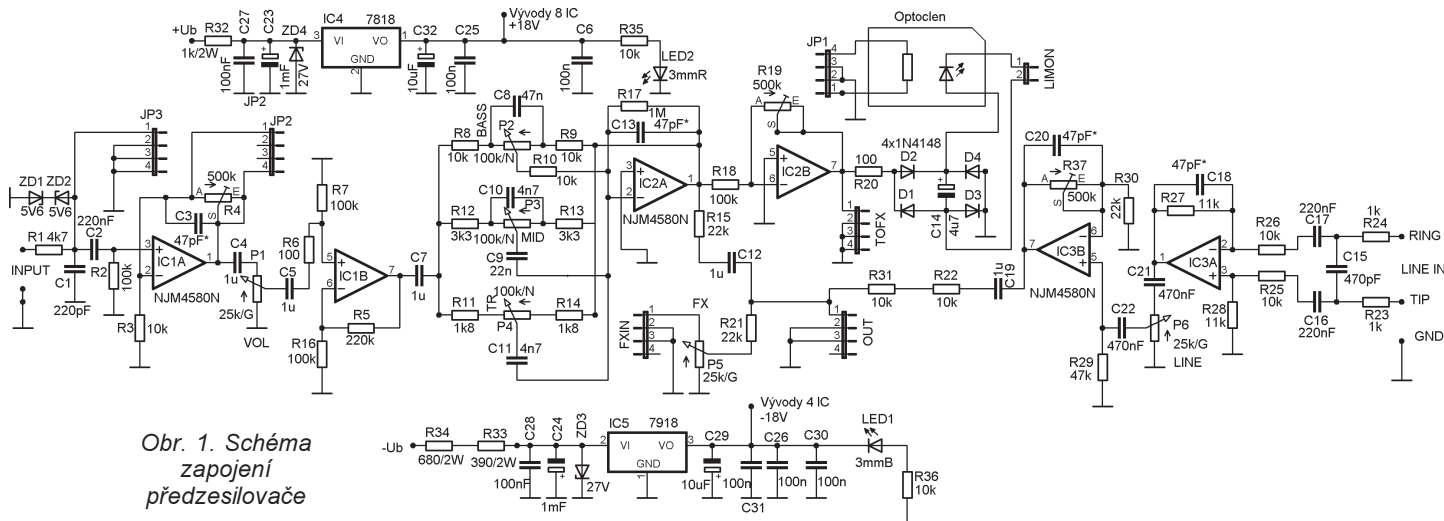
Vstupní zesilovač IC1A má napěťové zesílení nastavitelné trimrem až do 50, navíc lze získat tohoto stupně řídit limitérem dvěma způsoby. Hlavní částí obvodu limitéru je lineární optočlen 3WK163 41. Skládá se z diody LED a z fotorezistoru. Fotorezistor se může zapojit pomocí propojek (kablíků s konektorem) buďto do vstup-



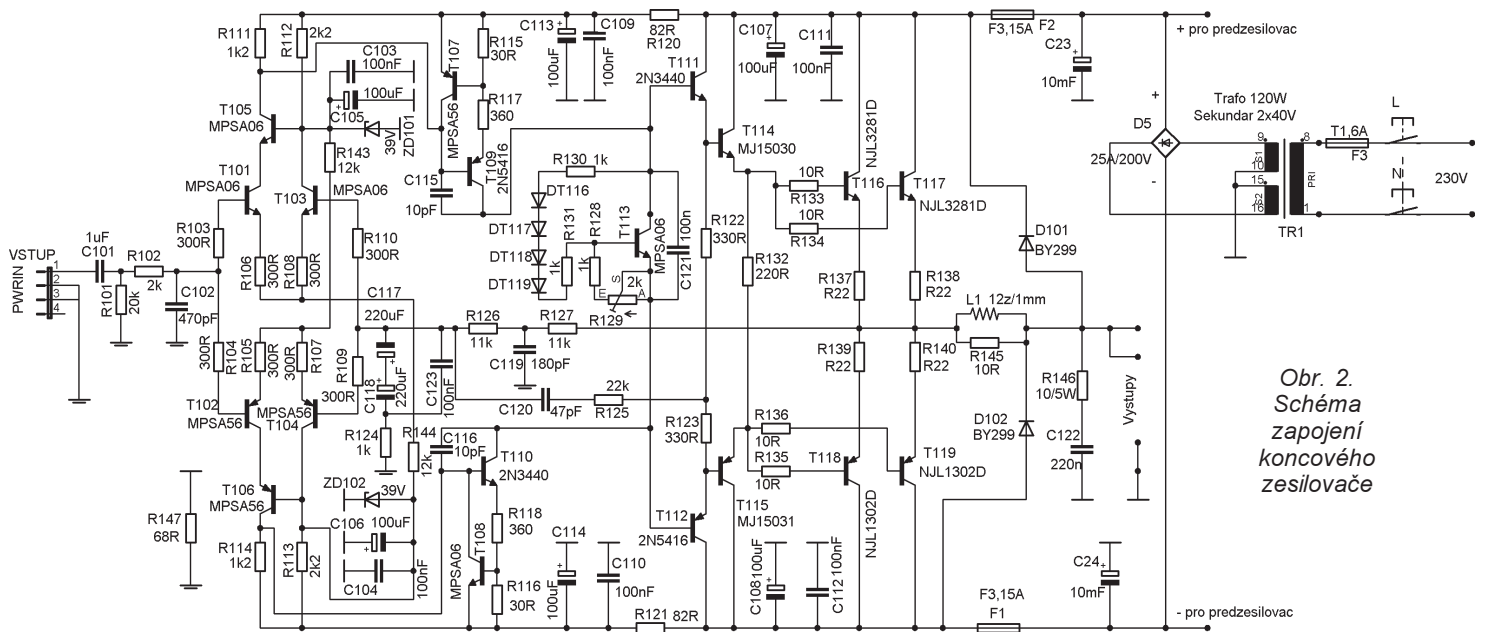
ního děliče před IC1A (propojit JP3 s JP1), nebo do jeho záporné zpětné vazby (propojit JP2 s JP1). V druhém případě je stupeň omezení závislý na nastaveném zesílení, fotorezistor je připojen paralelně k trimru určujícímu zesílení. Při menším nastaveném základním zesílení je i menší stupeň omezení.

Oba způsoby se liší strmostí limityce obálky nř signálu. Je na vkusu hudebníka, které zapojení použije, zapojení do zpětné vazby při nastaveném větším zesílení trimrem má velmi ostré nasazení průběhu regulace zesílení při vybuzení, zapojení do vstupního děliče má charakteristiku po zlomu mírnější. Samozřejmě lze limitér jednoduše zcela vypnout propojkou, což je vhodné např. při oživo-

vání. Ze vstupního zesilovače se signál vede do regulátoru hlasitosti prvního vstupu a dále do stupně s IC1B, který mírně zesiluje signál. Případnou změnou hodnot děliče ve zpětné vazbě lze zesílení tohoto stupně ještě nastavit a tím dále přizpůsobit zesilovač potřebám uživatele.



Obr. 1. Schéma zapojení předzesilovače



Obr. 2.
Schéma
zapojení
koncového
zesilovače

Tato polovina IC1B budí další stupeň, tím jsou aktivní třípásmové korekce s IC2A.

Z výstupu korektoru se signál větví do dvou cest. První cestou jde signál na směšovací rezistory a pak již do výstupu pro koncový zesilovač. Druhá část signálu se zesiluje v IC2B a budí můstkový usměrňovač s diodami D1 až D4 a s filtrací. Napětím z výstupu usměrňovače (který záměrně není zapojen ve zpětné vazbě operačního zesilovače) se napájí dioda LED, která je součástí optočlenu. Při překročení prahového napětí usměrňovače a diody LED se osvítil fotozresistor optočlenu a jeho zmenšení odporu má za následek snížení zisku vstupního zesilovače jedním ze dvou popsaných způsobů. Tím se nepřebudí při špičkách signálu obvody předzesilovače, korekcí a následně i koncového stupně. Dynamický rozsah limitéru při zapojení fotozresistoru do zpětné vazby může být více než 30 dB pro změnu výstupního napětí o 1 dB. Zesilovač je tak vhodný i pro zpracování živých signálů, které neprošly úpravou dynamiky, třeba právě signálů hudebních nástrojů. Bod nasazení omezení obálky signálu se řídí změnou zisku operačního zesilovače napájecího usměrňovače, a to trimrem R19 v záporné zpětné vazbě IC2B. Časové konstanty náběhu a doběhu limitéru jsou nastaveny kapacitou kondenzátoru C14 a volbou vhodného typu optočlenu s optimální dobou vzestupu hodnoty odporu fotozresistoru. Jelikož je usměrňovač napájen ze zdroje signálu s malým vnitřním odporem, je náběh dostatečně rychlý. Limitér lze vypnout rozpojením propojky LIMON, například i vypínačem vyvedeným na panel zesilovače.

Zesilovač IC2B zesiluje nejen napětí pro usměrňovač, ale i pro další výstup (TOFX), který může sloužit jako samostatný výstup prvního vstupu, např. pro externí efektové zaříze-

ní nebo pro další účely. Proto je na jeho výstupu oddělovací rezistor R20, aby se operační zesilovač při nabíjení C14 nepřetížil a nezkrusoval. Napětí na výstupu TOFX je závislé na nastavení zisku IC2B, s rezervou odpovídá linkové úrovni a dá se přizpůsobit externím děličem. Bylo by tedy zbytečné pro linkový výstup používat další operační zesilovač.

Druhý, linkový vstup s IC3 je určen pro připojení např. směšovacího pultu nebo externího zvukového modulu či efektového zařízení. Je tentokrát symetrický, opět s konektorem JACK (čtvrtpalcový) umístěným na desce spojů, využívá se i jeho střední kroužek, tak jak je to obvyklé v hudební praxi. Kdo požaduje vstup osazený konektorem XLR, nechť neosazuje sousední konektor a propojí odpovídající body na desce s konektorem XLR umístěným třeba v zadním panelu. Tento vstup má jmenovitou citlivost 0 dB (0,775 V), nastavitelnou však trimrem již asi od 100 mV pro plné vybuzení. Tím lze i tento vstup přizpůsobit také jakékoliv potřebě. Není vybaven korekcemi ani limitérem, předpokládá se úprava signálu v připojené jednotce či pódiovém mixážním pultu. Vstupní jednoduchý symetrizační stupeň je osazen první polovinou IC3, druhá polovina IC3 za regulátorem hlasitosti zesiluje signál pro směšovací matici z rezistorů. Zisk tohoto linkového zesilovače je nastavitelný trimrem R37 umístěným na boku desky.

Předzesilovač má ještě další vstup označený FXIN s malou citlivostí, +10 dB. Tento vstup s regulací potenciometrem P5 je určený k připojení dalšího modulu předzesilovače, kterým lze popisovaný zesilovač doplnit podle přání majitele. Může to být například samostatný mikrofonní zesilovač, který se uchytí za potenciometry do předního panelu. Případně lze použít ještě jednu shodnou desku s plošnými spoji, osadit z ní jen část

s předzesilovačem, připojit její výstup OUT do bodu FXIN a mít tak dva samostatné vstupy s nezávislými limitéry a korekcemi. Případně lze do tohoto vstupu připojit aktivní DI-BOX nebo symetrizační linkový transformátor se vzestupným poměrem. Nebo se nemusí potenciometr P5 vůbec osazovat a vstup nevyužít.

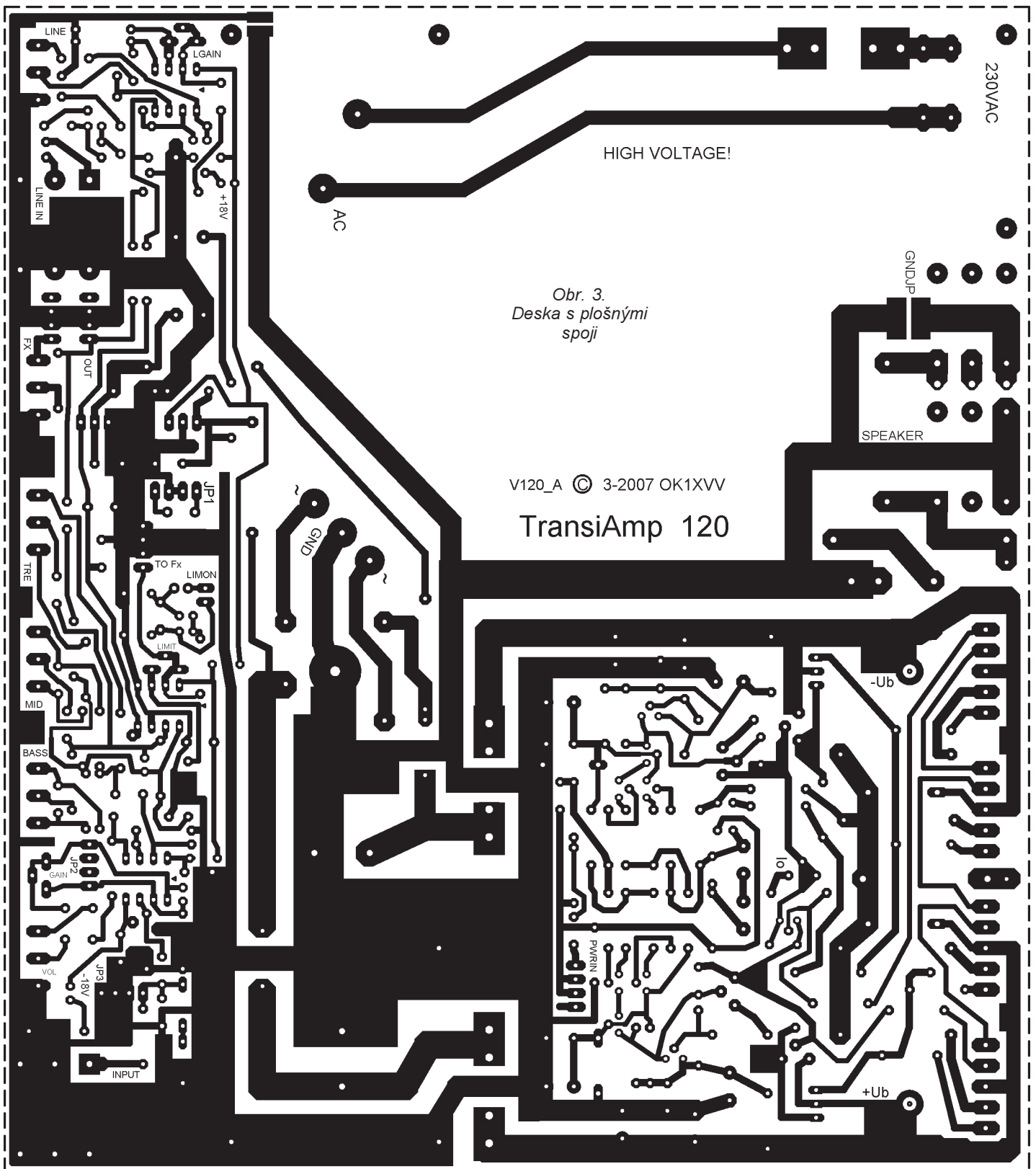
Na výstupu předzesilovače se směšují tři signály - první z předzesilovače s limitérem, druhý signál z linkového vstupu a případný třetí signál z dalšího pasivního vstupu FXIN.

Z výstupu se již signál o napětí asi 1,55 V vede z konektoru OUT na vstup koncového zesilovače do konektoru PWRIN. Citlivost koncového zesilovače je právě 1,55 V pro plné vybuzení na výstupní napětí asi 31 V na zátěži 8 Ω čili pro výkon 120 W.

Koncový zesilovač

Lenost mě sváděla k využití dvojice některých integrovaných výkonových zesilovačů zapojených do můstku, případně alespoň integrovaných budičů. Po mnoha „odešlých“ kusech jsem ale tato zapojení musel zavrhnout. Hodí se tak do hifi věže pracující v domácích „sterilních“ podmínkách při padesátině katalogového maximálního výkonu, rozhodně nepatří do muzikantského zesilovače. Taky je žádný výrobce nepoužívá, snad jen v levných kombech s „papírovými“ výkony kolem 20 W.

Proto je popisovaný zesilovač raději vybaven robustním koncovým stupněm (viz obr. 2) v upraveném osvědčeném zapojení typu „LEACH“, popsaném v PE a KE a osazeném moderními tranzistory ThermalTrak®. Zvolil jsem toto zapojení, protože při své jednoduchosti nabízí špičkové parametry - malé zkruslení, velkou rychlost přeběhu, výbornou stabilitu a více než dostatečný výkon, který



Obr. 3.
Deska s plošnými
spoji

V120_A © 3-2007 OK1XVV

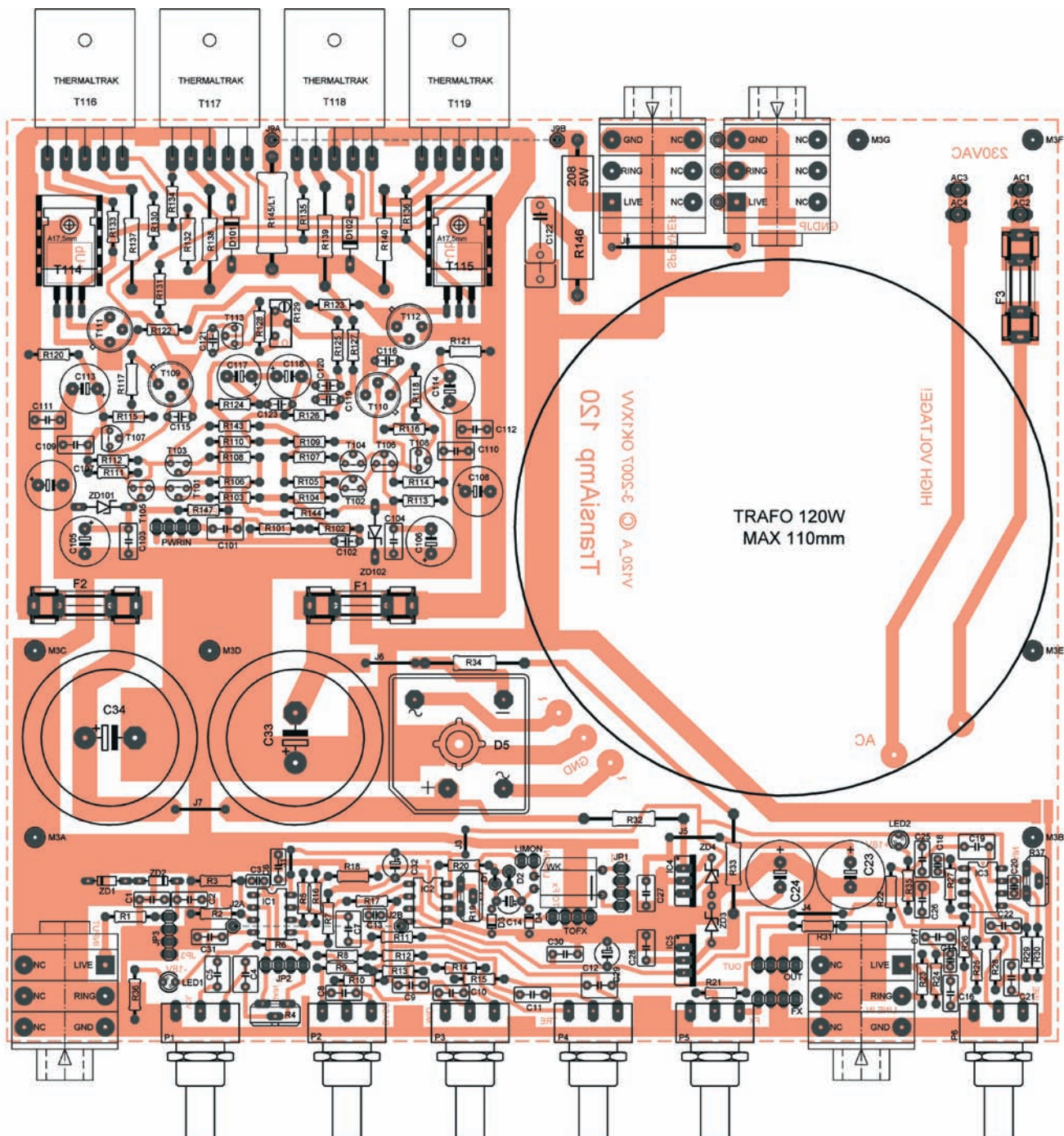
TransiAmp 120

zde sice asi ani nevyužijeme, ale zajistí vysokou spolehlivost i v náročných podmínkách při nasazení v živé hudbě. Zesilovače tohoto typu v mém okolí pracují bez jediné závady a bez jediného „odešlého“ tranzistoru v mnoha desítkách a asi již stovkách kusů. Na základě popisu v PE a v KE je dokonce několik tuzemských výrobců dodává jako stavebnici či kompletní modul.

Koncové tranzistory ThermalTrak® typu NJL3281D a NJL1302D s vestavěnými snímacími diodami jsou již

dnes dostupné, cenově srovnatelné s běžnými typy řady MJL bez diod, a tak není důvod používat cokoliv jiného. Při použití těchto typů se zjednoduší mechanická konstrukce a zajistí špičkové parametry a stabilita koncového stupně. Výkon koncového zesilovače je závislý samozřejmě na napájecím napětí, je rozumné použít napájecí napětí asi ± 50 až 55 V (tomu odpovídá napětí transformátoru 2×36 až 40 V). Při tomto napětí lze dosáhnout se započítáním úbytků napětí sinusového výkonu kolem 120 W

do zátěže 8Ω nebo asi 180 W do 4Ω , záleží na provedení síťového transformátoru. Výstupní výkon je dobré omezit nastavením limitéru na hodnotu, při které se dlouhodobě nepřesahuje povolené zatížení transformátoru. Prostor na desce je určen pro toroidní transformátor s výkonem 120 W a průměrem okolo 100 mm. Lze použít samozřejmě i jiný transformátor, ale musí se tomu podřídit mechanická koncepce zesilovače. Koncový stupeň osazený čtveřicí tranzistorů ThermalTrak® je schopen



dát spolehlivě výkon přes 300 W, ale tento malý a lehký zesilovač je svojí koncepcí určen pro výkony menší. Při zkouškách jsem dosáhl 400 W/4 Ω při napájení ± 65 V z externího transformátoru a při nuceném chlazení, ale vzhledem k bezpečnosti provozu je napájení dobré volit tak, aby výkon nemohl překročit rozumnou hodnotu.

Součástí desky jsou samozřejmě i napájecí obvody pro koncový zesilovač i předzesilovač. Za transformátorem je obvyklý můstkový usměrňovač symetrického napájecího napětí s filtrace kondenzátory s dostatečnou kapacitou 10 mF. Profesionální výrobci často tyto filtrační kondenzátory šidí na kapacitě i kvalitě, je to přeci jen drahá součástka. Vy to ale nedělejte, basy jsou s dobrými kondenzátory „pevnější“ a signál je bez zkreslení vznikajícího intermodulačního signálu se zbytkovým brumem v napájení. Z tohoto napětí pro koncový stupeň se získává nejprve sražením napětí

asi 27 až 33 V omezené Zenerovými diodami pro integrované stabilizátory IC4 a IC5 a toto napětí se dodatečně integrovanými stabilizátory stabilizuje na 2x 18 V pro napájení předzesilovačů. Jednodušeji to asi již zkonstruovat nešlo a síťový transformátor tak může být jednoduchý, jen s jedním dvojitým sekundárním vinutím.

Maximální povolené napětí ± 18 V pro napájení integrovaných obvodů IC1 až IC3 jsem zvolil pro dosažení co nejvyšší přebuditelnosti a použité integrované obvody NJM4580N ho spolehlivě vydrží („odejdou“ při napájení asi 25 V - výsledek mých pokusů). Lze samozřejmě osadit i stabilizátory 15 V.

Stavba a použité součástky

Stavba tohoto zesilovače je mimořádně jednoduchá, vše je umístěno na jedné jednostranné desce s plošnými spoji (obr. 3). Před osazováním

zkontrolujte desku, změřte i zběžně součástky, obzvláště v přímo vázaném koncovém stupni se vadná součástka pak těžko hledá, vše souvisí se vším. Osadte všechny součástky mimo kondenzátorů 47 pF v předzesilovači (nebudou asi vůbec potřeba) a pojistek pro napájení koncového zesilovače. Nezapomeňte na drátové propojky, u jednovrstvé desky jsem se jim nevyhnul. Také sériová kombinace R22 a R31 nahrazuje jednu propojku. Při návrhu desek tohoto typu je potřeba uvažovat logicky a nesvěřit návrh „stroji“. Některé spoje jsou tlustší, nejen proto, že jimi teče větší proud, ale třeba z toho důvodu, aby se nevytrhly trimry při nastavování nebo konektory z desky a nebo také proto, aby se lépe chladily tranzistory v pouzdrech TO-5. Pod nimi jsou proto zdánlivě zbytečné plošky. Bipolární radiální kondenzátory stále nejsou u nás běžně na trhu, raději jsem na desce nakreslil místo na dva antisériové

zapojené běžné kondenzátory ve zpětné vazbě koncového stupně. Trimry pro nastavení zisku jsou na kraji desky, lze je v případě potřeby snadno ovládat i zvenku zesilovače otvorem, ale nebude to nutné, přebuditelnost je dostatečná i při potenciometrech hlasitostí nastavených v dolní části dráhy a opravdu hodně pomáhá limitér. Můžete použít i kvalitnější trimry typu 64Y, jaký je předepsán pro nastavení klidového proudu koncového stupně, a ovládat pak trimry šroubovákem shora.

Výstupní tlumivka před výstupem pro reproduktor je navinutá drátem asi 1 mm na průměru 10 mm a uvnitř ní je rezistor asi 10 Ω pro zatížení asi 2 až 4 W. Není zase až tak nutná, záleží na typu výhybky reproduktorové soustavy. I bez ní a i bez výstupního článku RC je zesilovač obvykle stabilní, ale osadte raději i tyto součástky. Budící tranzistory MJE15030/31 jsou na desce pro jistotu umístěny na malém chladiči, i když to není nutné. To spíš hřejí tranzistory T109 až T112, ale plocha mědi je dostatečně uchládí vedením tepla přes vývody.

Připomínám - jako emitorové v koncovém stupni se nehodí metaloxidové rezistory, použijte drátové. Taktéž ve výstupním článku R146, C122 použijte drátový rezistor.

Druhý výstupní JACK v zadní části zesilovače lze využít jak pro druhý reproduktor, tak i případně pro vstup a výstup FX. Proto je pro něj připravena drátová propojka pro paralelní spojení s vedlejším konektorem a pájecí ploška pro propojení s výkonovou zemí nebo 3 pájecí body pro vodiče vedoucí k vstupu a výstupu FX.

V koncovém zesilovači jsou součástky označeny indexem od 100 výše. Rezistory z řady E24 jsou předepsány z toho důvodu, že na jejich hodnotě, přesněji na jejich symetrii záleží ss vyvážení zesilovače, čili zbytkové ss napětí na výstupu. Použijte proto rezistory s tolerancí 1 %, jsou běžné k dostání např. v PS. Pak se vám zesilovač odmění minimálním posuvem výstupu, zpravidla jen několik málo mV, u mých vzorků to bylo v rozmezí 3 až 6 mV. Tranzistory zběžně změřte na proudový zesilovací činitel a na úbytek napětí b-e a emitemem v propustném směru a vyberte do dvojic pokud možno ty s blízkými parametry. Přesné párování u komplementárních dvojic stejně není možné, charakteristiky tranzistorů s vodičností npn a pnp se liší. U budičů MJE, které jsou přímo určeny pro tyto účely, je zaručena shodnost charakteristik v určité mezí, viz jejich katalogy.

Pro někoho možná nezvyklé typy „amerických“ tranzistorů MPSA06 (nnp) a MPSA56 (pnp) používám z toho důvodu, že mají vyhovující závěrné napětí 80 V, jsou velmi levné a v obchodech vždy dostupné. S řadou BC obou polarit pro vyšší napětí tomu není vždy tak. Pozor, typy MPSA mají jiné zapojení vývodů než řady BC, pokud by někdo uvažoval o náhradě.



Obr. 4. Vhodné typy konektorů JACK

Tranzistory ThermalTrak® řady NJL jsou vynikající, již asi nikdy nebudou používat jiné typy výkonových tranzistorů.

Oba kablíky k propojení konektorů na desce lze získat jako občas nepoužívané příslušenství CD a DVD mechanik, mají potřebný čtyřvývodový konektor, jsou stíněné a hlavně hotové, proto jsem na ně konektory navrhl. Jako vstupní konektory JACK, nazývané také někdy TRS (TIP-RING-SHIELD), použijte kvalitní typy s opravdu pružnými a robustními kontakty (obr. 4). To platí i pro výstupní konektor pro reproduktor, u nástrojových zesilovačů je zvykem používat tyto konektory, nikoliv tedy konektory SPEAKON jako u PA zesilovačů. Kvalitní konektory TRS se dají u nás sehnat, dováží je asi však jen jedna firma. Jedná se o stejný typ, který je používán světově známými výrobci nf zařízení. Konektory nemusí být umístěné na desce spojů. Pokud vám jejich poloha nevyhoví v zamýšleném mechanickém řešení, propojte je kousky drátu s odpovídajícími body na desce. Stejně tak potenciometry. Rozteče potenciometrů a konektorů na předním panelu jsou na obr. 5.

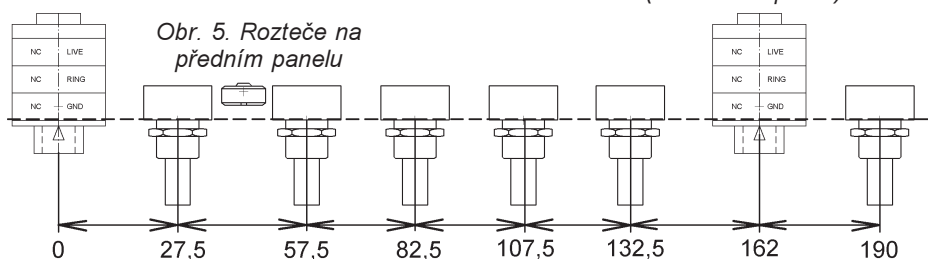
Ostatní součástky jsou běžné, plastové kondenzátory jsou na 63 V s rastroem 5 mm, mimo C122. Ten může být namáhán v proudem při rozkmitání zesilovače při nevhodných přívodech, vazbě snímače s reproduktorem atd., použijte proto raději typ pro impulsní zatížení a na st napětí 160 nebo 250 V. Někdo může namítnout, proč nepoužívám ss vazbu mezi stupni předzesilovače. To ale v nf zapojení tohoto typu není vhodné. Především by „chrastily“ potenciometry zbytkovým ss napětím na výstupu operačních zesilovačů, vznikalo by „houpání“ ss napětí při otáčení potenciometrů a vazební kondenzátory spolu s následnými vstupními odpory slouží jako zádrž pro nejnižší kmitočty, které není potřeba přenášet a reprodukovat. Drobnou nevýhodou je

nepříjemné chování zesilovače při závěru vybíjení kondenzátorů zdroje při vypnutí, z reproduktoru se ozývají podivné zvuky.

Integrované obvody předzesilovače můžete dát do objímek, ale není to nutné a v „muzikantském“ prostředí po čase asi ani příliš spolehlivé. IO by se neměly porouchat, vstup IC1 je ochráněn Zenerovými diodami a vstupy IC3 jsou buzeny přes velké odpory a články RC. V případě použití objímek lze laborovat s různými typy dvojitých OZ, zkusel jsem mimo osvědčených NJM4580N i NE5532 a TL082. Nejlepší je opravdu typ NJM4580N. Používá ho mnoho výrobců nf zařízení, je stabilní při jakémkoliv zesílení, nepotřebuje externí kmitočtovou kompenzaci a má „muzikální“ charakter zvuku a dostatečnou šířku pásma i při plném vybuzení a zatížení. MA1458 a jeho ekvivalenty ani nezkoušejte, mají při nastaveném zisku 50 již při 2 kHz velký úbytek zesílení! Nevyklučuji použití ještě kvalitnějších speciálních typů OZ, ale to jsem nezkoušel, proč také. Živá hudba není rozhodně žádný HIGH-END, i když alespoň koncový stupeň tohoto zesilovače by obstál s úspěchem i v této kategorii.

Elektrolytické kondenzátory používejte kvalitní, je to v současnosti asi nejporuchovější součástka v elektronice vůbec. Podívejte se třeba na vyřazené základní desky počítačů, většinou jsou příčinou jejich závady právě „vyschlé“ a nafouklé elektrolytické kondenzátory. Proto raději používejte vždy typy na 105 °C, i když zde kondenzátory nejsou nijak zvlášť namáhány a v zapojení jich je nezbytné minimum. Srážecí rezistory R32, R33 a R34 v napájení předzesilovače mírně hřejí, je na nich výkonová ztráta kolem 0,6 W, proto je rezistor v záporné větvi napájení raději rozdělen na dva, aby se zmenšilo zahřívání blízkého C24. Můstkový usměrňovač použijte opravdu na minimálně 25 A, nabíjecí proud kvalitních filtračních kondenzátorů 10 mF s malým ESR je při použití toroidního „tvrdého“ transformátoru značný. Chladič usměrňovač mni ani nemusí, i když jsem ho při zkouškách s externím transformátorem a výkonem kolem 300 W hodně ohřál. Komu vadí (pa)zvuky vznikající po vypnutí zesilovače, může si pomocí odpojení reproduktorů pomocí výkonového relé. Pokud použijete samostatný síťový spínač, může jeho polovina odpojovat ve vypnutém stavu reproduktor. Já však použil síťový spínač integrovaný v přístrojové zásuvce a ten volný kontakt nemá.

(Dokončení příště)



Obr. 5. Rozteče na předním panelu

Generátor funkcí s integrovaným digitálním měřičem frekvence

Richard Vacula, Michal Jahelka

Byl navržen pro 30. mistrovství ČR dětí a mládeže v radiotechnice. Jedná se o generátor funkcí sinus, trojúhelník, obdélník s integrovaným digitálním měřičem frekvence umožňujícím nastavení čítání, externí i lokální čítání od setin Hz až po 500 kHz s automatickým přepínáním rozsahů. Generátor má možnost jemné a hrubé regulace frekvence, nastavení střídy, zkreslení, amplitudy. Frekvence se přepíná ve třech rozsazích, maximální frekvence je možné seřizovat trimrem.

Konstrukce umožňuje soběstačné chlazení a rozvod tepla obvodů do plošných spojů bez nutnosti použití chladiče. Výstup je asymetrický bez oddělovacích transformátorů nebo kondenzátorů. Při testování zesilovačů je nutné ujistit se, zda je jejich vstup oddělen kondenzátorem. Výstupy jsou oddělené pro všechny funkce, a je tak možné je využít všechny současně. Napájecí stabilizované napětí je 12 až 24 V (20 až 24 V doporučené), maximální odběr je 130 mA při napájení 24 V.

Na obr. 1 je blokové schéma generátoru a na obr. 2 je celkové schéma zapojení.

Popis zapojení

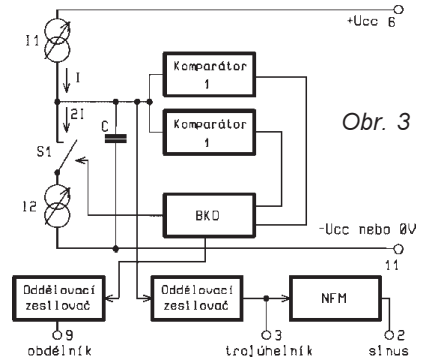
Hlavním obvodem je 8038 - přesný funkční generátor poskytující signál s pravouhlým, sinusovým a trojúhelníkovým průběhem. Pracovní kmito-

čet, nastavitelný volbou externích časovacích prvků R , C od 0,001 Hz ale spoň do 200 kHz, je málo závislý na změnách teploty. Pomocí externího řídicího napětí lze rozmitat, případně modulovat (menší rozsah změny) kmitočet všech tří základních průběhů (sinus, trojúhelník, obdélník), přičemž jsou všechny tři průběhy k dispozici současně. Blokové schéma obvodu 8038 je na obr. 3.

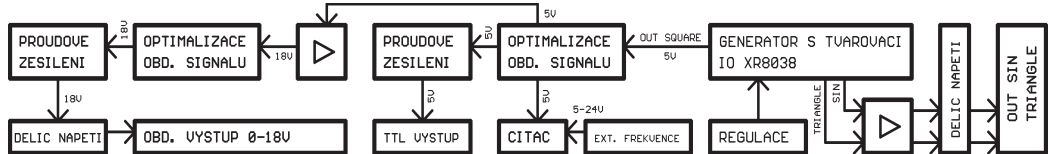
Základní frekvence je dána kapacitami kondenzátorů ($C1$, $C2$ a $C3$, aktivní je vždy pouze jedna, nastavená přepínačem rozsahu $S1$) a součástkami $D1$, $R1$, $R2$, $R3$, $R4$, $P4$. Zapojení diody $D1$ do série má za následek možnost rozmitání v daleko větším rozsahu. Pokud je na vstupu 4 i 5 stejný odpor směrem ke kladnému napájecímu napětí, je střída generovaných kmitů 1 : 1. Jakmile se při natočení potenciometru $P4$ „desynchronizují“ odpory obou vstupů, regu-



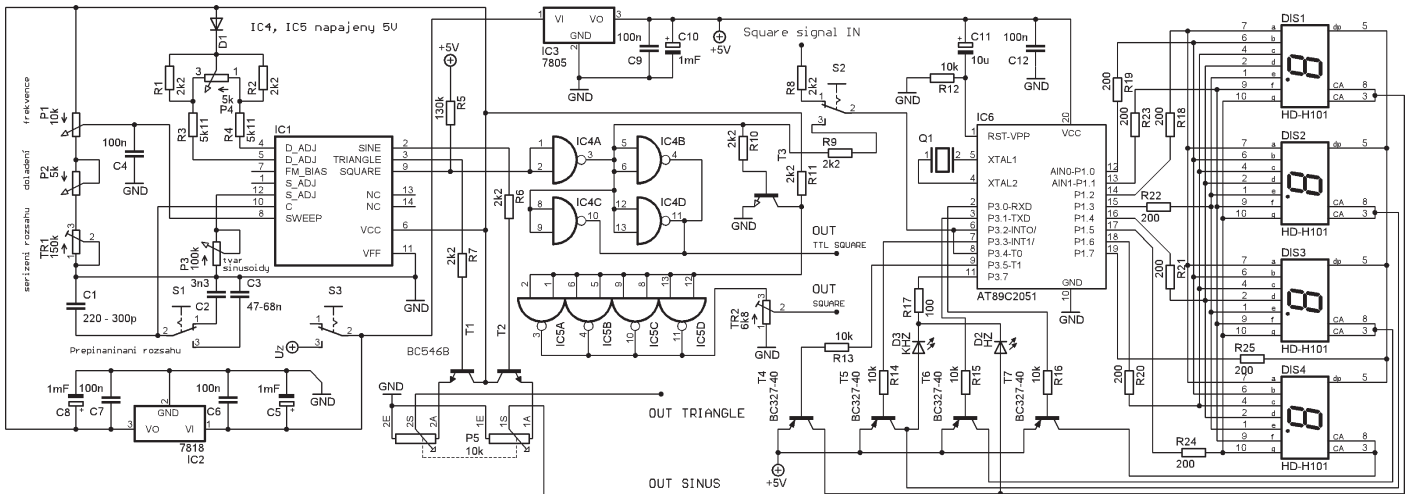
lujeme střídu, ale také frekvenci, čehož si můžeme povšimnout zvláště u nejvyšších frekvencí. Jde o běžnou vlastnost chování obvodu 8038 a díky okamžitému zobrazení změny frekvence na displeji ji můžeme po změně střídy opět uvést do původního stavu pomocí přímé regulace frekvence. Střídu lze regulovat maximálně v poměru 7 : 3/3 : 7. Obvod sice umožňuje daleko efektivnější regulaci, ale za cenu rozkmitání v nejvyšších frekvencích. Bylo zvoleno kompromisní řešení. Vypustit regulaci střídy (DUTY) zcela by mělo za následek nemožnost doladění střídy u nízkých



Obr. 1. Blokové schéma generátoru



Obr. 2. Schéma zapojení generátoru



kmitočtů, u kterých je obvod charakteristicky ztrátou stability funkcí - jejich na osciloskopu zřetelný náklon na stranu. Toto můžeme eliminovat právě doladěním střídavy, díky čemuž rovněž limitujeme zkreslení. Vyrovnanou střídou při natočení hřídele P4 do poloviny úhlové dráhy má zapojení přibližně až od 15 Hz.

Představíme-li si, že jsou vývody 4 a 5 zapojeny standardně - přes stejné rezistory k plusu (R_A a R_B), pak platí vzorec pro výpočet výsledné frekvence:

$$f = \frac{1}{T} = \frac{1}{t_1 + t_2} = \frac{1}{\frac{5}{3} \cdot R_A C \left(1 + \frac{R_B}{2R_A - R_B}\right)}$$

Tuto vypočtenou frekvenci však ještě lze ovlivňovat vstupem 8, který slouží pro frekvenční modulaci výstupu. Pokud modulační vstup zatížíme stejnosměrným napětím o určité úrovni, trvale ovlivníme i frekvenci na výstupu, čehož jsem využil, a regulace frekvence probíhá pomocí děliče napětí složeného z P1, P2, TR1. Čím více se napětí bude blížit $+U_{CC}$, tím nižší bude výsledná frekvence. Můžeme se tak bez obav pohybovat až k $+U_{CC}$, na druhou stranu už to tak není, proto je sériově k zemi napojen TR1, kterým si nastavíme mez, kam už to dál nepůjde. Protože s přibližováním se k zemi roste frekvence, dá se říci, že tímto trimrem nastavujeme maximální frekvenci, ale s ohledem na omezení obvodu.

Pokud se dostaneme za hranici ($+U_{CC} - 2/3 \cdot U_{CC} - 2$), to je na ještě menší napětí, zařízení se rozkmitá. Hraniční napětí se však v praxi pohybuje o desetiny V nahoru a dolů v závislosti na použitém kondenzátoru (C1/C2/C3). Už od pohledu vidíte, že P1 je zapojen jako dělič napětí, kdežto P2 a TR1 jsou pouze proměnné odpory, které mají na napětí přiváděné na vývod 8 vliv jen ve stavu, kdy potenciometr není plně natočen jezdcem k výstupu napojenému na kladné napájecí napětí. Při minimálních frekvencích totiž není třeba hlídat minimální napětí, jelikož je přiváděno do obvodu maximum a jemné doladění P2 se uplatňuje až od určitého natočení - frekvence stagnuje několik desetin V pod $+U_{CC}$, tudíž v tomto stavu není třeba jemné doladění. V úhlu, kdy už frekvence reaguje na natočení hlavní regulace, je rovněž funkční jemné doladění. Má pochopitelně mnohem menší dopad na výsledné napětí na obvodu než při maximální frekvenci - což je ovšem záměrem kvůli vlastnostem obvodu a potřeby jiné účinnosti jemné regulace u různých frekvencí. TR1 nastavíme tak, aby se zařízení při max. frekvenci nerozkmitalo ani na jednom rozsahu. Kondenzátor C4 zajišťuje stabilitu kmitočtové regulace při

náhlém špičkovém zatížení, chvilkovém vytížení zdroje apod.

Výstupy SINUS a TRIANGLE jsou impedančně odděleny tranzistory T1 a T2 zapojenými jako emitorové sledovače. Signál je z nich přiveden na tandemový potenciometr - sprážený dělič napětí, který umožní regulovat amplitudu obou kanálů zároveň a nemusíme uplatnit přepínač výstupů. Výhodou je zcela oddělená regulace obdélníkového signálu, kterou si popíšeme nyní.

Z obvodu nevychází již hotový obdélníkový signál, pouze výstup 9 se spínanou zemí. Pokud na tento vývod přes odpor přivedeme kladné napájecí napětí, naměříme mezi výstupem 9 a zemí signál pro logické obvody. Čím menší bude odpor rezistoru R5, tím lepší budou vlastnosti výstupu SQUARE a o to se zhorší výstup SINUS. Krajní hodnotou, aby bylo v provozu ještě čítání frekvence ve všech rozsazích, je 130 kΩ. Avšak od 150 kHz nahoru se již vytratí signál na 18 V výstupu SQUARE. Proto je třeba se rozhodnout, čemu dát přednost. Kvalitní „sinusovka“ se zkreslením do 0,3 %, nebo obdélník s vyrovnanou střídou ve všech pásmech ($R5 = 10$ až 43 kΩ). Pokud zase tolik nezáleží na zkreslení sinusového signálu ani na neměnné střídě 1 : 1 u obdélníku, můžeme zvolit kompromis $R5 = 75$ kΩ a dojdeme ke zkreslení 0,5 % pro sinus a mírným výkyvům střídavy u obdélníku.

Asi se ptáte, čím je způsobeno zkreslení sinusovky v závislosti na výstupní impedanci obdélníkového signálu (velikosti R5). Při sepnutí se rychle mění proudové zatížení obvodu a v době sepnutí se na sinusovce vytvářejí nepatrné zuby. Já se při konstrukci zaměřil na maximální kvalitu sinusového signálu v doprovodu použitelného obdélníkového signálu - to je takový, který umožní čítání frekvence vestavěného měřiče. Při tak vysoké výstupní impedanci, jako je 130 kΩ, se značně prodlužuje doba nástupné hrany, spíše se podobá vzrůstající tendenci, než okamžitému přepnutí stavu. Aby byl takový signál použitelný, je nutné jej opět tvarovat. Nejjednodušší možností je CMOS invertor, který má práh pro jedničku/nulu na výstupu jasně daný. Ale - protože hodnota pro sepnutí na log. 1 je opožděná oproti ideálnímu času na výstupu, byť s velmi rychlou nástupnou hranou, se signál už nikdy nepodaří vygenerovat se střídou 1 : 1. Pokud půjdeme do extrémních frekvencí a za invertorem bude následovat další zpožďovací prvek - v tomto případě zesilovač z 5 na 18 V pro další hradla napájená napětím 18 V, dostáváme se k dalšímu časovému posuvu. Pokud jsou srovnatelné časy nástupné a sestupné hrany nebo ještě větší zpoždění, dostáváme na

výstupu stále log. 0. Při kompromisu $R5 = 75$ kΩ však takováto situace nikdy nenastane.

Obvod CMOS 4011 se 4 hradly NAND poslouží pro optimalizaci obdélníkového signálu a jeho posílení pomocí paralelního zapojení tří hradel současně. To umožní schopnost většího zatížení (menší výstupní impedance), která je potřebná pro testování obvodů TTL. Invertovaný a optimalizovaný signál z prvního hradla vychází nejen do již zmíněné trojice hradel, ale také do zesilovače T3, R10, R11 pro transformaci 5 V signálu SQUARE na signál 18 V. Přes ochranný oddělovací rezistor R9 se signál dostává také přes přepínač lokálního/externího čítání S2 až do samotného měřiče frekvence s procesorem Atmel.

IC5 jsou opět hradla NAND, která jsou zapojena jako 4 invertory, propojené paralelně se vstupy napojenými na výstup zesilovače 5 V/18 V. Čtveřice plní funkci zvětšení proudové zatížitelnosti bez vlivu na pokles výstupního napětí a zároveň opět optimalizaci obdélníkového průběhu. Jejich výstupy se sdružují na napětovém děliči realizovaném trimrem TR2, pomocí kterého nastavujeme požadovaný výstupní signál od 0 V až do napájecího napětí na obvodu IC5.

Poznámka: Hovořím stále o 18 V, zařízení však může být napájeno také 12 V, pak pochopitelně dosadte za 18 číslo 12.

Koncepce stabilizace napětí: Neosvědčil se model sériového zapojení 7818 a 7805, jelikož proměnné proudové odběry displeje a jeho multiplexní řízení ovlivňovaly stabilitu nastavené frekvence a odstup signál/šum. Proto je část čítače frekvence i generátoru zapojena pod samostatný stabilizátor a navzájem se tolik neovlivňují. C5, C8, C10 slouží jako filtrační kondenzátory pro maximální stabilitu nastavené frekvence. C6, C7, C9 brání rozkmitání stabilizátorů IC2, IC3.

Měřič frekvence navrhl Michal Jahelka. V následujících odstavcích osvětlí činnost svého zařízení.

Srdcem i mozkiem této části je noprogramovaný mikroprocesor Atmel AT89C2051-24PU.

V časopisech a na Internetu byly zveřejněny generátory tvarových kmitů. Dokonce i návody na to, jak k výstupu připojit digitální voltmetr. Ale co chybělo, bylo měřidlo frekvence. To se přece u profesionálních generátorů vyskytuje mnohem častěji než měření napětí. A tak jsem byl nucený sednout a vymyslet „měřák“. Ale nechtěl jsem to na jednu frekvenci a nemohl jsem ani volit přepínačem, protože jsem ho měl již obsazený, nehledě na počet vývodů IO.

A tak z toho vznikl měřič frekvence s automatickým přepínáním s možnostmi měřit frekvenci od 0,1 Hz do

500 kHz, s čtyřmístným displejem v multiplexovém provozu.

Nejmenší frekvenční rozsah je 100 Hz (99,99 Hz), takže rozlišení je 0,01 Hz. Maximální měřitelná frekvence je 500 kHz, ale pokud by se před čítač předradila dělička, tak i mnohem větší. Nejvyšší možný kmitočtet je daný typem mikropočítače. Byl použit Atmel AT89C2051 s krys-talem 24 MHz.

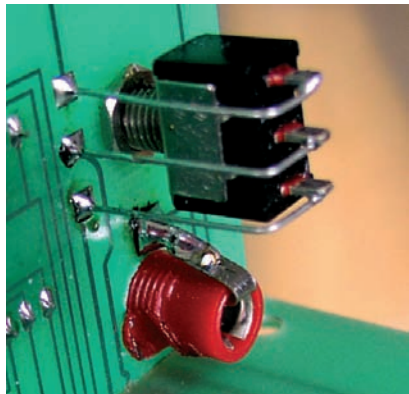
Měření se dělí na dvě části. Pro nízké frekvence se měří délka periody a pro vysoké frekvence počet pulsů za určitý čas.

Konstrukce

Je třeba si uvědomit, že pájíme s obvody CMOS. Tzn., pracujeme bez svetrů a jiných tkanin, které jsou schopny pojmát elektrostatickou elektřinu, vyvarujeme se transformátorové páječky. Deska s plošnými spoji je dvoudílná, jednostranná s potiskem součástek a hlavního panelu, nepájivou maskou, vyvrtáním a pocínováním. Zapojení je konstrukčně dobře řešeno. Po osazení a spojení obou desek je možné zařízení rovnou používat.

Desky je nutné osadit samostatně. Začínáme propojkami, pak od nejnižších pasivních součástek až po nejvyšší, teprve pak osazujeme tranzistory, IO, krystal úplně nakonec. Přepínače mají našroubovány dvě matky se dvěma podložkami. Zbavte se podložek. Jedna matka bude dorážející plochou ze strany spoje a druhá přepínač přichytí ze strany součástek (zepředu). Zvolte odsazení spodní matky od těla přepínače tak, aby z přední strany nevyčníval hyzdící závit. Drátovými propojkami spojíme vývody přepínačů s ploškami na plošném spoji (obr. 4). V přesném pořadí, jak splývá s rozmístěním vývodů na DPS.

Konektory vstupů je nutné nejprve rozebrat - sejmout dvě plastové podložky, jednu kovovou a matku. Poté plastovou podložku, která má tvar mističky, obrátit a znovu nasunout na šroub konektoru (obr. 5). Konektor zasunete z přední strany do DPS i s oto-



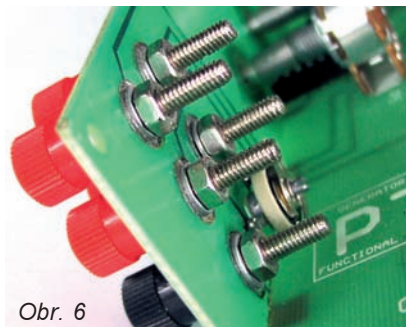
Obr. 4

čenou plastovou podložkou a ze strany spoje nasunete na vyčnívající šroub kovovou matku a utáhněte. Plošný spoj je konstruován tak, že přitáhnutím se přímo propojí konektor se zařízením. Černý konektor připevníte do zdičky GND. Trochu komplikovanější to je s vestavěním jiného typu konektoru vstupu pro měření frekvence externího zdroje. Zde nevyužijeme žádných matek a podložek, nýbrž pouze páječky. Konektor bez matky zasuneme do spoje a jeho pájecí plošku ohneme k DPS na místo, kde je pájecí ploška pro konektor. Použijeme velké množství cínu nebo kousek drátové propojky. Z bočních stran konektoru a ze strany spoje přiložíme rozehřátou páječku tak, aby se plast natavil a přečníval přes otvor. Necháme zatvrdnout, čímž se upevní konektor bez nutnosti užít matku, která by zkratovala okolní spoje. Tento postup uchycení se již osvědčil i u jiných konstrukcí, není se čeho obávat.

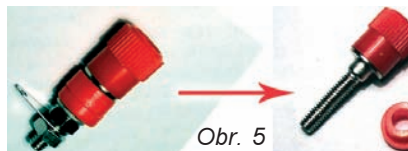
Trimer TR2 (obr. 6) se připájí na pájecí plošky ze strany spoje. Před tímto úkonem zkrátíte kleštičkami jeho vývody až k rozšíření drátového vývodu - při této délce bude regulační šroub milimetr nad spojením a snadno přístupný šroubovákem z přední strany ovládacích prvků. Pochopitelně připevníte, případně přizpůsobíte vývody tak, aby byl šroub ve středu vývodu pro možnost otáčení ze strany ovládacích prvků.

Displeje v libovolném pořadí zasunete tečkou směrem dolů. Diody LED mohou mít drátové vývody se špatnými „doseky“ z výroby - místa se skokovou šíří vodiče budete muset nejspíš zbrousit, aby bylo možné diody zasunout na doraz DPS.

Chlazení stabilizátorů IC2 a IC3 je řešeno rozvedením tepla do plošných spojů přes upevňovací šroub. Drátové vývody obvodů zahne tak, aby stabilizátor ležel na plošném spoji a otvor na integrovaném obvodu byl v zákrytu s otvorem na plošném spoji. Zasuneme šroub a pořádně dotáhneme. Pro zlepšení odvodu tepla při-



Obr. 6



Obr. 5

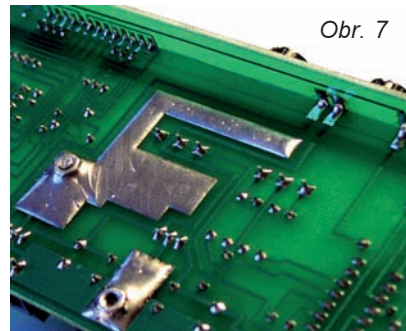
pájíme šroub k obvodu a totéž provedeme s matkou z druhé strany. Aby vzrostl objem chladicího tělesa, pocínujeme již předcínovanou plochu z výroby na plošném spoji (obr. 7).

Jsou-li obě desky osazeny a zkontrolovány - případně i zapojením základní desky s většinou součástek, která by sama o sobě neměla mít odběr větší než 20 mA, můžeme se pustit do spájení profilu L. Není to tak složitá operace, jak by se na první pohled mohlo zdát, myslíme jsme i na méně nadané „oko“ a odpadá riziko křivého spájení. Na spoji ovládacích prvků jsou na stranách kalibrační proužky - mezi ně přiložte základní desku a zapájejte první dvě plošky. Jednu úplně napravo a druhou úplně nalevo. Cín je měkký a pokud plošné spoje nesvírají pravý úhel, stačí podle vlastního citu nebo úhelníku spoje srovnat. Pokud je vše v pořádku, pokračujeme v procínování všech ostatních propojovacích kontaktů. Na závěr do zadních zdílek základní desky zašroubujeme kratší šroubky a do předních delší, aby zařízení stálo a přední panel byl vyvýšen, čímž i natočen nahoru na pozorovatele. Takto vyhotovené zařízení již čeká pouze na propuknutí „nového života“.

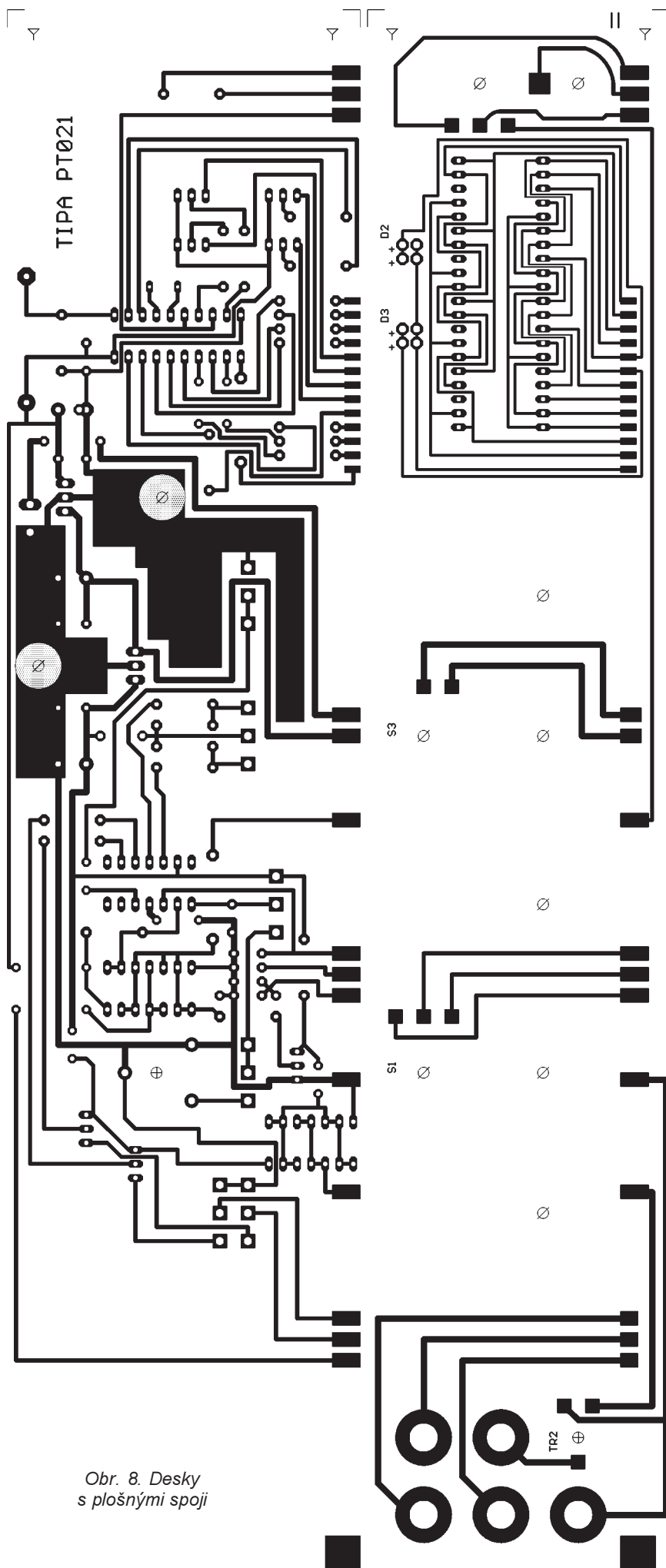
Oživení

Připojte na svorkovnici napájecí napětí 20 až 25 V. Odběr by neměl přesáhnout 130 mA bez zatížených vstupů, pouze s čítáním interní frekvence.

Zjistěte pomocí sluchátek, zda je signál na všech výstupech. Použijte raději oddělovací rezistor asi 1 kΩ. Pokud je vše v pořádku a slyšeli jste signál (při nastavené frekvenci vašim uchem slyšitelné! - tedy pod 10 kHz), nastavte trimrem TR1 rozsahy tak, aby se frekvence rovnoměrně čítala až k maximu a nezastavil se čítací cyklus nebo se náhle nezměnila hodnota frekvence směrem dolů a nezačala opětovně stoupat. Frekvenční rozsahy jsou přibližné, protože jsou použity součástky s 20 % tolerancí.



Obr. 7



Obr. 8. Desky s plošnými spoji

Takto velikou tolerancí a tím i levně součástky si však můžeme dovolit, neboť se zjištění frekvence neřídí žádnou stupnicí, ale hodnotou na displeji. Díky tomu si taky můžete rozsahy podle libosti upravovat pro své potřeby - například podle katalogového listu 8038 se lze dostat až na frekvenci 0,001 Hz, kterou je rovněž schopen změřit vestavěný čítač - pochopitelně výpočet trvá déle. Změnou hodnot C1/C2/C3 se můžete odpoutat od standardních rozsahů. 200 kHz je však maximum, 0,001 Hz minimum - to je důležité respektovat. K těmto extrémním hodnotám se lze dostat jen s určitým poměrem hodnot kondenzátor/imaginární rezistory R_a , R_b . To však nebudeme rozvádět, dokumentace obvodu je volně ke stažení na www.datasheetarchive.com.

Rozmístění ovládacích prvků

Veškeré ovládání přístroje je soustředěno na čelní desce - řídí se jím další spoj „základní deska“. Jsou zde přepínače pro nastavení měření frekvence tohoto, případně externího generátoru, zapnutí přístroje a přepínání rozsahů. Najdete zde výstupy, nastavení napětí na regulovatelném obdélníkovém výstupu.

Z panelu vystupují hřídele potenciometrů: Distortion pro tvarování sinusovky (nejmenší zkreslení při plném natočení doprava), Duty pro nastavení střídavosti, Frequency pochopitelně regulace frekvence, Fine-tune je jemným doladěním frekvence a Amplitude pro regulaci amplitudy výstupu SINUS a TRIANGLE. Snažil jsem se dosáhnout pěkného designu rozmístění prvků, intuitivního ovládání za udržení přehlednosti a praktické použitelnosti.

Měřicí protokol

Měřicí přístroje potřebné pro vývoj tohoto zařízení zajistil pan Valfrid Slanina. Pomohl nám změřit zkreslení a odstup signál/šum.

Kmitočet - zkreslení:

- 30 Hz - 0,25 %
- 60 Hz - 0,26 %
- 120 Hz - 0,3 %
- 533 Hz - 0,23 %
- 1 kHz - 0,3 %
- 4 kHz - 0,28 %
- 10 kHz - 0,24 %
- 15 kHz - 0,3 %

Odstup signál/šum:

- do 200 kHz - 85 dB,
- do 20 kHz - 90 dB.

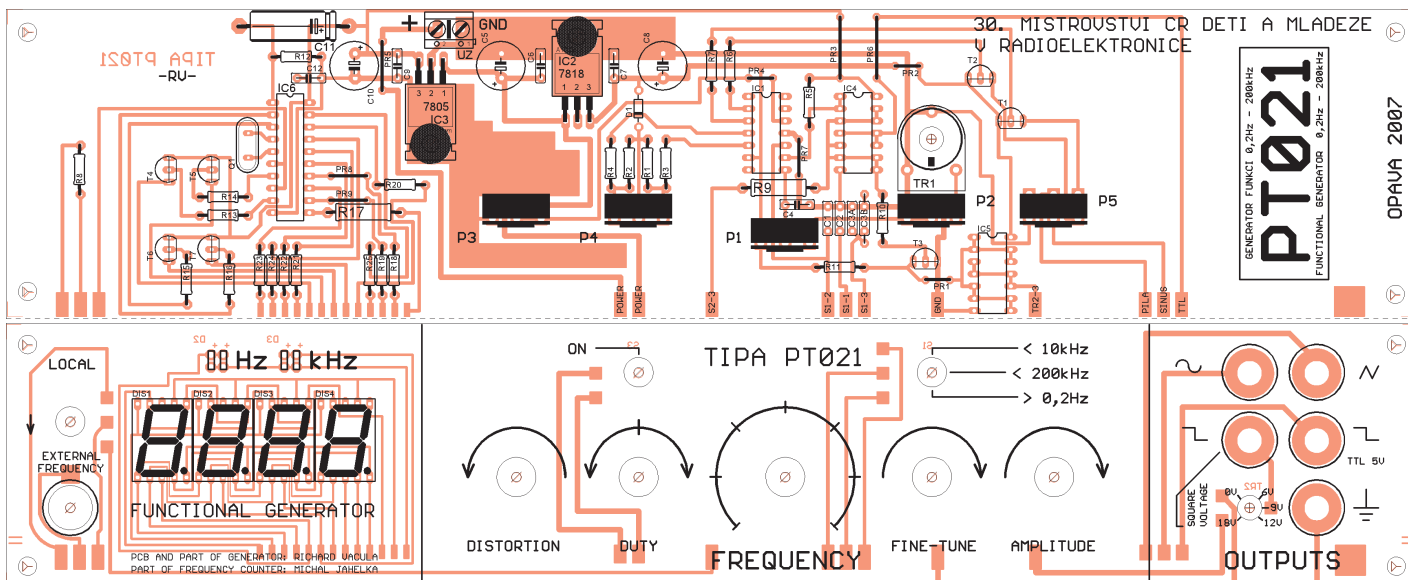
Psofometrický filtr:

86 dB.

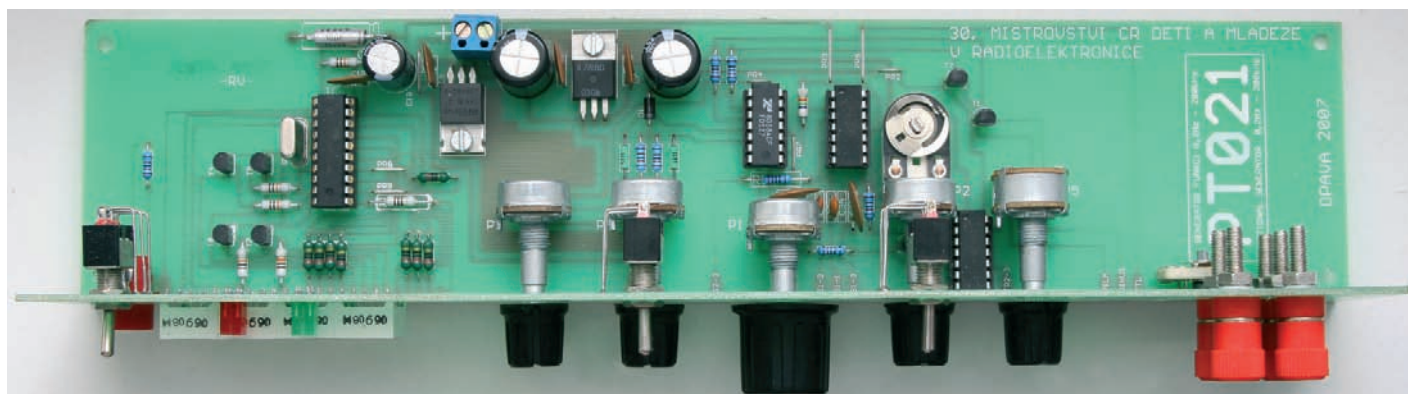
Amplituda měřená na výstupu TRIANGLE:

- zatížení 600 Ω - 4,5 V;
- při 100 Ω - 4,3 V.

Zkreslení a odstup signál/šum byl měřen na přístroji TESLA MNZ 21.



Obr. 9. Rozmístění součástek



Obr. 10. Fotografie hlavní desky



Obr. 11. Fotografie čelního panelu

Literatura

[1] Wirsum, S.: Abeceda nf techniky. Ben - technická literatura.

[2] Dietmeier, U.: Vzorce pro elektroniku. Ben - technická literatura.

www.postreh.com/vmichal/
www.radioplus.cz/clanky/pdf/mono-lit.pdf

Seznam součástek

R1, R2, R6,
R7, R8, R9,
R10, R11
R3, R4

2,2 kΩ
5,11 kΩ

R5 10/75/130 kΩ
R12 až R16 10 kΩ
R17 100 Ω
R18 až R25 200 Ω
P1 10 kΩ/N
P2, P4 5 kΩ/N
P3 100 kΩ/N
P5 10 kΩ/N, tandem
TR1 150 kΩ, TP 017
TR2 6,8 kΩ, TP 012
C1 220 až 300 pF
C2 2,7 až 3,3 nF
C3 47 až 68 nF
C4, C6,
C7, C9, C12 100 nF
C5, C8, C10 1000 μF
C11 10 μF/15 V, axiál.
IC1 8038
IC2 7818

IC3 7805
IC4, IC5 4011
IC6 89C2051
T1 až T3 BC547C/BC546B
T4, T5,
T6, T7 BC327-25
D1 1N5819
D2 2x červ. LED
D3 2x zelená LED
DIS1, DIS2,
DIS3, DIS4 BS-A554RD
Q1 24 MHz, 5 mm
S1 až S3 přepínač 3 polohy/3 vývody
UZ AK500/2
Knoflíky, zdiřky, šroubky, matky

Program pro procesor kmitočtoměru si můžete stáhnout na stránkách www.radio.cz

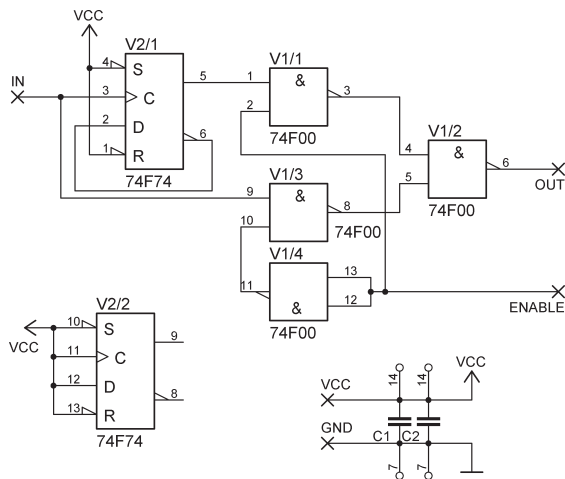
Úprava čítače MEXIS z PE 05/2004

Petr Pazourek

Popisovaný čítač patří mezi zdařilé konstrukce, je dořešen i po mechanické stránce, automatická volba rozsahu je velmi sympatická, a navíc neobsahuje žádné předděličky typu SAB, které jsou u nás poměrně těžko dostupné.

Rozhodl jsem se jej ihned postavit, bohužel mě však zklamal jeho firmware. Jednotlivé rozsahy jsou na displeji zobrazovány velmi nečitelně, pouze jako naměřený údaj a příslušný počet nul. Pokud měříme vyšší kmitočty, je odečítání velmi nepříjemné. Rozhodl jsem se proto napsat firmware vlastní. Zapojení jsem navíc modifikoval o předděličku dvěma s obvodu 74Fxx, čímž se maximální kmitočet zvětšil na 120 MHz.

Dělička je tvořena jedním klopným obvodem D zapojeným jako T, druhý klopný obvod v pouzdře je nevyužit. Původní a dělený signál se přepínají hradly NAND. Dělička je připojena kablíky ze strany spojů. Na původní desce s plošnými spoji jsem opatrně přerušil cestu hned za pinem 5 přepínače S1, na vývod č. 5 připojil vstup IN děličky a na pin 3 IO5 připojil výstup děličky - OUT. Signál ENABLE sloužící k aktivaci děličky je připojen



Obr. 1.
Zapojení předděličky
k čítači MEXIS

na pin P3.7 CPU (vývod č. 17), který je původně nevyužitý. Rozměr děličky je i s klasickými IO dostatečně malý, aby se do původní krabičky vešla. Nejvhodnější místo je prostor hned vedle baterií. Napájení děličky je připojeno na napájecí piny CPU.

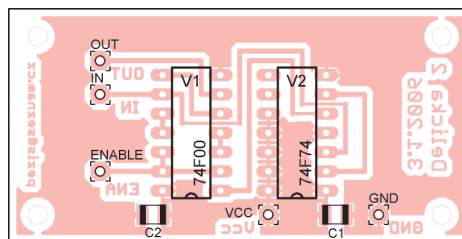
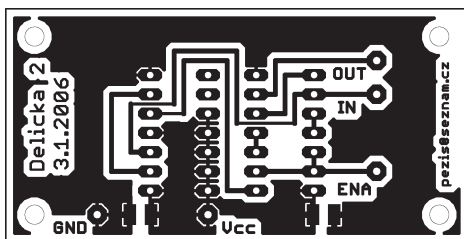
Původní firmware měl střihu signálu, ovšem ne vždy správně, proto jsem se rozhodl tuto funkci neimplementovat. Automatické vypnutí přístroje zůstalo stejné. Kmitočet generátoru i čítače je nyní zobrazena jako číslo s desetinnou tečkou a příslušnou předponou před jednotkou (Hz, kHz, MHz). V módu počítadla impulsů je zvětšen maximální možný počet měřených impulsů na asi 655 350 000 oproti původním 2 milionům. Červená dioda se rozsvítí opět po načítání maximálního počtu impulsů, ale měřidlo se zastaví a již dále nepočítá, což je změna oproti původní verzi. Přesnost stopek je poněkud horší - 0,025 s, ale stále vyhovující. Ovládání celého přístroje je totožné s původní verzí.

Nový firmware je k dispozici ve dvou verzích. Citac60.hex je určen pro původní čítač bez uvedené předděličky, Citac120.hex je pro čítač s uvedenou předděličkou. Firmware je ke stažení na www.aradio.cz. E-mail autora pezis@seznam.cz, [www.http://www.stud.feec.vutbr.cz/~xpazou00/](http://www.stud.feec.vutbr.cz/~xpazou00/)

Seznam součástek předděličky

IO1	74F74
IO2	74F00
C1, C2	100 nF, keramický, SMD 1206

Uvedené IO lze zakoupit např. v prodejních GES Electronics.

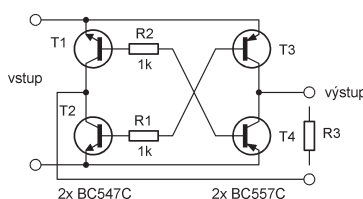


Obr. 2.
Deska s plošnými
spoji předděličky
v měřítku 1:1
a rozmístění
součástek na desce

Netradiční usměrňovač

Zajímavé zapojení dvoucestného usměrňovače s malým úbytkem napětí je na obr. 1. K usměrnění se místo diod používají tranzistory. Pokud je na vstupu kladná půlvlna, prochází proud přes přechod báze-emitor tranzistoru T3, rezistor R1 a přechod báze-emitor tranzistoru T2. Tranzistory T2 a T3 jsou otevřeny a zátěž (rezistor

R3) je připojena k napájení. Tranzistory T1 a T4 jsou v inverzním zapojení a uzavřeny. V opačné půlvlně ve-



Obr. 1. Usměrňovač s tranzistory

dou T1 a T4, uzavřeny jsou naopak T2 a T3. Na zátěži je pak napětí se stále stejnou polaritou. Obvod lze použít např. v případech, kdy není definována polarita zdroje napájecího napětí. Zapojení má i své nevýhody: tranzistory se otvírají až od vstupního napětí 1,2 V (2x napětí přechodu b-e) a vstupní napětí může být nejvýše 6 až 7 V, při větším napětí hrozí průraz přechodů b-e v závěrném směru a zničení tranzistorů.

VH

Rádiotechnika 11/2006

O zkreslení 2

Pavel J. Panenka

Již dlouho se ví, že údaj o činiteli harmonického zkreslení (Total Harmonic Distortion, THD) není spolehlivým měřítkem jakosti výkonových audiozesilovačů. Rozpory mezi údaji harmonického zkreslení a výsledky poslechových testů, zvláště při srovnávání elektronkových a tranzistorových zesilovačů vedly dokonce k názorům, že technické údaje nemají pro posuzování kvality poslechu žádný význam.

Dnešní tranzistorové zesilovače jsou co do technických parametrů o mnoho lepší, než jejich předchůdci z šedesátých a sedmdesátých let. Přesto – aspoň u mnoha audiofilů – přetrvává názor, že starým dobrým elektronkám se tranzistory nemohou vyrovnat. Proč?

Zkreslení a harmonické

Hned na začátku je vhodné připomenout, že velikosti a vzájemné poměry harmonických složek, které vznikají při průchodu harmonického („sinusového“) signálu měřenou soustavou, vyjadřují určitým způsobem velikost a druh zakřivení přechodové charakteristiky (to je křivka, která na následujících obrázcích 1 a 3 „odrážá“ vstup do výstupu). Kdybychom přechodovou charakteristiku popsali rovnicí tvaru

$$y = a + bx + cx^2 + dx^3 + \dots \quad (1)$$

a oprášili středoškolské znalosti matematiky, zjistíme, že ze vstupního signálu „x“ sinusového tvaru produkuje n-tá mocnina mimo jiné výstupní sig-

nál n-té harmonické. Takže druhá harmonická představuje velmi plynulé (parabolické, x^2) prohnutí charakteristiky, zatímco třeba sedmá naznačuje mnohem ostřejší zakřivení způsobené složkou x^7 .

Obecně můžeme říci, že čím křivější je přechodová charakteristika, tím vyššího řádu produkuje harmonické. Spektrum harmonických (jako na obrázcích 2 a 4) proto napovídá o zkreslení zesilovače mnohem více, než jediný údaj THD nebo jiného, třeba intermodulačního zkreslení.

Činitel harmonického zkreslení a jeho nevýhody

Dosud nejpoužívanějším měřítkem nelineárního zkreslení je poměr efektivní hodnoty součtu harmonických (vzniklých zkreslením čistě sinusového vstupu) k základní (první) harmonické:

$$THD = \frac{\sqrt{u_2^2 + u_3^2 + u_4^2 + \dots}}{u_1} \cdot 100 \quad [\%] \quad (2)$$

kde u_1 je napětí základní (první) harmonické, u_2 a další napětí druhé har-

monické na výstupu atd. Někdy se ve jmenovateli uvádí efektivní hodnota výstupního napětí včetně harmonických, takže údaj THD vychází o něco menší.

Proti THD jako měřítku slyšitelného zkreslení jsou dvě vážné námitky. Za prvé, intenzita sluchového dojmu zřejmě nesouvisí přímo s efektivní hodnotou akustického tlaku. Naopak je známo, že čistě harmonický (sinusový) tón má – při stejné efektivní hodnotě – subjektivně menší hlasitost než sluchu nepřijemné rušení, zvláště krátké a strmé impulsy. Za druhé nemůžeme tvrdit, že by všechny harmonické přispívaly ke slyšitelnému zkreslení stejně; naopak pozorujeme, že vyšší harmonické, zejména spadající do okolí 6 kHz, mají na nepříznivý sluchový dojem výrazně větší vliv.

Dva druhy zkreslení

U elektroakustických zařízení se setkáváme se dvěma „krajními“ druhy zkreslení, které mají výrazně odlišný charakter.

„Hladké“ zkreslení

První druh zkreslení je typu „měkkého omezení“ podle obr. 1 (v rámečku je zvětšený časový průběh zkreslení, tedy toho, co se na výstupu přičítá k čistě sinusovce).

Tento druh zkreslení můžeme považovat za přirozený, protože se běžně vyskytuje v přírodě i v technice u strun a membrán, mimo jiné i u reproduktorů a také našich uší. Malá síla (= vstupní signál) způsobí úměrnou výchylku (= výstupní signál), větší síle však struna či membrána klade větší odpor, takže výchylka je menší. Podle zkušenosti zkreslení tohoto druhu vnímá náš sluch jako přirozené a nepřesáhne-li určitou mez, přijatelné. Jeho důležitou vlastností je, že při zmenšování vstupního signálu se také zkreslení zmenšuje prakticky k nule.

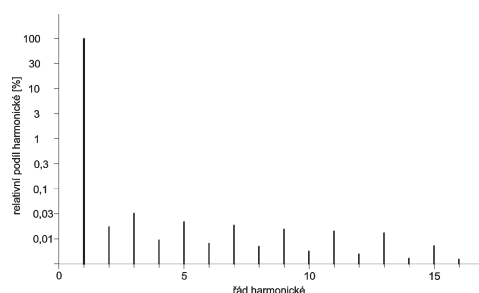
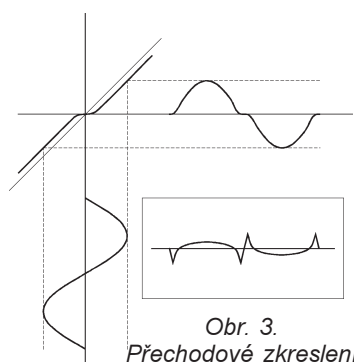
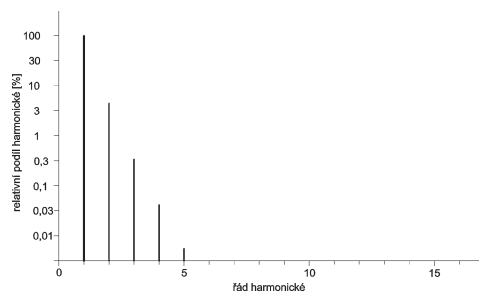
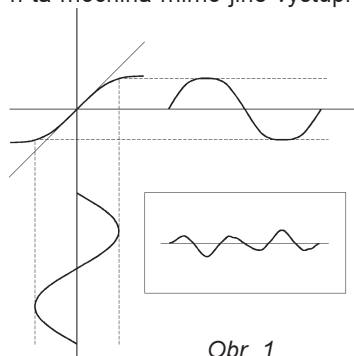
Obecnější variantou tohoto „přirozeného“ zkreslení je případ, kdy převodní charakteristika není symetrická, tj. není na okrajích stejně zakřivená, případně střední část je prohnutá do tvaru paraboly. Je-li omezení přesně symetrické, obsahuje jeho spektrum jen liché (3., 5., ...) harmonické; nesouměrná charakteristika produkuje také sudé (2., 4., ...) harmonické.

Spektrum harmonických „měkkého“ zkreslení má obecně tvar podle obr. 2.

Charakteristické je, že velikost harmonických s jejich pořadovým číslem rychle ubývá a také velikost zkreslení při menším vybuzení klesá (obr. 5, křivka A).

„Ostré“ zkreslení

Druhý typ zkreslení je typický pro dvojčinné tranzistorové zesilovače, kde každý zesilovací prvek zesiluje převážně „svou“ půlvlnu signálu (pře-



chodové zkreslení, pro názornost poněkud přehnané, obr. 3).

Také zde je v rámečku naznačen zvětšený časový průběh zkreslení, které - na rozdíl od předchozího případu - je „ostré“ - obsahuje náhlé změny. To se projeví vyšším obsahem harmonických vyššího řádu (obr. 4).

Charakteristickou vlastností přechodového zkreslení je, že se se zmenšujícím vybuzením nezmenšuje, naopak jeho poměrná velikost (tj. THD) roste – tedy právě naopak, než je tomu u zkreslení předchozího druhu (obr. 5, křivka B).

Není sporu o tom, že při stejné číselné hodnotě THD je „ostré“ zkreslení sluchu mnohem nepříjemnější než „měkké“. Často se popisuje jako „drsný“ nebo „zrnitý“ zvuk, dokonce jako „písek ve výškových reproduktorech“.

Čím nahradit THD

Není-li číselný harmonického zkreslení dobrým ukazatelem, hodilo by se definovat jiný, který by pokud možno jedním číslem vyjádřil zkreslení v souladu s poslechovým dojmem. Takových pokusů už bylo několik, ale žádný z navrhovaných údajů se dosud neprosadil.

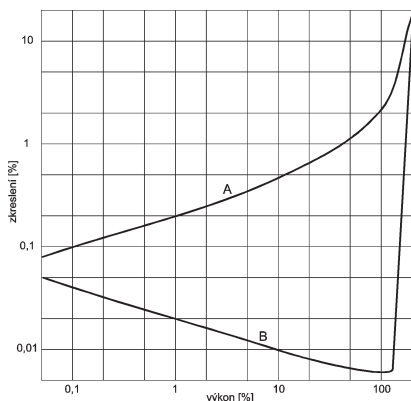
Vázení harmonických

Někteří výzkumníci se pokusili dát obsah harmonických do souladu s poslechovým dojmem tak, že vyšším harmonickým, než je druhá, přiřadili vyšší „váhu“. Váhové koeficienty pro dva takové pokusy jsou pro zajímavost v tabulce 1, n je pořadové číslo harmonické.

Pokud se těmito koeficienty násobí amplitudy harmonických před dosazením do vzorce pro THD (2), dostaneme „vážené“ harmonické zkreslení. Zvláště druhá sada koeficientů ($n^2/4$) prý dává výsledky dobře odpovídající poslechovému dojmu. Nicméně tato metoda je čistě spekulativní a není dostatečně podložena výzkumem.

Srovnávání se zkreslením ucha

Střední část lidského ucha obsahuje součásti (bubínek, kladívko, ko-



Obr. 5. Závislost zkreslení na výkonu (A - měkké, B - ostré)

vadlinka, třmínek), které jsou zřejmě zdrojem vlastního zkreslení [1]. To dosahuje při vyšších hlasitostech i dost vysokých hodnot (obr. 6).

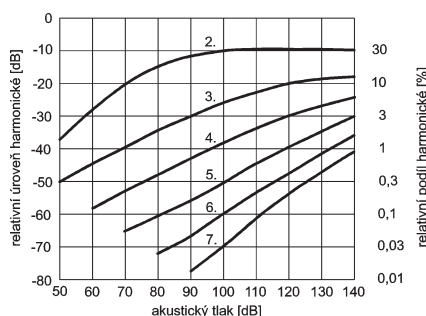
Toto zkreslení je zřejmě „měkkého“ typu: výrazně se zmenšuje s klesající hlasitostí a podíl vyšších harmonických s pořadovým číslem rychle klesá. Zvláštní je, že zkreslení vlastního ucha neslyšíme, nebo si ho alespoň neuvědomujeme. Zdá se, že sluchové centrum v našem mozku dokáže zkreslení vznikající v uchu nějak kompenzovat.

Cheever [2] vyšel z představy, že uchu vyhovuje zkreslení podobné jeho vlastnímu a navrhl porovnávat zkreslení zkoumané soustavy se zkreslením ucha tak, že se po jednotlivých harmonických složitým způsobem sečtou jejich rozdíly. Také tato metoda je založená na spekulaci a navíc nepraktická na realizaci, i když za ni autor dostal akademický titul.

Zkreslení jako hluk

Podstatně lépe zdůvodněná metoda vychází ze způsobu měření hluku (anglické „noise“ může znamenat hluk, šum i rušení) při zpracování a přenosu rozhlasového signálu. Je podložena dlouholetým výzkumem reakce posluchačů rozhlasu na hluky jako klapání, tónové impulsy a šumy a srovnáváním jejich zdánlivé hlasitosti s harmonickým tónem 1 kHz. Metoda byla přijata jako norma IEC ITU-R 468 [3]. Od „klasického“ měření hluku, kdy se vyhodnocuje efektivní hodnota akustického signálu (zpravidla po úpravě filtrem, nejčastěji typu A), se měření podle ITU-R 468 liší jednak zvláštním vyhodnocováním špičkové hodnoty a doby trvání impulsů, jednak jiným filtrem, který zdůrazňuje kmitočty mezi 5 a 8 kHz, kde je sluch na rušení zvláště citlivý.

Považujeme-li zkreslení za hluk, můžeme je po odfiltrování první harmonické jako hluk vyhodnotit. Klasický hlukoměr dá při vyřazeném filtru prakticky stejný údaj jako THD, pro-



Obr. 6. Vlastní zkreslení ucha

Tab. 1. Vázení harmonických

Poř. č. harmonické n	2	3	4	5	6	7	8	9
Vzorec pro koeficient								
$n/2$	1	1,5	2	2,5	3	3,5	4	4,5
$n^2/4$	1	2,25	4	6,25	9	12,25	16	20,25

tože měří efektivní hodnotu. Vyhodnocení zkreslení podle ITU-R 468, autorem nazvané Distortion Residue [4], dává výsledky, které oceňují „ostré“ zkreslení podstatně vyšší hodnotou než „měkké“ a blíží se tak poslechovým testům.

Tyto „nové“ způsoby vyhodnocování zkreslení mají společnou nevýhodu, která zřejmě brání jejich zavedení do praxe: číselné údaje takto vyjádřeného zkreslení jsou vyšší, často i mnohem vyšší než „staré“ hodnoty THD. To v technických údajích nevyhověje dobře, a proto se stále setkáváme a budeme setkávat dál s nic neříkajícím THD.

Jak asi slyšíme zkreslení

Zdá se rozumné předpokládat, že zkreslení o hodně menší, než vzniká ve vlastním uchu (obr. 6), neslyšíme. Z toho plyne, že elektroakustická soustava, která při vybuzení sinusovým signálem produkuje každé harmonické podstatně méně než vlastní ucho, má zkreslení pod hranici slyšitelnosti.

To by znamenalo, že při hlasitosti kolem 70 dB – což odpovídá v domácích podmínkách při citlivosti reproduktorové soustavy 85 dB/W asi 200 mW středního nebo kolem 2 W špičkového výkonu – musí mít zesilovač zkreslení druhou harmonickou podstatně menší než 10 %, zkreslení třetí harmonickou výrazně pod 1 % atd. S klesající hlasitostí (= výkonem) se ovšem zkreslení musí rychle zmenšovat – alespoň 10× na každých 20 dB.

Tak se dá vysvětlit, že jednočinný výkonový zesilovač s triodou, který má při plném vybuzení zkreslení – převážně druhou harmonickou – i několik procent, zní docela dobře – prostě proto, že při normálním poslechu hraje naplno jen výjimečně a při nižších úrovních hlasitosti je jeho zkreslení (protože je „hladké“) nepatrné. Naopak zesilovač postavený na některém ze starších integrovaných obvodů (řekněme TDA2020), jehož přechodové zkreslení nemíží ani při nepatrném výkonu, bude znít „drsně“.

Dnešní kvalitní tranzistorové zesilovače však mají zkreslení tak malé, že je sotva rozlišitelné od šumu. Nelze vyloučit, že i to někdo slyší, ale z vlastní zkušenosti to potvrdit nemohu.

Domněnky a pověry

Ze skutečnosti, že udávané hodnoty harmonického zkreslení (THD) často neodpovídají poslechovým testům,

odvozují „subjektivisté“ názor, že technické údaje obecně nemají význam a skutečné vlastnosti lze zjistit jedině poslechem (opačnou krajností je tvrzení „objektivistů“: co nejde změřit, nemůže být slyšet). Subjektivní hodnocení však může být snadno ovlivněno jinými než akustickými vlastnostmi: pověstí výrobce, vzhledem přístroje, z jakých součástí je postaven, kolik váží, kolik stojí atd. Tzv. slepé testy (kde posluchač neví, co slyší) jsou vzácné a z pochopitelných důvodů neoblíbené. Snadno tak vznikají domněnky a pověry, které jsou v podstatě jen tvrzením uznávaného autora.

Názor, že jsou elektronky lepší než tranzistory, měl dříve jakési opodstatnění. V šedesátých letech stávěné tranzistorové zesilovače třídy B měly přechodové zkreslení dosti velké, hlavně proto, že vlastnosti tehdejších tranzistorů nedovolovaly zavést dostatečně silnou zpětnou vazbu. Tranzistorové zesilovače ve třídě A s výkonem srovnatelným s elektronkovými zesilovači se až na výjimky nestavěly. Asi první výjimkou byl Hoodův zesilovač [5], který si získal pověst téměř zázračného zapojení. Přitom je zřejmé – a autor se tím netajil – že šlo o „z nouze čtnost“, výkonové tranzistory PNP tehdy prostě nebyly k dostání. Hoodův zesilovač dobře zněl proto, že pracoval ve třídě A, a z tohoto důvodu zní dobře i dnes. Zajímavé je, že tento zesilovač má minimální počet součástí a poměrně slabou zpětnou vazbu, podobně jako o něco pozdější a také dodnes napodobované zapojení, které publikoval Hiraga [6].

V dřevních dobách elektroakustiky se tvrdilo, že triody znějí lépe než pentody. Mohlo to být tím, že ve zkreslení triody převládá druhá harmonická, na kterou je ucho méně citlivé; další důvod může být v menším výstupním odporu, který lépe tlumí připojený reproduktor, protože záporná zpětná vazba se tehdy ještě nepoužívala.

Dodnes však přežívá názor, že nejlepším zesilovačem je jednočinný (single-ended, SE) zesilovač s triadou. Že by proto, že dvočinným (push-pull, PP) zapojením se „příjemné“ sudé harmonické navzájem ruší?

Odtud není daleko k další pověře, že k tomu, aby byl zesilovač „muzikální“, musí mít určité zkreslení s určitým poměrem harmonických. Podle některých údajů jsou skutečně posluchači, kteří trochu zkreslení slyší rádi. Poměrně nedávno však provedl Howard [7] řadu pokusů s umělé zavedeným zkreslením, a i když uznal, že některé poměry harmonických jsou na poslech příjemnější než jiné, jednoznačně se přesvědčil, že poslech bez zkreslení je nejlepší.

Samostatnou kapitolu tvoří domněnky o účincích zpětné vazby. Je zajímavé, že prvním významným použitím záporné zpětné vazby byla „linearizace“ zesilovačů pro dálkové telefonní kabely, kde umožnila značné zlepšení srozumitelnosti. Od té doby se názory na zpětnou vazbu rozdělily až do krajností: někteří ji považují téměř za všelék na neduhy zesilovače, zatímco jiní tvrdí, že je nejlépe se jí úplně vyhnout. Ale o tom snad někdy jindy.

Co vyzkoušet, co postavit

Konstruktor, který věří osvědčeným zapojením, udělá nejlépe, přidrží-li se zesilovačů podle návrhu prof. Leache; návody lze najít i ve starších číslech tohoto časopisu.

Kdo chce zkusit, zda opravdu třída A zní lépe, může se inspirovat zesilovačem podle Hooda [5]; na téže stránce jsou i pozdější modifikace tohoto jednoduchého a léty prověřeného zapojení.

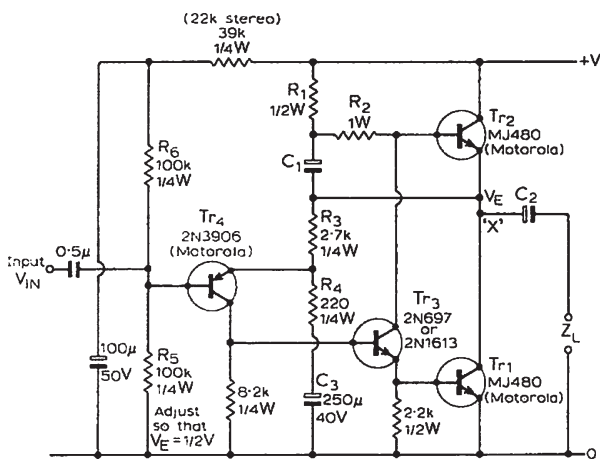
Je možno také vyzkoušet podstatné zvětšení klidového proudu zesilovače alespoň na stovky mA – viz [8]. Tím se přechodové zkreslení „vytlačí“ ze středu přechodové charakteristiky, takže se při malých hlasitostech

neuplatní za cenu výrazného zvětšení klidové spotřeby a tedy oteplení.

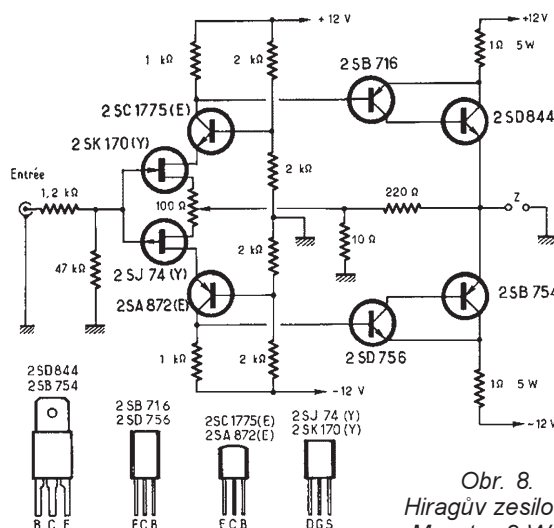
Jinak je lákavé přesvědčit se, zda na těch pověstech o elektronkách přece jen něco není. Také na elektronkové zesilovače lze najít návody v tomto časopise. Nováčkům v oboru bych připomněl, že to není bez nebezpečí: používaná napětí (stovky voltů) mohou být i smrtelně nebezpečná.

Literatura a prameny

- [1] Olson, Harry, F.: Music, Physics and Engineering. Dover Publications Inc., New York 1967 (tuto publikaci jsem nesehnal a používám výňatky z ní, citované jinde).
- [2] Cheever, Daniel, H.: A new methodology for audio frequency power amplifier testing based on psychoacoustic data that better correlates with sound quality. University of New Hampshire, 2001; na http://w3.mit.edu/cheever/www/cheever_thesis.pdf.
- [3] Standard: ITU-R 468; na http://en.wikipedia.org/wiki/Standard:ITU-R_468
- [4] Lindos Electronics: Distortion Measurement; na <http://www.lindos.co.uk/cgi-bin/FlexiData.cgi?SOURCE=Articles&VIEW=full&id=5>
- [5] Hood, J. L. Linsley: Simple Class A Amplifier. Wireless World, April 1969. Na <http://www.tcaas.btinternet.co.uk/jlh1969.pdf>
- [6] Jean Hiraga Class-A Amplifiers. Na <http://www.tcaas.btinternet.co.uk/hiraga.htm>
- [7] Howard, Keith: Euphonic Distortion: Naughty but Nice? Stereophile, April 2006. Na <http://www.stereophile.com/reference/406howard/>
- [8] Engel, P.: Zesilovač ULTIMATE AMPLIFIER s aktivním nastavením klidového proudu. Praktická elektronika 09/2006 s. 22. <http://engel.ic.cz/audio.htm>



Obr. 7. Hoodův zesilovač [5] z roku 1969, výkon 10 W do zátěže 15 Ω při napájecím napětí 35 V



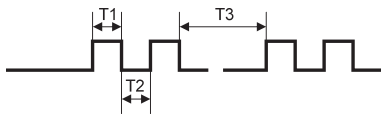
Obr. 8. Hiragův zesilovač Monster 8 W [6]

Cyklovač stěrače s PIC

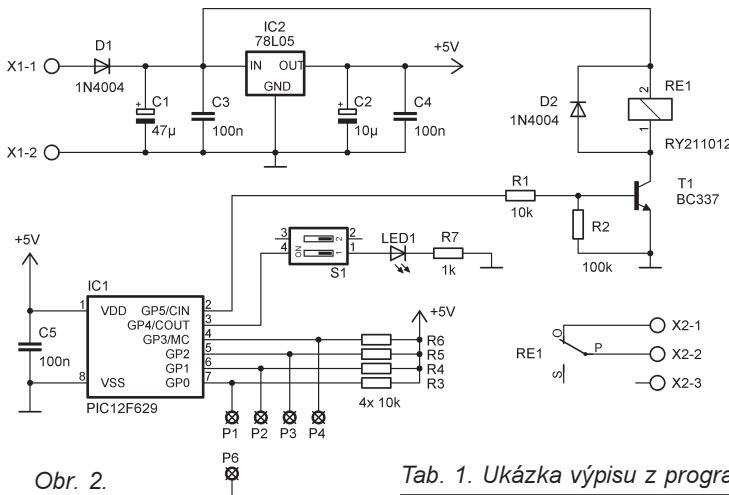
Jan Chudomel

Majitelé vozů Forman a Felicia kombi vědí, že ovládání stěrače pátých dveří je řešeno poněkud nešťastně. Původní řešení umožňuje jednorázové setřetí, nelze pustit zadní stěrač trvale. Pokud prší trochu víc a chcete mít zadní okno čisté, je třeba stěrač trvale obsluhovat, což odvádí pozornost od řízení.

Konstrukce cyklovačů pro přední stěrače uveřejňované v době, kdy tato vymoženost nebyla z výroby montována, většinou používaly tyristor, někdy časovač typu 555. Moje řešení používá mikroprocesor PIC12F629. Jeho cena je sice vyšší než časovače 555, PIC však umožňuje lehce vytvořit libovolný časový průběh. Pro mne to byla v neposlední řadě vhodná cvičná úloha pro aplikaci PIC.



Obr. 1. Časový průběh cyklovače



Obr. 2. Schéma cyklovače

Na obr. 1 je časový průběh generovaný programem. Dva takty stěrače setřou sklo lépe než jeden; následuje prodleva, jejíž délku volíme přepínačem ze 4 možností.

Činnost programu nejlépe dokumentuje výpis v tab. 1. Jedná se o pracovní verzi pro procesor 16F84A napsanou v programu PICBASIC, který je s omezením na 30 řádek programu pro tento procesor volně k dispozici na [1].

Klíčovou instrukcí je PAUSE s parametrem udávajícím délku zpoždění v ms. Na PORTA je připojen přepínač pro volbu rychlosti, na PORTB.7 je připojen výstup. Domnívám se, že komentovaný výpis je dostatečně čitelný a další komentář nepotřebuje. Pro cílový procesor 12F629 již PICBASIC volně není, také generovaný kód

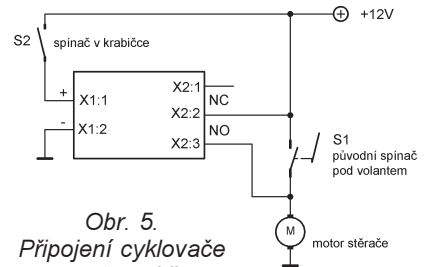
je výrazně delší než u obdobného programu napsaného v assembleru. Program v assembleru napsaný pomocí volně dostupného nástroje MPLAB [2] používá stejnou blokovou strukturu. Časová základna je generována pod přerušením po 0,5 s, čímž je dán minimální krok T1, T2, T3. Na základě praktických zkoušek byly stanoveny tyto hodnoty: T1 = 1, T2 = 2 a T3 podle polohy přepínače 2, 4, 10 nebo 24 sekund.

Na obr. 2 je schéma s procesorem 12F629. Tento procesor má interní oscilátor s možností kalibrace. Jeho 6 I/O pinů je pro tuto aplikaci dostatečných. Na GP0, GP1, GP2 a GP3 je

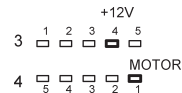
připojen přepínač pro volbu prodlevy. Na GP4 je programově vyveden signál časové základny. Je-li vše v pořádku a S1 je sepnut, bliká LED1 s frekvencí 2 Hz. Jde o diagnostickou pomůcku. Výstupní signál z GP5 spíná přes tranzistor T1 relé RE1.

Deska s plošnými spoji na obr. 3 a její osazení na obr. 4 nepotřebují komentáře. Hodnoty součástek nejsou kritické.

Pro umístění do vozidla jsem využil prostor po popelníku v palubní desce. Zapojení cyklovače do elektroinstalace vozidla popisuje obr. 5.



Obr. 5. Připojení cyklovače v automobilu



Obr. 6. Orientace vývodů spínače pod volantem

Přístup k původnímu spínači stěračů získáme po rozebrání plastového obložení pod volantem. Při připojování na původní spínač se bohužel neobejdeme bez páječky. Vhodné uzemnění získáme na plechovém nosníku pod volantem zavrtáním samořezného šroubu.

Výpis programu ve formátu Intelhex (určený k vypálení) je na www.aradio.cz. Komerční použití bez svolení autora není dovoleno. Kontakt je možný na adrese cyklovac.pic@tiscali.cz

Tab. 1. Ukázka výpisu z programu PICBASIC

```
'genimp_3
'generuje 2 impulsy konstantni delky, s konst. vzdalenosti, vzdalenost
'dalsi dvojice impulsu lze menit prepincem na portu A

define osc 4
TRISB = 0          ' port B vyst
portB = 0          ' nulovani vystupu
delimp con 1000   ' delka impulsu : T1
vzdtwin con 2000 ' vzdalenost druheho impulsu : T2
vzdimp var word   ' vzdalenost dalsi dvojice : T3

vzdimp = 2000      'pocatecni hodnota T3
cykl: pause vzdimp
' cteni prepincace a prirazeni T3 dle polohy prepincace
if not portA.0 and portA.1 and portA.2 and portA.3 then vzdimp = 24000
if portA.0 and not portA.1 and portA.2 and portA.3 then vzdimp = 10000
if portA.0 and portA.1 and not portA.2 and portA.3 then vzdimp = 4000
if portA.0 and portA.1 and portA.2 and NOT portA.3 then vzdimp = 2000

PORTB.7 = 1        'zacatek 1. impulsu
PAUSE delimp
PORTB.7 = 0        'konec 1. impulsu
pause vztwin
PORTB.7 = 1        'zacatek 2. impulsu
pause delimp
PORTB.7 = 0        'konec 2. impulsu
goto cykl
```

Signalizace nezapnutých světel v automobilu

Petr Šimon

Po přijetí novely zákona o silničním provozu, která nabyla platnosti dne 1. 7. 2006, byla mimo jiné zavedena i povinnost celoročního svícení. I přesto, že svícení za jízdy by už pro řidiče mělo být samozřejmostí, může se stát, že na tuto povinnost omylem zapomenete. Proto jsem se rozhodl postavit univerzální signalizaci vypnutých světel, kterou by bylo možno použít téměř ve všech automobilech.

Popis funkce

Zařízení může pracovat ve třech režimech, které se nastaví propojkami na SV1. Použit může být vždy jen jeden z uvedených režimů. Za běhu již nelze toto nastavení změnit. Pokud ho budete chtít změnit, je nutné zařízení odpojit od napájení.

1) Sledování poklesu napětí:

Zařízení je připojeno přes svorku CON-3 na zem (GND) a přes CON-4 na napájecí napětí +12 V z palubní desky. Na SV1 je nutné propojit pozice 3-4.

Zařízení v tomto režimu kontroluje, zda se nezmenšilo napětí baterie. To se zmenší např. při startování motoru. Trimrem R9 se nastaví rozhodovací úroveň, kterou operační zesilovač porovnává se stabilizovaným napětím 5 V z obvodu 7805, který je součástí tohoto zařízení. Pokud se porovnávané napětí zmenší pod 5 V, mikroprocesor počká asi 10 sekund a poté zařízení pískne.

Pokud je však zapojen vývod pro kontrolu zapnutých světel CON-2 (ke

kontrolce rozsvícených světel v palubní desce) a světla rozsvítíte do oněch 10 sekund, tak zařízení nepískne.

Trimr R9 je nutné správně nastavit, aby signalizátor nechtěně nepískal třeba v případě, kdy se napětí na akumulátoru zmenší např. zapnutím klaksonu.

2) Kontrola zapnutého motoru:

Na SV1 je nutné propojit pozice 1-2. Zařízení je připojeno přes svorku

CON-3 na zem (GND) a přes CON-4 na napájecí napětí +12 V z palubní desky.

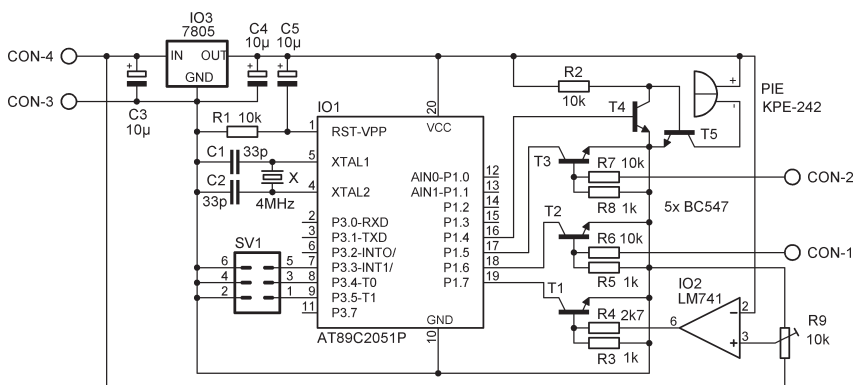
Svorka CON-1 se připojí na kontrolku mazání motoru, která se nachází v palubní desce. Tato kontrolka se rozsvítí v případě, že je zapnuto napětí v palubní desce a motor neběží. Zařízení čeká, dokud kontrolka nezhasne (to nastane v okamžiku nastartování motoru), poté počká 10 sekund a pískne.

Zařízení však nepískne, pokud je zapojen vývod pro kontrolu zapnutých světel CON-2 ke kontrolce rozsvícených světel v palubní desce a světla rozsvítíte do 10 s.

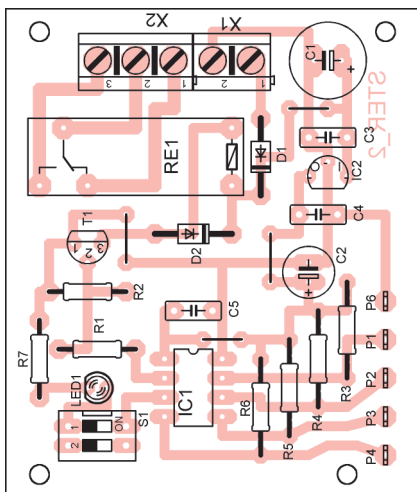
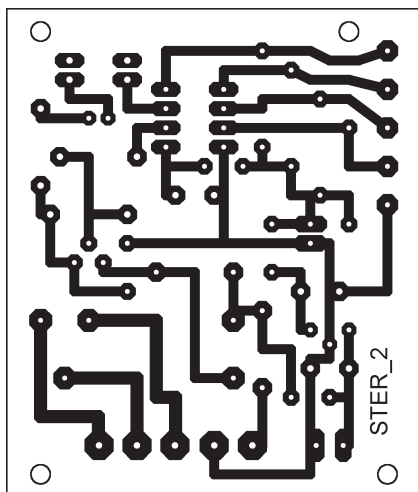
Dělič napětí složený z rezistorů R5 a R6 je spočítán pro napětí 12 V, které se objeví na kontrolce mazání motoru. Pokud máte na této kontrolce napětí menší, je nutné dělič přepočítat tak, aby v případě rozsvícení této kontrolky bylo napětí na bázi tranzistoru T2 větší jak 0,7 V (tedy asi 1 V). V opačném případě by se tranzistor vůbec neotevřel a zařízení by nefunkovalo.

3) Písknutí po připojení k napájení:

Zařízení je připojeno přes svorku CON-3 na zem (GND) a přes CON-4



Obr. 1. Zapojení signalizátoru nezapnutých světel



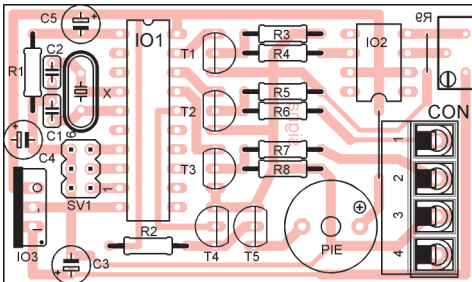
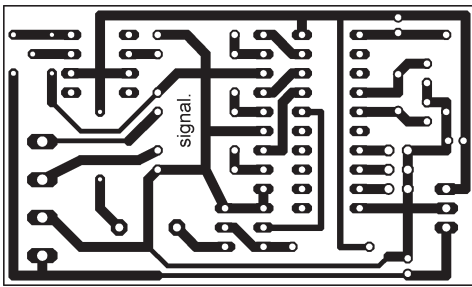
Seznam součástek

R1, R3 až R6	10 kΩ
R2	100 kΩ
R7	1 kΩ
C1	47 μF/25 V
C2	10 μF/50 V
C3, C4, C5	100 nF
D1, D2	1N4004
T1	BC337-40
LED1	libovolná LED
IC1	PIC12F629 (naprogramovaný)
IC2	78L05
RE1	relé RY211012
	přepínač 4polohový
	spínač DIL, svorkovnice

Odkazy

- [1] <http://melabs.com/pbpdemo.htm>
 [2] www.microchip.com

Obr. 3 a 4. Deska s plošnými spoji cyklovače s PIC a osazení součástek



Obr. 2 a 3. Deska s plošnými spoji signálizátoru nerozsvícených světel v měřítku 1:1 a rozmístění součástek na desce

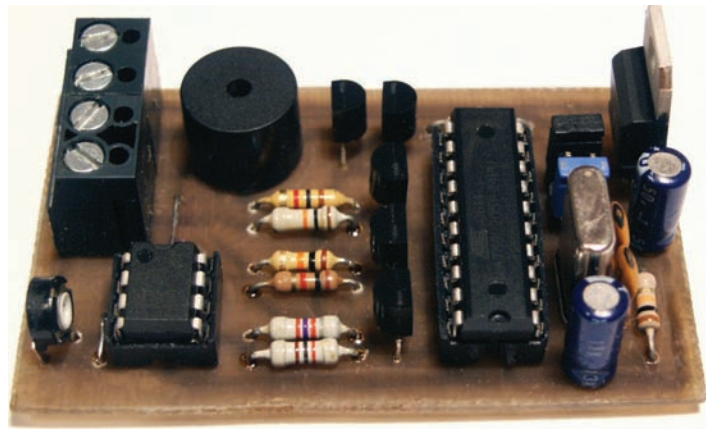
na napájecí napětí +12 V z palubní desky. Na SV1 se nic nepropojuje.

Pokud je zařízení napájeno z palubní desky, otočením klíče zapalování zapnete i toto zařízení. I v tomto případě signalizátor vyčká 10 s a pískne. Pokud je však zapojen vývod pro kontrolu zapnutých světel CON-2 a světla rozsvítíte do oněch 10 s, zařízení nepískne.

Pro režimy 1 a 2 lze navíc ještě propojením pozic 5-6 na SV1 nastavit, aby po prvním pípnutí zařízení opakovaně (asi po 1,5 minutě) pískalo, dokud nerozsvítíte světla. V tom případě ale musí být zapojena svorka CON-2 ke kontrolce rozsvícených světel, která se nachází v palubní desce. Pokud tento vývod zapojen nemáte, nelze tuto funkci využít, protože by signalizátor pípal neustále. Pokud tuto pozici na konektoru SV1 nepropojíte, zařízení se bude chovat tak, jak bylo popsáno u jednotlivých režimů.

Upozornění: Napájecí svorky zařízení (CON-3 a CON-4) je nutné připojit do palubní desky, kde se napětí objeví teprve až po otočení klíče do polohy 1. Pokud byste ho připojili přímo k autobaterii (např. přes zásuvku pro zapalovač), zařízení by bylo neustále pod napětím.

Pokud máte zapojenou svorku CON-2 ke kontrolce rozsvícených světel v palubní desce, je nutné ověřit, zda máte na této kontrolce napětí 12 V. Dělič napětí složený z rezistorů R7 a R8 je totiž spočítán pro napětí 12 V, které se na této kontrolce v okamžiku rozsvícení objeví. Pokud máte na této kontrolce napětí menší, je nutné dělič přepočítat tak, aby na bázi tranzistoru T2 bylo napětí větší jak



Obr. 4. Fotografie osazené desky

Tab. 1. Výpis programu pro mikroprocesor. Program si můžete stáhnout také z www.aradio.cz

```
:10000000D294D297D296D295D2B4D2B530B521300F
:10001000B40C12006130950312008202001B30976D
:10002000FD1200613095F71200822097FD02001E3C
:100030002096FD3096FD1200703096F73095F11243
:1000400008230B3030200307C081200613095E07A
:100050003096DDCF53096D83095D512008202005E
:10006000487D1ADFFFEDEF309502DDF7220200003B
:100070007D1ADFFFEDEF309505309602DDF42202AB
:100080000000C2947D03DFFFEDEFCDFFAD294220282
:0200900000006E
:00000001FF
```

0,7 V. V opačném případě by zařízení nefungovalo.

Popis zapojení

Po připojení k napájení se mikroprocesor zresetuje obvodem s kondenzátorem C5 a rezistorem R1. Tranzistory T4 a T5 s rezistorem R2 jsou zapojeny tak, aby negovaly vstupní signál (tedy logická funkce NOT). Mikroprocesor má totiž po resetu nastaveny výstupy do log. 1, takže pokud by tento výstup nebyl negován, piezoměnič by po připojení obvodu k napájení pípнул, což není žádoucí.

Operační zesilovač má jeden vstup připojen na stabilizované napětí 5 V a druhý vstup na jezdec trimru. Trimr je připojen k napájecímu vstupu, na který je přivedeno napětí z akumulátoru, tedy asi 12 V. Při startování motoru se napětí akumulátoru zmenší. Pokud je napětí na jezdcu trimru (a tedy i na neinvertujícím vstupu operačního zesilovače) menší než napětí na invertujícím vstupu, operační zesilovač se na výstupu přeploží, což je vyhodnoceno programem v mikroprocesoru.

Konstrukce

Pokud se rozhodnete zařízení používat pouze v jednom jediném režimu, není nutné osazovat všechny součástky. Zde je seznam součástek, které nejsou nutné osazovat pro jednotlivé režimy:

1. režim: R5, R6, T2;

2. režim: R3, R4, R9, IO2, T1;

3. režim: R3, R4, R5, R6, R9, IO2, T1, T2.

Nechcete-li navíc využívat svorku CON-2 (tedy kontrola, zda už jsou světla zapnutá), můžete vynechat ještě R7, R8 a T3.

Závěr

Snažil jsem se, aby toto zařízení bylo co nejuniverzálnější a aby si každý mohl vybrat způsob, který mu nejvíce vyhovuje. Nevýhodou však je, že je nutné použít naprogramovaný mikroprocesor. V případě zájmu vám ho mohu naprogramovat. Pokud budete mít jakékoliv dotazy či budete chtít naprogramovat mikroprocesor, pište na můj email: petr_simi@centrum.cz.

Seznam součástek

R1, R2, R6, R7	10 kΩ
R3, R5, R8	1 kΩ
R4	2,7 kΩ
R9	10 kΩ, trimr mini
C1, C2	33 pF, keramický
C3, C4, C5	10 μF/16 V, elektrolyt.
T1 až T5	BC547B
IO1	AT89C2051
IO2	LM741
IO3	7805
X	krystal 4 MHz
SV1	dvouřadé lámací kolíky (S2G20)
CON	svorkovnice 5 mm (2×ARK300V-A-2P)
PIE	piezosírénka na 12 V, např. KPE-242

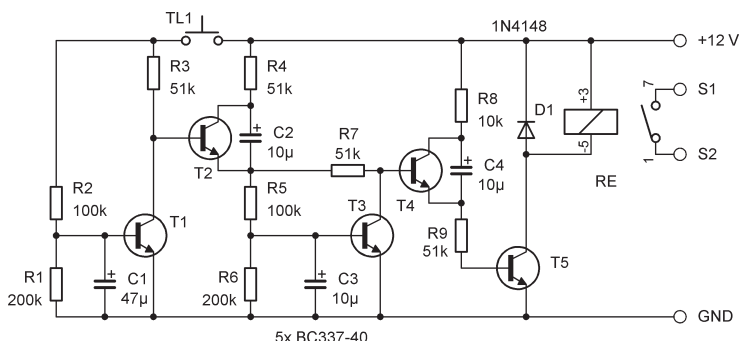
Pojistka zvonkového tlačítka

Ing. Zdeněk Kunc

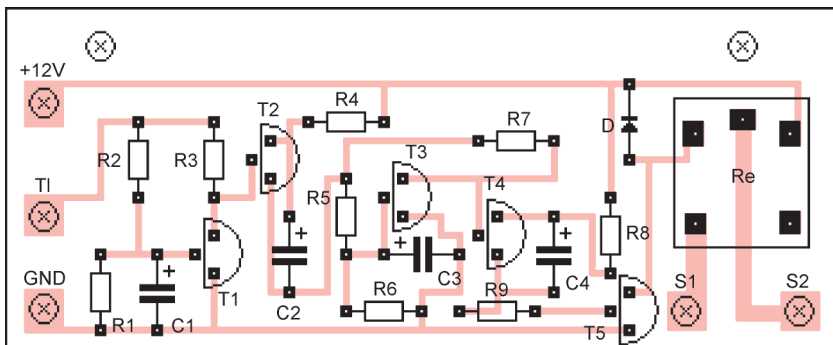
Inspirací pro mne byl článek „Elektronická pojistka zvonku“ uveřejněný v PE 8/2002. Postavil jsem si něco podobného a ukázalo se, že bude třeba mírné vylepšení.

Popsané zapojení je určeno pro rodinné domky nebo tam, kde lze zasahovat do instalace. Pro činžovní byty se hodí původní verze. Její předností bylo to, že využívala stávající zdroj napětí – zvonkový transformátor. Původní verze fungovala tak, že při trvalém stisku tlačítka zvonění po chvíli přestalo a pro jeho obnovení bylo nutno zvonkové tlačítko uvolnit a stisknout znovu. Tím bylo znemožněno použití zápalky nebo špendlíku pro

stálé zvonění. Na obr. 1 je nová upravená verze. Tlačítko zvonku zde může spínat též různá složitější zařízení, která potřebují ošetřený signál. Nyní je možno tlačítko tisknout jakýmkoli způsobem a vždy se na výstupu objeví jen krátký signál. Přerušování ani stálé držení tlačítka nevadí. V podstatě je to upravené a zdvojené původní zařízení pracující na principu nabíjení a vybíjení kondenzátorů. Obvod pracuje tak, že po přivedení kladného



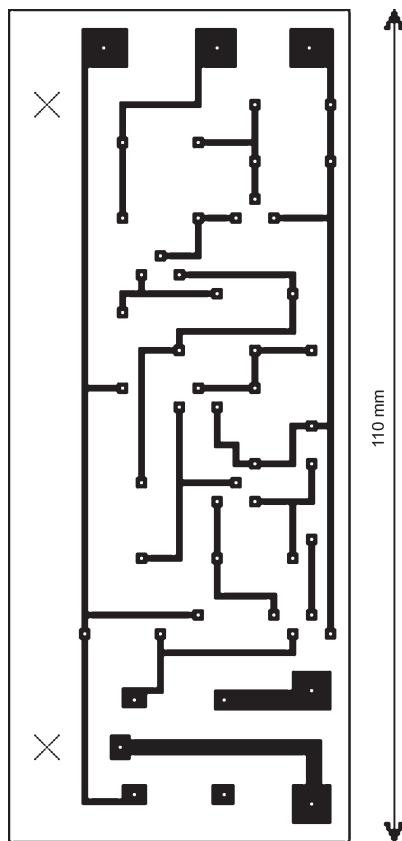
Obr. 1. Zapojení pojistky zvonkového tlačítka



Obr. 3. Rozmístění součástek na desce



Obr. 4. Fotografie osazené desky



Obr. 2. Deska s plošnými spoji pojistky

napětí na svorku T11 se po stisknutí tlačítka na okamžik otevře tranzistor T2 (na dobu než se otevře T1) a vybije kondenzátor C2, jenž umožní postup signálu do další části obvodu. Ta je v podstatě stejná jako první a umožní další vyčištění od rušivých vlivů tlačítka T11. Výsledkem je krátký stále stejný signál, který je nezávislý na způsobu mačkání tlačítka. V praxi obvod funguje tak, že kondenzátor C2 určuje dobu zablokování signálu od tlačítka T11 po jeho prvním zmáčknutí, což je v případě kapacity 10 µF asi 1 s (5 s při 47 µF). Kondenzátor C4 určuje délku vlastního vyčištěného signálu. Výstupem jsou kontakty relé RE. Relé je spínané tranzistorem T5, chráněným diodou D. Relé je schopné přímo spínat automobilovou houkačku. Součástky lze pořídit za cenu pod 50 Kč. Deska s plošnými spoji je s většími mezerami a je vhodná i pro začátečníky. Napájecí napětí je 12 V. Připojíte-li na výstup houkačku, napájejte ji ze samostatného silnějšího zdroje.

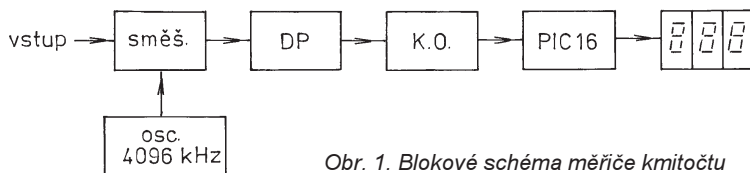
Seznam součástek

R1, R6	200 kΩ
R2, R5	100 kΩ
R3, R4, R7, R9	51 kΩ
R8	10 kΩ
C1	47 µF/35 V
C2, C3, C4	10 µF/35 V
D1	1N4148
T1 až T5	BC337-40
Re	relé RELRAS1215

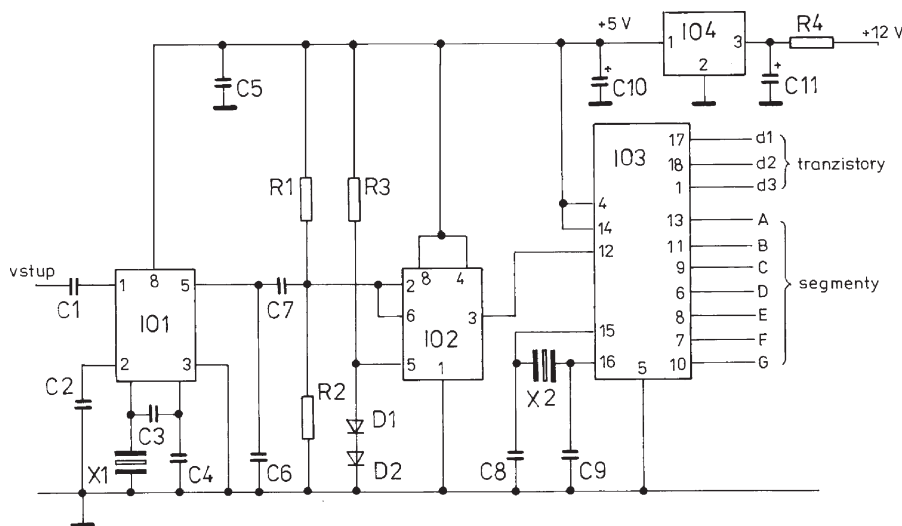
Digitální stupnice pro přijímač 7, 10, 14 a 18 MHz

Ing. Juraj Valsa, CSc., e-mail: valsa@feec.vutbr.cz

Článek navazuje na předcházející popis přijímače CW signálů na krátkovlnných amatérských pásmech [1]. Přijímač používá jedinou konverzi kmitočtu ve směšovači s oscilátorem, pracujícím pro každé pásmo na konstantním kmitočtu. Ten je řízen krystalem a je pro uvedená pásma roven 11, 14, 18, resp. 22 MHz. Digitální stupnice pak vždy udává, o kolik kilohertzů je přijímač naladěn nad 7, 10, 14 nebo 18 megahertzů. Údaj je odvozen od kmitočtu, na kterém pracuje obvod demodulátoru s nasazenou zpětnou vazbou.



Obr. 1. Blokové schéma měřiče kmitočtu



Obr. 2. Schéma zapojení digitálního měřiče kmitočtu

Blokové schéma zařízení je na obr. 1. Signál z kolektoru tranzistoru v demodulátoru (tlumivka 33 μH) je veden na vstup směšovače. Oscilátor je řízen krystalem 4096 kHz. Signál na výstupu směšovače má v závislosti na naladění přijímače kmitočet zhruba mezi 90 a 150 kHz. Všechny složky s vyššími kmitočty potlačí dolní propust. Následuje tvarovač (Schmittův klopný obvod) a jeho výstupní signál jde na vstup čítače s mikrokontrolérem typu PIC16F628. Program mikrokontroléru respektuje posun o 96 kHz a výsledná hodnota se zobrazí na trojmístném LED displeji. Při naladění přijímače nad 7000, 10 000, 14 000 nebo 18 000 kHz displej indikuje, o kolik kilohertzů nad tento kmitočet je přijímač naladěn. Je-li naladěn na nižší kmitočet, údaj je zobrazen jako číslo se záporným znaménkem. V případě, že zpětná vazba není nasazena, je údaj roven -96 kHz.

Úplné schéma obvodu je na obr. 2. Protože je možno k indikaci použít jak segmentovky se společnými anodami, tak i se společnými katodami, jsou na obr. 3 a obr. 4 nakreslena schémata obvodů, zapojených mezi mikrokontrolér a displeje. Obě varianty se poněkud odlišují i v provedení programu pro mikrokontrolér.

Součástí článku je výpis programu pro variantu se společnými katodami. Případnému zájemci zašlu e-mailem alternativní program pro variantu se společnými anodami.

Seznam součástek

Rezistory

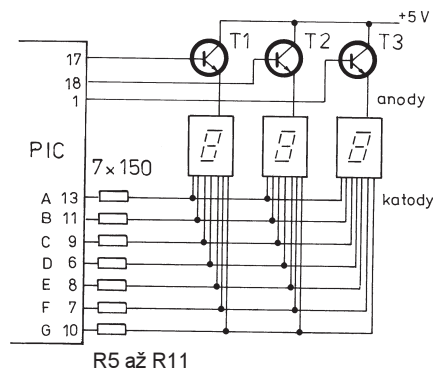
R1	15 k Ω
R2	4,7 k Ω
R3	27 k Ω
R4	47 Ω
R5 až R11	150 Ω *)
R12 až R14	1,5 k Ω

Kondenzátory

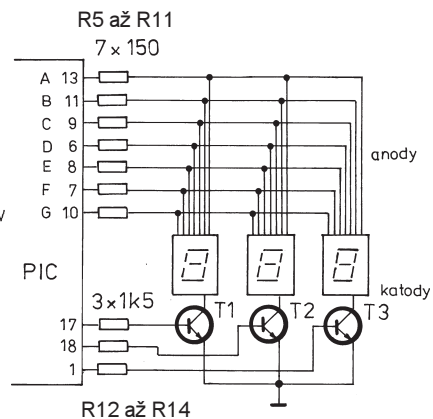
C1	100 pF
C2	22 nF
C3	56 pF
C4	100 pF
C5, C7	0,1 μF
C6	330 pF
C8, C9	33 pF
C10	22 μF
C11	1 mF

Diody

D1, D2	1N4448
--------	--------



Obr. 3. Detail provedení pro displeje se společnými anodami



Obr. 4. Detail provedení pro displeje se společnými katodami

Tranzistory

T1, T2, T3 KC508 (např.)

Integrované obvody

IO1	NE602 **)
IO2	NE555P
IO3	PIC16F628
IO4	7805

Krystaly

X1	4096 kHz
X2	20 MHz

Displeje (3 ks)

LQ410 (společné anody) nebo např. FND357 (společné katody)

*) Odporů rezistorů R5 až R11 bude lepší nahradit většími hodnotami.

**) V seznamu součástek digitální stupnice je uveden jako IO1 NE602. V současné době jej nedodává ani GM Electronic ani GES ELECTRONICS. Ale mají úplný ekvivalent od fy Philips, a to SA612AN a ten je dokonce levnější, než býval typ NE602.

Literatura

[1] Valsa, J.: Přijímač CW signálů na krátkovlnných amatérských pásmech 7, 10, 14 a 18 MHz s jednotnou stupnicí. ELECTUS 2007, s. 49-51.

Program pro mikrokontrolér je k dispozici na stránkách www.aradio.cz



POČÍTAČE a INTERNET

Rubriku připravuje ing. Alek Myslík, INSPIRACE, alek@inspirace.cz



BEZPEČNÉ SURFOVÁNÍ

V nedávném článku o výkonných počítačích a jejich využití jsme mimo jiné uváděli možnost vytváření virtuálních počítačů a jejich využívání k různým „nebezpečným“ činnostem, jako je zkoušení softwaru, výuka začátečníků ale hlavně pohyb po Internetu. Virtuální počítač totiž můžete po použití smazat a přístě ho vytvořit opět z čisté kopie. Veškeré případné viry, červy a jiné škodliviny tak nezůstanou na vašem počítači a nemohou vám škodit.

Internet je stále více prostředím, ve kterém se pohybuje mnoho lidí s nekalými úmysly. Snaží se využít vaše počítače bez vašeho vědomí např. k šíření spamu, k útokům na určité weby, shromažďování mailových adres, zjišťování vašich návyků a zájmů a k jiným v podstatě komerčním činnostem. Až za nimi jsou dnes klasické viry, jejichž účelem bylo vás jenom nějak poškodit a dokázat tak schopnosti svých autorů.

Otázka bezpečnosti počítače a používání Internetu je proto dnes klíčová

a je v centru pozornosti vývojářů všech programů, obzvláště pak operačních systémů. Současný software (a zejména operační systémy) jsou dnes tak složité programy, že není zatím v technických schopnostech lidí je dokonale otestovat a prověřit. Zůstávají v nich tak „skuliny“, kterých využívají „hackeři“ k proniknutí do systému (programu) a k převzetí kontroly nad počítačem nebo jeho částí. Stále rostoucí odvětví antivirových a podobných programů se proti nim snaží bojovat.

Snahou hackerů je co největší zhodnocení jejich práce a umu, zaměřují se proto hlavně na ty nejrozšířenější a nejpoužívanější operační systémy a programy. To jsou v současné době zejména operační systémy *Microsoft Windows* a prohlížeče a programy pro elektronickou poštu od stejné firmy (*Internet Explorer* a *Outlook*).

Pokud se nad tím tedy člověk zamyslí, je tento boj věčný, a tak jak to je ve společnosti i v jiných oborech lidské činnosti, ti „špatní“ mají vždy určitý

náskok před těmi „dobrymi“. Potřeba neustálého sledování nových záplat a ochran proti téměř každodenním novinkám v oblasti škůdců tedy nemůže nikdy skončit a i tak vám nezaručí sto-procentní ochranu. Chce to hledat jiný přístup.

Na dva takové přístupy a jejich případnou kombinaci vás chceme v tomto článku upozornit. Je to používání jiných než masově rozšířených programů a operačních systémů a totální odizolování Internetu od vašeho počítače.

Alternativní programy

Proto, že se naprostá většina všech útoků z Internetu zaměřuje na celosvětově nejrozšířenější produkty Microsoftu, je vhodné zauvažovat o alternativních programech popř. i systémech.

Nejdříve tedy přestat používat *Internet Explorer* a zvolit některý z dalších prohlížečů Internetu, které jsou k dispozici – *Firefox*, *Opera*, *Safari*. Nejsou o nic horší, jsou také zadarmo, mají dokonce mnoho různých funkcí, které *Internet Explorer* nemá. A vzhledem k tomu, že je používá menšina uživatelů Internetu (*Firefox* asi 15%, *Operu* asi 3%, *Safari* uživatelé Applu, pro PC je dostupný teprve krátkou dobu), snižší se tím výrazně nebezpečí zneužití chyb v internetovém prohlížeči k průniku do vašeho počítače.

Podobně emailový program Microsoftu *Outlook Express* lze nahradit dokonce z mnohem většího výběru programů, které jsou buď rovněž zdarma (např. *Thunderbird*, *Opera ad.*) nebo za malý peníz jako shareware.

Kdo je odvážnější zauvažuje i o změně operačního systému. Jsou prakticky dvě možnosti – buď přejít na počítače *Apple s MacOS*, což ale znamená značné finanční výdaje a obecnou nekomp-



VMware Player je zdarma a umožní spustit (nikoliv vytvořit) jakýkoliv virtuální počítač

ibilitu značné části používaného hardwaru a veškerého softwaru, nebo zvolit operační systém *Linux*. Je zdarma, neustále udržovaný obrovskou celosvětovou komunitou a v poslední době je již k uživateli přívětivý podobně jako *Windows*. Proti všem nebezpečím zvenčí je odolnější nejen svou zatím malou rozšířeností mezi uživateli Internetu, ale i svojí technickou podstatou, způsobem naprogramování.

Izolace od Internetu

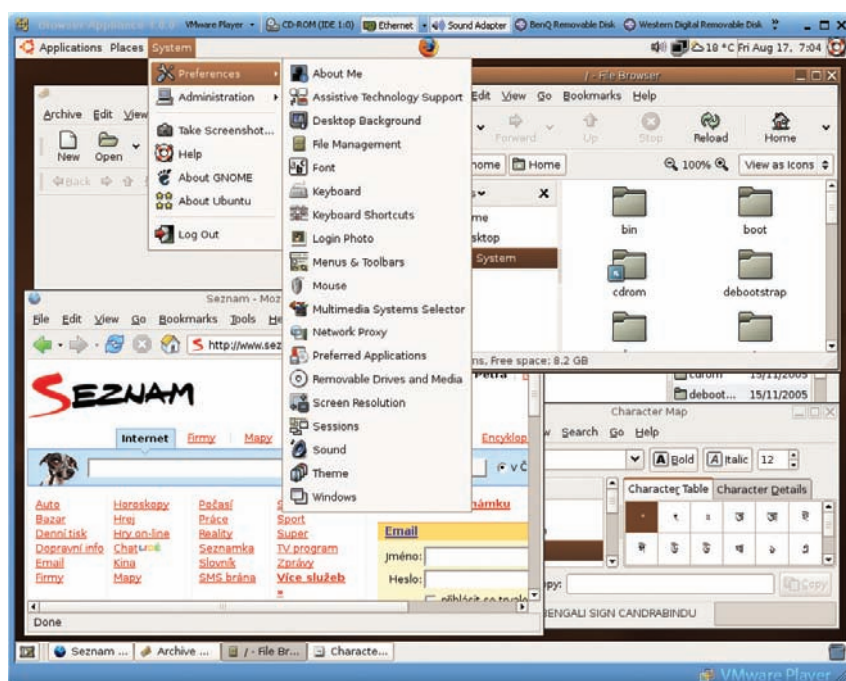
Druhým přístupem je totální izolace Internetu od pracovního počítače. Nepochopou k tomu žádné firewally a softwarové ochrany stávajícího počítače

– protože z něho potřebujete „ven“ do Internetu, musíte tak vždy nechat nějaké „skuliny“, kterými se pak lze dostat i „dovnitř“ – ostatně ty webové stránky, které si chcete prohlížet, nebo soubory, které stahujete, se přece dovnitř nějak dostat musí...

Samostatný počítač pro surfování na Internetu také není řešením – většinu údajů, které při pohybu na Internetu používáte, budete mít stejně v něm, a jsou tak opět ohrožitelné, stejně jako samotný systém tohoto počítače.

Možnost izolace nabízí virtuální systémy – je to jakoby samostatný počítač, využívající určité prvky hardwaru vašeho počítače a zcela oddělené softwarové vybavení i operační a diskovou paměť. Je v podstatě „zapouzdřený“ do vašeho stávajícího počítače. Virtuální počítač má tu výhodu, že fyzicky neexistuje, existuje jenom jako prostředí, a to je v době, kdy ho nepoužíváte, uloženo v jednom (někdy několika) velkém souboru na pevném disku. Tento soubor tvoří virtuální pevný disk, z kterého virtuální počítač startuje.

Pokud tedy dojde k jakémukoli nežádoucí modifikaci tohoto systému, nahrání škodlivých programů, nainstalování „trojských koní“ ap., lze ho snadno smazat a k příštímu startu použít čistou kopii, kterou jste si do zásoby připravili. Nemusí se tedy nic znovu instalovat, ani systém ani používané programy. Pokaždé začínáte s čistým počítačem. Většina softwaru pro tyto tzv. virtuální počítače už dokonce s touto možností počítá a program vám sám nabídne volbu, jak se má vytvořený virtuální počítač chovat – zdá má všechny změny přímo zapisovat do svého virtuálního pevného disku nebo zda je má ukládat na jiné místo a při ukončení chodu smazat.



Vzhled operačního systému Linux Ubuntu se blíží důvěrně známým „oknům“

Kombinace obojího

Pokud zkombinujete oba uvedené způsoby, může to vypadat třeba tak, že si do virtuálního počítače na instaluje operační systém *Linux* a v něm použijete internetový prohlížeč *Firefox* (vypadá a chová se stejně, jako *Firefox* pro *Windows*, takže budete „jako doma“).

Co je k tomu zapotřebí?

Spuštění virtuálního počítače neklađe na váš stávající počítač žádné extrémní nároky, snad kromě paměti *RAM*. Virtuálnímu počítači vyhraďujete určitou velikost *RAM*, která se „ukrojí“ z té vaší. Musíte mít tedy tolik *RAM*, aby zůstalo dost pro funkci vašeho počítače i když oddělíte to, co potřebuje virtuální počítač a v něm používané aplikace. Pokusy sice můžete dělat už od 512 MB *RAM*, ale nebudou příliš úspěšné, protože to je minimum, co potřebují *Windows XP*, a virtuální počítač i s úsporným *Linuxem* potřebuje alespoň 256 MB. Přiměřená velikost je tedy 1 GB *RAM*, samozřejmě čím více, tím lépe.

Potřebný software je zdarma. Můžete použít buď *Virtual PC* od *Microsoftu* (popisovali jsme ho v *PEAR* č. 4/2006), *VMware* nebo v poslední době často používaný *VirtualBox*.

Nejsnazší řešení

Je zde možnost, jak si to celé vyzkoušet velice snadno a rychle, bez jakýchkoliv speciálních znalostí a instalace *Linuxu*. Použijete-li ke spuštění virtuálního počítače software *VMware Player*, najdete na webu www.vmware.com (z kterého ho budete stahovat) přímo k jeho vyzkoušení aplikaci *Browser Appliance*. Je to už hotový nainstalovaný virtuální počítač, který jenom stáhnete, z archivu (cca 260 MB) získané soubory umístíte do zvoleného adresáře, a spustíte ho v nainstalovaném programu *VMware Player*. Všechno dohromady to netrvá ani 20 minut a funguje to. Program si sám najde na vašem počítači připojení k Internetu a za chvíli máte na displeji spuštěný *Firefox* se základní webovou stránkou. Virtuální počítač používá operační systém *Linux Ubuntu 5.10* s desktopem *Gnome* a internetový prohlížeč *Firefox 1.5*.

Dříve, než virtuální počítač spustíte, zkopírujte si všechny soubory ještě i někam jinam, ať máte příště snadno dostupnou „čistou“ instalaci.

Další možnosti

Pokud se vám to zalíbí, můžete si vyzkoušet mnoho dalších systémů a nainstalovaných programů – na stejném webu (www.vmware.com) najdete několik set hotových nainstalovaných virtuálních počítačů s různými operačními systémy a různými předinstalovanými programy. Stačí je stáhnout a spustit ve *VMware Playeru*. Podle výrobce

Browser Appliance je free virtuální počítač, umožňující bezpečné surfování po Internetu prohlížečem *Mozilla Firefox*, pracujícím v operačním systému *Ubuntu Linux 5.10*, optimalizovaném pro surfování.

Postup instalace:

- 1 *Browser Appliance* si stáhnete z webu společnosti *VMware Technology* na adrese www.vmware.com/vmtn/vm/ v souboru *Browser-Appliance-1.0.0.zip*.
- 2 Stažený archiv (ZIP) rozbalíte do zvoleného adresáře – jsou v něm soubory:
Browser-Appliance\bavm_getting_started_100.pdf
Browser-Appliance\Browser-Appliance.nvram
Browser-Appliance\Browser-Appliance.vmdk
Browser-Appliance\Browser-Appliance.vmsd
Browser-Appliance\Browser-Appliance.vmx
Browser-Appliance\Browser-Appliance-1.0.0-README.txt
- 3 Ze stejné stránky si rovněž zdarma stáhnete *VMware Player* a spustíte ho.
- 4 V dialogovém okně (viz obrázek na vedlejší stránce) zvolíte *Browse for Virtual Machine Configuration File* a v adresáři, do kterého jste rozbalili *Browser Appliance*, vyberete *Browser-Appliance.vmx* a kliknete na *Open*.
- 5 Počítač se spustí, nabootuje a automaticky se v něm otevře internetový prohlížeč *Firefox*. Pokud se váš počítač připojuje k Internetu přes *proxy server*, bude zapotřebí zadat jeho údaje do prohlížeče *Firefox* (*Edit/Preferences/Connection Settings*).
- 6 Nastavování systému je chráněno uživatelským jménem a heslem. Oba tyto údaje jsou ve stažených aplikacích nastaveny na *vmware* (*user: vmware, password: vmware*). Je vhodné je změnit – v menu *System/Preferences/About Me* zvolíte *Change Password*.

umí spustit *Player* i virtuální počítače *Microsoftu* (z programu *Virtual PC*), praxe ale ukazuje, že to vždy tak snadné není.

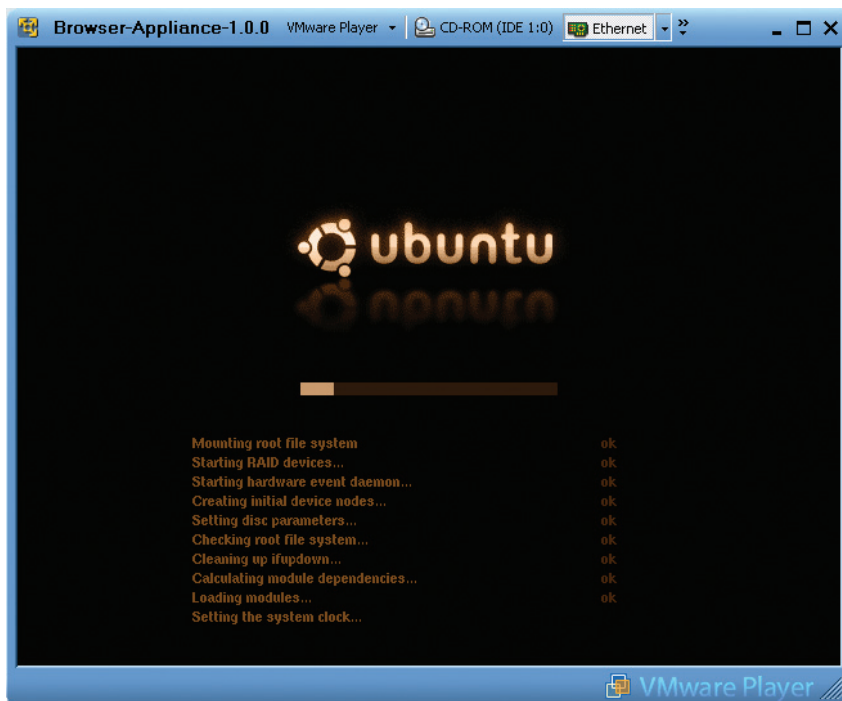
Spuštěný virtuální počítač můžete samozřejmě použít nejen k surfování po Internetu, ale i základnímu seznámení s operačním systémem *Linux*.

Pokud máte výkonný počítač s dostatkem operační paměti *RAM*, můžete spustit bez problémů i více virtuálních počítačů současně a vytvořit a vyzkou-

šet např. virtuální počítačovou síť uvnitř jednoho fyzického počítače. Ale to už bychom se vzdálili tématu článku – to nemělo být tentokrát *virtuální počítače*, ale *bezpečné surfování*.

Další informace najdete na:

www.vmware.com
www.ubuntu.com
www.ubuntu.cz
www.getfirefox.com
www.firefox.cz



Browser Appliance pracuje v operačním systému *Linux Ubuntu*, který tak uvidíte bootovat

RYCHLOST PEVNÝCH DISKŮ

Jedním z omezujících komponentů dnešních počítačů jsou pevné disky. S trochou nadsázky je lze označit za ono „úzké hrdlo“, omezující dosažitelný výkon počítačů. Moderní technologie přináší především větší kapacitu, umožňovanou rostoucí hustotou zápisu dat na diskové plotně. Výkon disků (určovaný hlavně rychlostí vyhledávání, čtení a zápisu) ale nestoupá tak rychle, jako kapacita a požadavky uživatelů.

Protože je princip fungování pevných disků v zásadě neměnný, jsou faktory, stojící za jeho výkonem, také prakticky neměnné. Pro pochopení stávajících omezení kapacity a výkonu je zapotřebí si nejdříve zopakovat, jak pevný disk funguje.

Funkce pevného disku

Základem pevného disku je kotouč, pokrytý magnetizovatelnou látkou, která nese uložená data. Poblíž této látky se pohybuje elektromagnet (čtecí a zapisovací hlavička), který prostřednictvím magnetického pole, vytvářeného pomocí elektrického proudu, orientuje částice látky, umístěné nejbližší pod ním, do požadované polohy (při zápisu), případně na základě orientace těchto částic určuje uloženou binární hodnotu (při čtení). Tato operace probíhá velmi rychle. Aby bylo možné obsáhnout celou plochu kotouče (na kterou se data ukládají), je zapotřebí dvou úkonů:

- otáčení kotouče,
- přesunu elektromagnetu.

To jsou mechanické pohyby a jako takové trvají z pohledu dnešní epochy gigahertzů hodně dlouho. Navíc způsobují nespolehlivost pevného disku díky vibracím, namáhání materiálů, tepelné roztažnosti atd.

Výkon pevného disku

Diskem poskytovaný výkon je ovlivněn, podobně jako u téměř všech paměťových technologií, zejména dvěma

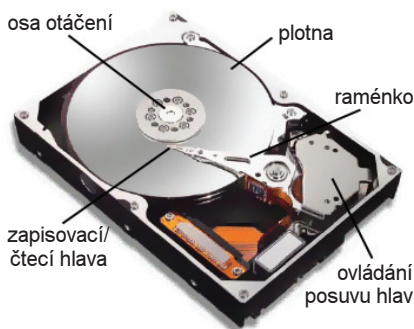
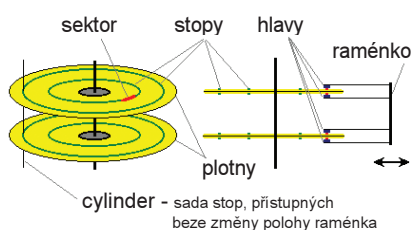


Schéma a základní prvky pevného disku

faktory: *dobou vyhledávání a dobou čtení resp. zápisu*. Jak z principu fungování pevného disku vyplývá, doba vyhledávání je určena tím, za jak dlouho se cílová oblast (kde jsou požadovaná data) dostane pod elektromagnet. Mechanický pohyb je zde tedy klíčovým



faktorem. Uplatňuje se jak rychlost otáčení kotouče, tak také rychlost přesunu elektromagnetu čtecí/zápisové hlavičky (koná pohyb po části kružnice).

Dobu vyhledání dat je možné ovlivnit třemi způsoby:

1. Přesouvat elektromagnet rychleji. To vyžaduje použití odolnějších materiálů (přetížení při rozjezdu je běžně kolem 60 G), zvyšuje se hluk, roste nárazový odběr elektrické energie a v důsledku všeho i výrobní cena.
2. Zmenšit kotouč (plotnu). Tím se zkrátí vzdálenost, kterou musí hlavička obsluhovat. Nevýhodou přirozeně je, že na menší kotouč lze uložit menší množství dat (úměrně menší ploše).
3. Otáčet kotoučem rychleji. Přináší to požadavky na lepší vyvážení ložisek, roste spotřeba, disk se tedy i více zahřívá a vzhledem k tepelné roztažnosti se zhoršuje jeho spolehlivost.

Zrychlení vyhledávání tak přináší vždy nějaká negativa a proto se prakticky všechny dnešní pevné disky pro běžné uživatele otáčejí stejnou rychlostí 7200 otáček za minutu (jako optimál-

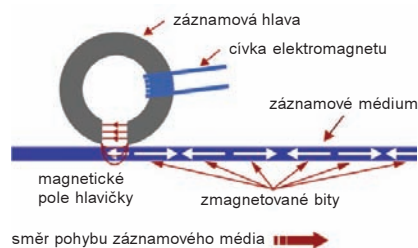
ní kompromis mezi různými hledisky) a posouvají čtecí/zápisovací hlavičku také přibližně stejně rychle, v průměru za asi 8,5 ms).

Rychlost čtení/zápisu je závislá na tom, jak rychle se „pohybují data“ pod elektromagnetem hlavičky, tedy na:

- rychlosti otáčení kotouče (plotny),
- hustotě záznamu dat.

Čím rychleji se otáčí plotna disku, tím rychlejší je čtení/zápis, ale nastává tak větší zahřívání, roste potřeba lepšího vyvážení atd. Pozornost tedy poutá spíše hustota záznamu. Disky zde dnes ale narážejí na fyzikální limit. Tímto limitem je tzv. *superparamagnetický efekt*. Ten způsobuje, že od určité velikosti záznamové oblasti dochází k samovolné změně její magnetické orientace. Jinými slovy to, co zapisovací hlavička nějak nastavila, se začne samo měnit. Začnou se tedy ztrácet informace.

Data jsou na pevném disku uspořádána v kruzích zvaných *stopy*. Elektromagnet vždy čte nebo zapisuje v jedné stopě. Rychlost čtení a zápisu ovlivňuje hustota záznamu v rámci této jedné stopy. Aby výrobci předcházeli superparamagnetismu, rostla kapacita pevných disků v poslední době nikoliv zvětšováním hustoty záznamu v rámci jedné stopy, nýbrž nárůstem počtu stop (vzdálenost mezi stopami byla původně mnohem větší, než vzdálenost mezi jednotlivými bity na dané stopě). Přestože tak rostla hustota záznamu, na výkon disků to prakticky nemělo výrazný vliv. Např. v roce 2000 byl disk schopen na plotnu standardní velikosti uložit 15 GB dat



Podélný zápis dat na pevný disk

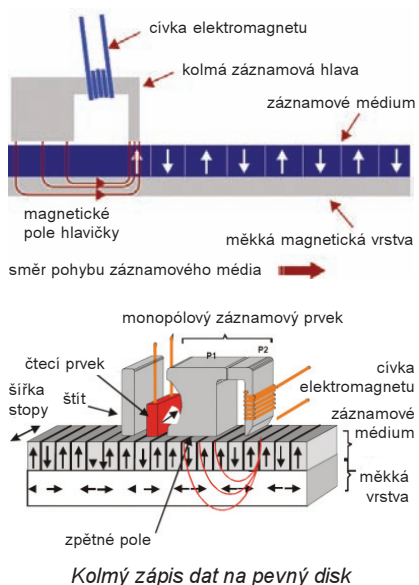
a rychlost čtení byla asi 40 MB/s. Dnes disky schopné uložit na tu samou velikost plotny 100 GB dat čtou rychlostí asi 65 MB/s.

Boj se *superparamagnetismem* probíhal doposud tak, že se vyvíjely stále odolnější magnetizovatelné látky. Na jejich přepólování bylo ale zapotřebí stále silnější elektromagnetické pole, kterého bylo možné dosáhnout jedině přesnějším zaměřením elektromagnetu. A to samozřejmě zvyšuje nároky na výrobu.

Kolmý záznam

Situaci příznivě ovlivnil příchod tzv. *kolmého záznamu*. Ten postupně nahrazuje padesát let používaný podélný záznam. U podélného záznamu je klíčovým prvkem prstencový elektromagnet, mezi jehož póly se vyvolává pole, procházející také magnetizovatelnou látkou, kterou orientuje vhodným směrem (viz obrázek).

Kolmý záznam používá jiný postup. Základními prvky jsou asymetrický elektromagnet a stabilizační vrstva. Ta je umístěna pod záznamovou vrstvou a zajišťuje, aby magnetické pole procházelo magnetizovatelnou látkou nikoli podélně, ale kolmo. Asymetrická hlavička, jejíž jeden pól je výrazně tenčí, zajišťuje, aby bylo pole směřováno více do hloubky než do šířky. Tím jsou prvky záznamové plotny orientovány nikoliv podélně, nýbrž svisle. Takto lze dosáhnout několikanásobně vyšší hustoty záznamu v rámci jedné stopy a zvětšit tak nejen kapacitu, ale především výkon. Pro dosažení žádoucí spolehlivosti se používají materiály, vyžadující pro své přepólování silné elektromagnetické pole. Záznam je umožněn díky tomu, že pole je směřováno směrem dolů do pomocné vrstvy, tedy velmi intenzivně a bez ovlivňování okolních datových prvků. Kolmý záznam umožňuje dosáhnout asi pětinasobné kapacity oproti podélnému. Zatímco podélný záznam poskytoval hustotu 100 až 200 gigabitů na čtvereční palec, kolmý záznam po-



skytuje hustotu 500 až 1000 gigabitů na čtvereční palec.

Technologie CQ

Další zvýšení výkonu disků přinesla zejména technologie *Command Queing*. *Command Queing* obecně přerovnává požadavky (čtení/zápis) na disk tak, aby je disk dokázal co nejrychleji vyřizovat (viz obrázek). Samotný princip a myšlenka CQ (*Command Queing*) je velmi stará a první použití technologie CQ se v oblasti disků SCSI objevuje již začátkem 90. let minulého století. V podobě TCQ (*Tagged Command Queing*) z roku 1998 byla tato technologie pak využívána pro starší ATA disky a první typy disků SATA. Pak přišlo NCQ, neboli *Native Command Queing*. Má stejný úkol jako TCQ a všechny technologie CQ obecně. Na rozdíl od TCQ, které je určeno pro rozhraní ATA a SATA revize 1.0 a 1.0a, je NCQ určeno pro rozhraní SATA revize 1.2 a vyšší. U SATA byl totiž později definován nativní způsob komunikace se sériovými ATA zařízeními a proto byl CQ společně s dalšími funkcemi přidán přímo do příslušných komunikačních protokolů.



Postup zápisu/čtení bez technologie NCQ (vlevo) a s použitím NCQ (vpravo)

Technologie NCQ tedy slouží k uspořádání jednotlivých souběžných úkolů disku tak, aby je disk zvládl celkově co nejrychleji bez ohledu na to, který požadavek byl vnesen jako první a který jako poslední. Pevný disk si vytváří frontu příkazů (do které jich může uložit až 36), kterou optimalizuje. Je to názorně vidět na obrázku – zatímco disk bez NCQ provádí jednotlivé úkoly v pořadí, v jakém byly zadány, disk s NCQ je provádí tak, aby výsledný čas byl co nejkratší.

Raptor

Pevné disky s plotnami, otáčejícími se rychleji než 7200 otáček za minutu, byly až do roku 2003 určené výhradně pro pracovní stanice a servery, používaly rozhraní SCSI a byly velmi drahé. To se změnilo s příchodem disků *Raptor* od společnosti *Western Digital*.

Pevné disky *Raptor* dosahují většího výkonu tím, že:

- jejich vyšší otáčky zrychlují vyhledávání dat a jejich čtení a zápis,
- plotna je fyzicky menší než u běžných disků se 7200 ot./min a umožňuje tak rychlejší vyhledávání,
- rameno operující s větším přetížením dokáže přesouvat elektromagnetem podstatně rychleji.

Těchto parametrů dosahuje za cenu menších kapacit (36 GB, 74 GB, 150 GB) a dražší výroby (asi trojnásobná cena oproti standardním diskům se stejnou kapacitou). Má ale nadstandardní spolehlivost se střední dobou mezi poruchami přes 1 milión hodin a je na něj poskytována záruka 5 let.

Raptor oproti běžnému disku vyhledává data o třetinu rychleji a díky o 40% rychlejšímu otáčení má také potenciál pro rychlejší čtení a zápis – čtení v praxi dosahuje v průměru 78 MB/s, zatímco u běžných disků jen asi 55 MB/s.



Odkryté útroby pevného disku Raptor

Plotny pevných disků *Raptor* rotují rychlostí 10 000 otáček/minutu, průměrné přístupové doby jsou podle specifikací 4,6 ms. Vyrovňovací paměť má 16 MB.

Vnější vzhled ani rozměry se *Raptor* výrazně neodlišuje od ostatních disků. Na první pohled zaujme jen členitým žebrovaním, které odvádí teplo a výrazně zlepšuje pasivní chlazení disku. Masivní kovová hmota přispívá nejen k robustnosti konstrukce, ale i ke hmotnosti disku (asi 0,82 kg). Přední část obsahuje konektory pro napájení, datový kabel a několik pozic s propojkami. Pro napájení jsou k dispozici dva konektory, Molex i SATA – označuje se to názvem *FlexPower*.



Technologie SecureConnect a ImpactGuard

Mezi další nové u *Raptor* použité technologie patří tzv. *SecureConnect*, což je zesílení hmoty datového SATA konektoru, který se často opotřebovává a praská, *TLER* (*Time Limited Error Recovery*), zlepšující kompatibilitu desktopových disků s řadiči RAID a zrychlující obnovu pole při chybách, *RAFF* (*Rotary Acceleration Feed Forward*), která monitoruje a kompenzuje nežádoucí vibrace disku a *ImpacGuard*, chránící plochy ploten před poškrábáním hlavičkami při transportu disků.

NEJLEPŠÍ WEBOVÉ APLIKACE

Další webové aplikace z ankety webového serveru www.webware.com o nejpobulárnější aplikace v deseti základních kategoriích (Webware 100 2007) – pokračování z minulého čísla.

Kategorie komunity – online setkávání a sdružovací místa a kolektivně vytvářený obsah (dokončení).

Facebook

Populární sociální síť, poskytující svým uživatelům možnost prezentovat svůj profil a zkoumat profily ostatních, komunikovat mezi sebou, vystavovat fotografie, tvořit zájmové skupiny, sdílet odkazy, publikovat osobní blogy. Nejpobulárnější službou jsou tzv. „feedy“, umožňující sledovat centrálně aktivity svých přátel bez obcházení jednotlivých míst a profilů. V poslední době lze tvořit a začleňovat i své vlastní webové aplikace.

Web: www.facebook.com

Friendster

Jedna z prvních sociálních sítí, jako první přišla s uživatelskými profily. Službu koupil v roce 2003 Google, protože již přestávala být schopná technicky zajistit obrovský zájem. V současnosti má stále asi 40 miliónů členů, přes současnou značnou konkurenci novějších a pobulárnějších sociálních sítí MySpace a Facebook.

Web: www.friendster.com

Gaia Online

Propojení sociální sítě s rozsáhlými online hrami s mnoha hráči hrajícími své role (*multiplayer online role playing games*). Uživatelé si mohou tvořit své avatary a zapojovat se s nimi formou hry do virtuálního světa. Síť má i svůj

trh a mikroekonomii mezi členy. Denně má přes 300 000 aktivních uživatelů. K dispozici jsou také fóra, kde lze diskutovat o čemkoliv z reálného i virtuálního světa.

Web: www.gaiaonline.com

LinkedIn

LinkedIn nabízí prostředky ke sledování a udržování vztahů (propojení), jak v soukromém, tak v pracovním životě. Uživatelé si mohou vytvářet své vlastní síť a používat je pak ke sledování kdo s kým a jak je propojen. Umožňuje to tak mimo jiné i poznávat přátele svých přátel, z čehož vznikají i nové obchodní příležitosti. Zdarma je zde možnost pokládat libovolné otázky, na které experti odpoví.

Web: www.linkedin.com

Me.dium

Tato služba vám ukazuje, kdo další je právě na webu, který si prohlížíte. Ukáže také kde jsou právě vaši přátelé (na Internetu), co si prohlížejí. S ostatními návštěvníky stejného webu (na kterém právě jste) můžete i chatovat.

Web: www.me.dium.com

MySpace

MySpace je jednou z nejpobulárnějších a neuznávanějších sociálních sítí na Internetu. Má také nejsilnější provoz. Původně zahájila svou činnost jako síť pro muzikanty a jako místo, kde mohly hudební skupiny propagovat svá vystoupení. Hlavní předností sítě jsou

plně editovatelné uživatelské profily. Integrovaný email i textový chat umožňují vzájemnou komunikaci uživatelů. K dispozici jsou i blogy, fotogalerie, videa, k vlastní osobní stránce lze přidávat hudební ukázky.

Web: www.myspace.com

Kategorie data – nástroje pro vyhledávání online informací a ukládání a sdílení souborů.

Allpeers

Nástroj pro sdílení souborů, fungující přímo v okně internetového prohlížeče. Vytvoříte si zde v samostatném panelu seznam přátel a pak jen pouhým přetahováním myši jim můžete posílat soubory z okna souborového manažeru. K posílání se používá technologie P2P (*BitTorrent*), soubory tedy neprocházejí žádným společným místem.

Web: www.allpeers.com

Apple .Mac

Soubor webových a softwarových služeb pro uživatele počítačů Apple na bázi ročního předplatného. Uživatelé dostanou úložný prostor, e-mail dostupný z webu, vlastní blog, mohou tvořit veřejné nebo soukromé skupiny (ty dostanou rovněž základní vybavení). Výhledově má umožnit přístup k vlastním počítačům odkudkoliv z počítače Apple.

Web: www.apple.com/dotmac

BitTorrent

Moderní technologie sdílení souborů P2P, používající klientský software. Rozděluje soubory na malé kousky, které pak mohou být sdíleny a posílány v libovolném pořadí, nakonec jsou vždy zase správně poskládány. Různé kousky se stahují od různých uživatelů, podle jejich okamžité dostupnosti.

Web: www.bittorrent.com

Box.net

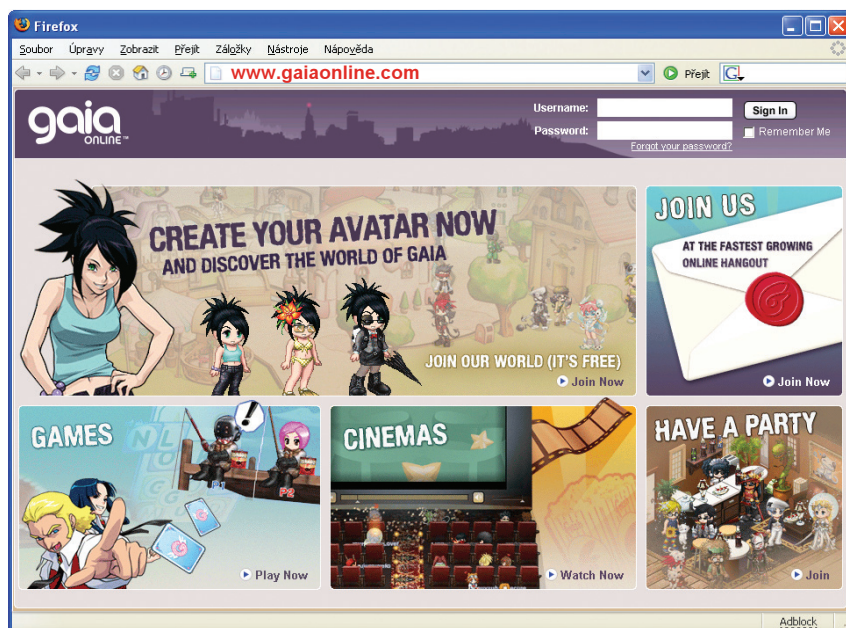
Poskytovatel webového úložného prostoru. Uživatel dostane k dispozici zdarma 1 GB, za příplatek pak libovolnou kapacitu s dalšími službami.

Web: www.box.net

ChaCha

ChaCha je vyhledávací nástroj s lidskou asistencí. Navězte textovou komunikaci s osobou na straně vyhledávače, která vám pomůže najít to, co hledáte (např. správnou formulaci vyhledávacích kritérií). Je zde k dispozici i běžný (neasistovaný) vyhledávač.

Web: www.chacha.com





Google

Google asi není nutné představovat, jde o nejnámější vyhledávač na Internetu s mnoha dalšími službami (software, mapy, mail, komunikace ad.).

Web: www.google.com

Pando

Další P2P technologie sdílení souborů. Používá klientský software, umožňující sdílet soubory, které jsou příliš velké k zaslání mailem nebo jako příloha chatu. Služba je zdarma, soubory mohou mít maximálně 1 GB a mohou být uloženy týden. Je zde i placená služba s lepšími parametry.

Web: www.pando.com

Windows Live Search

Webový vyhledávač Microsoftu. Umožňuje prohledávat web, vyhledá-

vat obrázky, videa, hudbu, zprávy ad. Vyhledávat se dá i podle obrázku!

Web: www.live.com

Yahoo Search

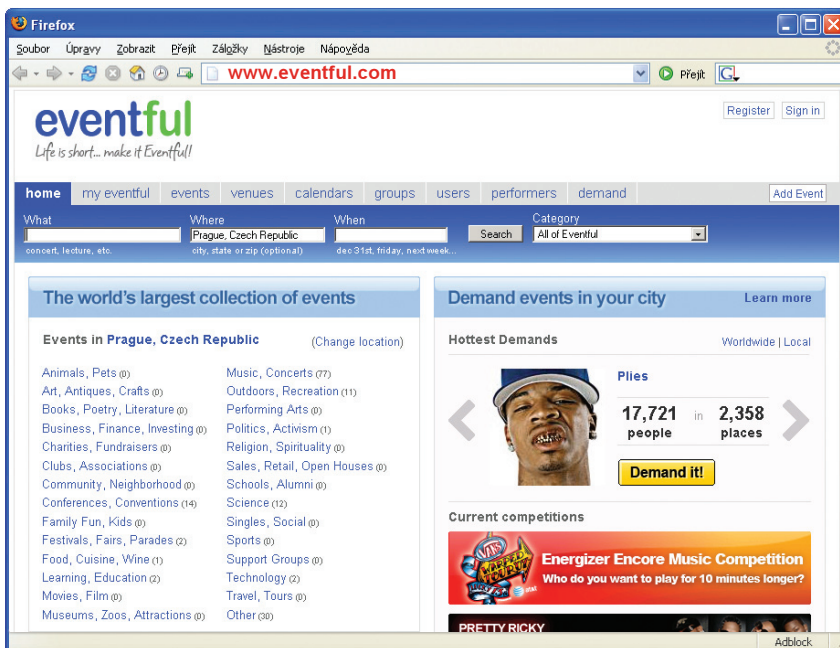
Další z velmi známých vyhledávačů na Internetu. Udrzuje si i určitý archiv stránek, které tak lze najít i když už (trvale nebo dočasně) požadovaný web neexistuje.

Web: <http://search.yahoo.com>

YouSendIt

Opět sdílení souborů, tentokrát na serveru poskytovatele služby – stačí tam soubor nahrát a svůj počítač můžete vypnout. Není tedy tak flexibilní jako P2P, ale je pro obě strany pohodlnější. I zde je základní služba zdarma a další placené.

Web: www.yousendit.com



Kategorie entertainment (zábava) – weby pro chvíle odpočinku, hry a soutěže.

Desktop Tower Defense

Vaše pracovní plocha je pod útokem vetřelců ze země i ze vzduchu – musíte ji chránit za každou cenu. Zábavná flashová hra, při které můžete promarnit několik minut i hodin vašeho dne.

Web: www.handdrawngames.com/DesktopTD

Eventful

Web, kde najdete všechny možné zábavné věci, které můžete dělat v okolí, místa, kde se nacházíte (po celém světě). Lze samozřejmě vyhledávat podle oblastí zájmů a naopak vkládat další informace. Sepisováním požadavků a sbíráním podpisů lze některé události (např. koncerty) i „zpusobit“.

Web: www.eventful.com

GameGum

Hráčská komunita a portál pro flashové hry. Je zde obrovské množství free flashových her které lze hrát, diskutovat o nich a hodnotit je. Je to i sociální síť, každý uživatel zde má svůj profil. Autoři her zde mohou propagovat své výtvořky.

Web: www.gamegum.com

Homestar Runner

Směs zábavy a her na jednom místě. Web „obsluhuje“ řada různých charakteristických figurek. Je zaměřený na komiksy, prodává i DVD s komiksovým obsahem a udržuje rozsáhlou databázi komiksových figurek.

Web: www.homestarrunner.com

Line Rider

Flashová hra na webu, je to napůl zábava napůl tvořivost. Vytváříte dráhu pro maličkého sáňkaře, jedoucího velkou rychlostí. Platí zde všechny fyzikální zákony a není proto zcela snadné dobrou dráhu vytvořit.

Web: www.officiallinerider.com

Newgrounds

Opět portál pro flashové hry (bezplatný). Jsou zde i komiksy, uživatelská fóra, hudební klipy a online magazin. Hry, které se málo hrají, jsou postupně vyřazovány, což motivuje uživatele hrát své oblíbené hry, aby o ně nepřišli.

Web: www.newgrounds.com

Revision3

Více než deset pravidelných originálních show, které jsou právě jen na webu. Mnoho z nich je technicky zaměřeno, ale najdou se i témata jako je vaření a hudba. Vše je zdarma, kdo si zaplatí, má k novým programům přístup o pár dní dříve.

Web: www.revision3.com

(Pokračování příště)

TECHNICKÉ ZAJÍMAVOSTI

HTC Shift

Na trhu se vbrzku objeví další dobře vybavené UMPC (ultramobilní PC). UMPC jsou zařízení někde mezi PDA a notebookem, která mají obvykle dotykový displej a používají běžný operační systém (jako *Windows XP*, *Vista* nebo *Linux*).

V přístroji *HTC Shift* budou k dispozici dokonce dva procesory – jeden s frekvencí 800 MHz (Intel Santa Rosa A110), který se bude používat pro operační systém *Windows Vista*, a druhý s frekvencí 400 MHz (Qualcomm), který je určený pro operační systém *Windows Mobile*. Oba systémy mají být schopné pracovat současně! Mobilní část má obsahovat i třípásmový modul pro komunikační technologie GSM a i rychlé UMTS/HSDPA.

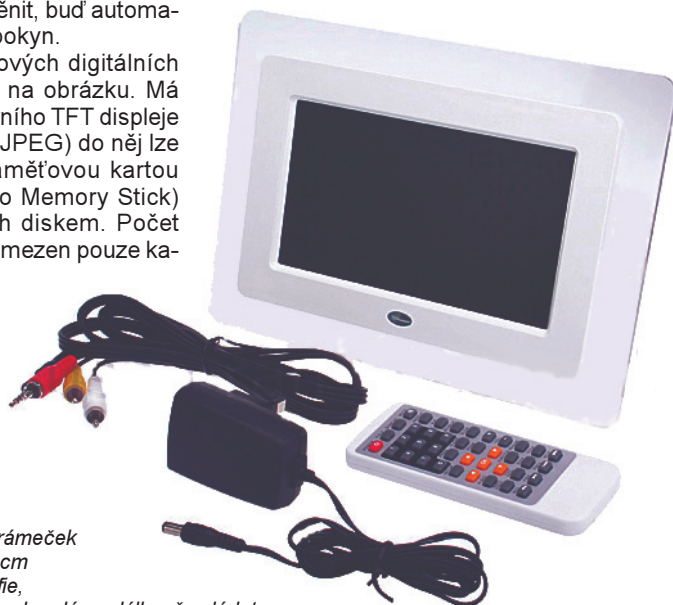
Dotykový displej s úhlopříčkou 7" má maximální rozlišení 1024 x 800 pixelů. Pro bezproblémovou funkci *Windows Vista* bude *HTC Shift* vybaven 1GB operační pamětí RAM (DDR2) a jeho pevný disk 1,8" poskytne kapacitu 40 GB. V zařízení bude i webová kamera a čtečka otisků prstů. Pro bezdrátovou komunikaci pak budou k dispozici technologie Wi-Fi 802.11b/g a Bluetooth 2.0.

Cena *HTC Shift* by se měla pohybovat okolo 35 000 Kč včetně DPH.

Digitální LCD fotorámeček

Díky klesající ceně displejů LCD se už začínají objevovat i jejich jednoúčelová využití. Klasický rámeček s fotografií blízkých nebo oblíbené krajiny má své místo na pracovních stolech nebo sekretářích mnoha kanceláří i domovů. Pokud je ovšem digitální, mohou se na něm obrázky měnit, buď automaticky nebo na pokyn.

Jeden z takových digitálních fotorámečků je na obrázku. Má úhlopříčku aktivního TFT displeje 7" a fotografie (JPEG) do něj lze vkládat buď paměťovou kartou (SD, MMC nebo Memory Stick) nebo USB flash diskem. Počet obrázků je tak omezen pouze ka-



Digitální LCD fotorámeček s úhlopříčkou 18 cm zobrazuje fotografie, přehrává videa i zvuky, dá se dálkově ovládat

UMPC se velikostí blíží PDA, vybavením zase notebooku



Na *HTC Shift* lze současně pracovat v operačních systémech *Windows Vista* i *Windows Mobile*

pacitou připojených paměťových médií. Kromě toho umí tento přístroj přehrávat i videa ve formátu MPEG1, MPEG4, AVI, DivX2 a DivX3 a zvukové nahrávky ve formátech MP3 a WMA (má vestavěný reproduktor).

To vše lze ovládat nejen tlačítky přímo na zadní straně rámečku, ale i přiloženým dálkovým ovladačem.

Rozměry digitálního fotorámečku jsou 235 x 169 x 28 mm, váha 560 g a cena okolo 120 USD.

Digitální vlhkoměr a teploměr

Digitální vlhkoměr a teploměr ve formátu kreditní karty nabízí internetový obchod na www.meteostanice.cz. Přístroj měří relativní vlhkosť vzduchu v rozsahu 0 až 100% s rozlišením 1%,

teplotu vzduchu v rozsahu 0 až 50°C s rozlišením 0,1°C, v obou případech zaznamenává i naměřené minimální a maximální hodnoty. Jeho rozměry jsou 89 x 52 x 7 mm, váha 33 g, napájení z baterie CR2032. Cena 490 Kč včetně DPH.



Digitální vlhkoměr a teploměr

Myš na prst

Zdálo by se, že pokud jde o myš, nelze už nic převratného vymyslet. A hle – další originální řešení. Tato myš nebude nikde překážet, protože je připevněná na ukazováček. Jde o myš optickou (800 dpi) a jejím čidlem lze pohy-



Optická myš na ukazováček

bovat po jakémkoliv povrchu (třeba po kalhotkách, viz obrázek). Tlačítka i kolečko (ani to nechybí!) se ovládají pohodlně palcem. Myš se k počítači připojuje tenkým kabelem USB a z portu USB je i napájena.

Myška na prst váží přibližně 35 gramů při rozměrech 62 x 23 x 33 mm a stojí 35 USD.



rolovací kolečko



levé tlačítko

pravé tlačítko



Myš na prst – upevnění, ovládací prvky, používání

USB náhrdelník

Spíše esteticky než funkčně je zajímavé toto řešení USB flash paměti v dřevěném pouzdře (55 x 26 x 10 mm, 13 g) s koženým řemínkem k zavěšení na krk. Skýtá 2 GB paměti za 32 USD.



Elegantní 2 GB paměti k zavěšení na krk



Zajímavé sluneční brýle s vestavěným přehrávačem MP3 a Bluetooth handsfree

Ionizátor vzduchu

Vtipný nápad – miniaturní piezoelektrický ionizátor vzduchu (vypadá jako USB paměť) se zastrčí přímo do USB portu počítače (odebírá z něj asi 40 mA) a uvolňuje 2 milióny negativních iontů na krychlový metr. Pracuje tiše a osvěžuje a čistí vzduch. Váží asi 24 g, měří 83 x 31 x 13 mm a stojí 16 USD.



USB ionizátor vzduchu

Sluneční brýle MP3/Bluetooth

Elegantně řešený MP3 přehrávač ve slunečních brýlích obsahuje i bezdrátové Bluetooth handsfree k mobilnímu telefonu. Při příchodu hovoru automaticky přepne z přehrávače na telefon a po skončení hovoru zase zpět.

Přehrávač má zabudovanou paměť flash 512 MB a přehraje formáty MP3, WMA a WAV. Ovládací prvky umožňují regulaci hlasitosti, zastavení a spuštění přehrávání a zapnutí a vypnutí přehrávače. Navíc je zde indikační LED.

Přehrávač je napájen z vestavěného akumulátoru 3,7 V/150 mAh a vydrží hrát nepřetržitě více než 6 hodin. V režimu handsfree (Bluetooth, dosah až 10 m) by měl vydržet až 4 hodiny hovoru a 120 hodin pohotovosti. Akumulátor se nabíjí asi 3 hodiny přes USB kabel nebo ze síťového popř. automobilového nabíječe.

Do sluchátek (která jsou ve třech směrech pohodlně nastavitelná) ode-

vzdává přehrávač výkon až 5 mW ve vyrovnaném kmitočtovém pásmu od 20 Hz do 20 kHz s přijatelným poměrem signál/šum 87 dB.

Brýle měří 172 x 160 x 40 mm a váží 52 g. Chrání proti záření UVA, UVB, UVC a modrému světlu. Cena na webu <http://usb.brand.com.hk> je 110 USD.

Myš do ruky

Jako ryбка vypadá další originální myš – drží se v ruce a pohyb kurzoru se ovládá palcem pomocí kuličky (*track ball*). Ruku lze mít kdekoliv a nehrozí tak bolestivé namožení svalů a nervů (RSI). Tlačítka jsou na spodní straně myši přesně v místech, kde je ukazovák a prostředník při jejím držení, a jsou tak snadno ovladatelná. I tato myš se připojuje přes USB a je z něj napájena. Měří 120 x 45 x 40 mm, váží 97 g, průměr ovládací kuličky je 18 mm. Její cena je 12 USD.



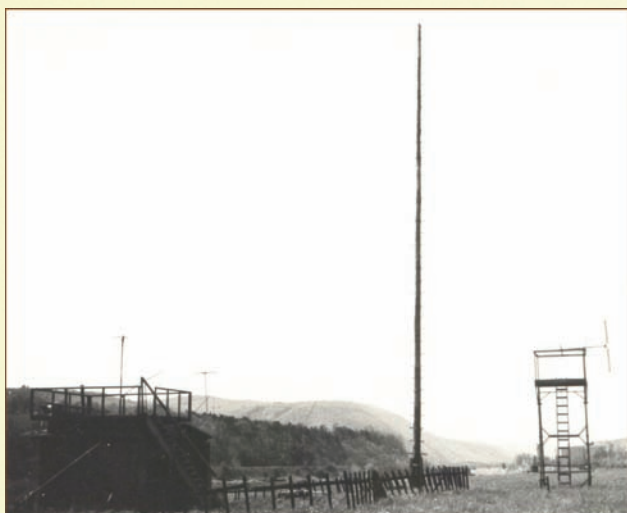
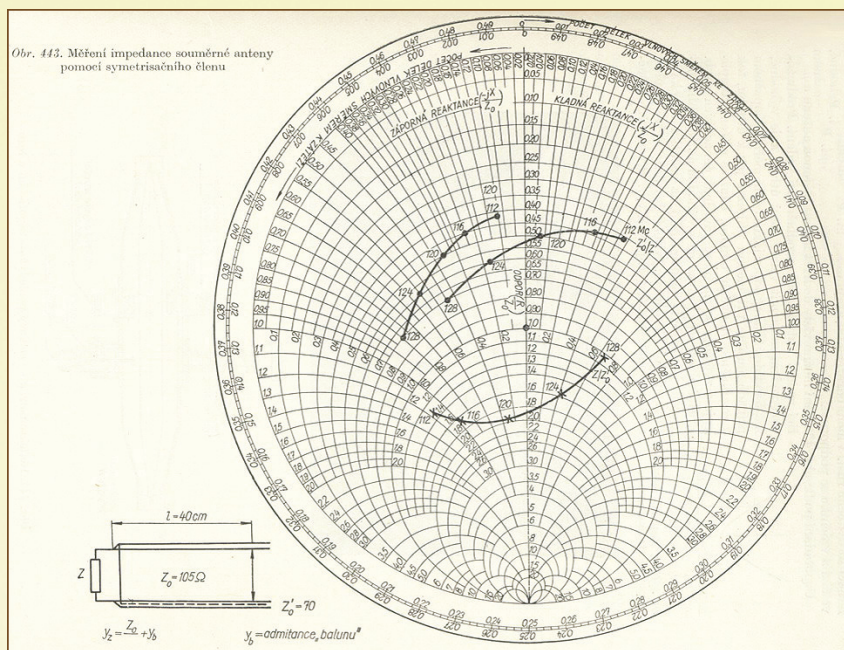
Myš jako ryбка do ruky

Vraťme se zpět k měření antén. Pro měření diagramů se v těch historických dobách používala obvykle ručně ovládaná točna, na které byla upevněna měřená anténa. Měřicí soupravy se postupně s vývojem elektroniky zdokonalovaly. Od měření někde v plochem bezodrazovém terénu (obr. 5) nebo na ploché střeše (obr. 6) až k nynějším bezodrazovým komorám (obr. 7) s automatickým záznamem polohy antény a intenzity pole. Obzvláště obtížné bylo měření zisku antény na nižších kmitočtech. Homogeností pole nebyly vynikající, a tak se hledaly různé krkolonné metody, jak na to (obr. 8). V zásadě jde o to, aby se měřená a referenční anténa nalézaly vždy ve stejném rozložení elmag. pole.

Zpracováno podle mého textu ve Sborníku NTM v Praze č. 34 „Studie o technice v Českých zemích 1945-1992“ a mé publikace „Antény, encyklopedická příručka“ (BEN, 3. vydání).

(Pokračování)

Obr. 4. Smithův diagram (vpravo)



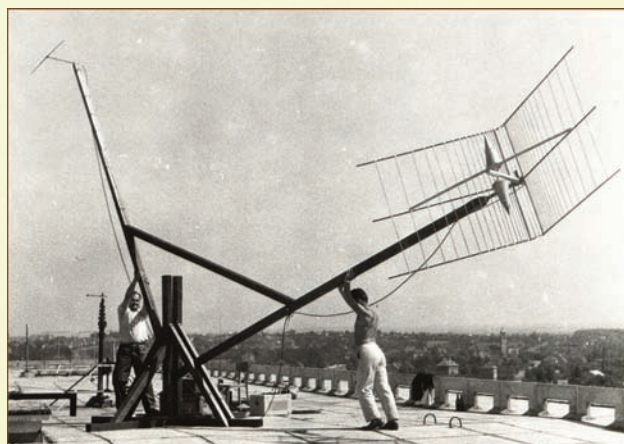
Obr. 5. Měření antén v terénu



Obr. 6. Měřicí pracoviště na střeše budovy



Obr. 7. Měřicí bezodrazová komora



Obr. 8. Některé metody byly i dosti fyzicky náročné

Neděle 30. září 2007 - Den spojovacího vojska ve Vojenském technickém muzeu v Lešanech

Kromě vojenských rádiových exponátů v nově otevřené stálé expozici budou k vidění vojenští spojaři v akci: ukázky historických způsobů přenosu zpráv (včetně poštovních holubů a letadel) a výstavba a provoz moderního rádiového spojovacího uzlu. Jak se dostat do Lešan: vlakem ze stanice Praha hl. n. nebo Praha - Vršovice nebo Praha - Braník směr Týnec nad Sázavou do stanice Krhanice a dále 500 m pěšky přes most do muzea. V září je muzeum otevřeno každou sobotu a nedělí od 9 do 17 h. Vstup zdarma. Občerstvení je možno obstarat přímo v areálu muzea.

Válečné přístroje avioniky - radiokompasy EZ6 a FuG16Z

Rudolf Balek

(Pokračování)

E16

Komentář k obr. 27, PE 8/07, s. 43: Elektronky R01 a R02 v přijímači E16 jsou řízeny napětím AVC. Pro působivější nasazení AVC je možno nahradit je selektodami RV12P001 - pouhou výměnou. R07 je směšovač s pevným předpětím, daným katodovým odporem W29; udává optimální pracovní bod pro směšování. Místní třibodový oscilátor osazený elektronkou R08 je oddělený, samostatný a jeho anodové napětí je stabilizováno na velikost 70 V doutnavkovým stabilizátorem typu STV70/6. Vše obvodů jsou laděny precizním kvartálem uloženým na kalitu, C28, C29, C30 a C31. Jeho kapacita nebyla zveřejněna. Stupeň AVC má také samostatnou elektronku R05, zapojenou jako dioda (mřížky jsou spojeny s anodou). Elektronky R01, R02 a R03 jsou v mf zesilovači, naladěném na kmitočet 3,1 MHz (někde se uvádí 3 MHz). Mf filtry - transformátory se ladí jádrem s jemným závitkem. Trubičkové kondenzátory určující šíři přenášeného pásma (nebylo uvedeno kolik, pravděpodobně 25 kHz) C2, C10 a C19 jsou v krytech mf transformátorů spolu s kondenzátory C1, C3, C11, C19 a C24. Diodový demodulátor je s elektronkou R04, zapojenou také jako dioda. Některé verze přijímače mají v obvodu AVC přidáný odporový dělič z rezistorů W21, W22 a kondenzátoru C27, dodávající malé kladné protinapětí, nastavující vhodné pracovní podmínky (zpož-

děně AVC) - viz schéma. Nf signál z demodulátoru budí koncový nf stupeň - zesilovač s elektronkou R09, s výstupním transformátorem U1 pro „vysokohomová“ sluchátka. Ladění přijímače je bez mrtvého chodu, stupnice je vyrovnána do vodorovné polohy. Díky stupnice jsou od sebe vzdáleny 25 kHz. Osa robustního kapacitního trimru C48, uloženého na kalitu, je vyvedena na čelní panel. Doladuje přijímaný kmitočet v mezích ± 30 kHz, o 5 kHz přesahuje vzdálenost dílků stupnice. Hlasitost se nastavuje změnou napětí stínících mřížky elektronky R06 a R01 potenciometrem W36. Tento způsob, velmi rozšířený u vojenských přístrojů, je zaveden pravděpodobně vzhledem k šetření anodových baterií. Při „napískávání“, tj. při cejchování přijímače na kmitočet 39,2 MHz, označený červeně, je AVC vyřazeno z činnosti. Současně je ještě napětí stínících mřížek elektronky R06 a R01 sníženo zařazením rezistoru W46 na kostru přístroje. Podobně je tomu u elektronky R07.

Cejchovací signál dodá malý příruční vf generátor, osazený jednou elektronkou RV12P2000 a krystalem o kmitočtu 39,2 MHz. Připojí se do zakrytované čelní zásuvky.

Udávaná citlivost přijímače je asi 4 μ V. Zápornou vlastností byl citelný šum, který se zvyšoval s rostoucí provozní teplotou, takže nedovoloval přijímat slabé signály. Při naladění přijímače na dostatečně silný signál šum zmizel.

Přijímač, amatéry pojmenovaný „šestnáctka, fugárna, fugina“, byl v poválečných letech levně k mání ve střediscích sběrných a druhotných surovin. Ojediněle byl zdatnými amatéry upraven vstup-

ními a oscilátorovými obvody na dvoumetrové amatérské pásmo. Mf zesilovač a AVC a nf stupeň přitom zůstaly v originálním stavu. Vlastní šum byl citelný. Později, nástupem heptalových miniaturních elektronek 6AK5 a našich 6F32, s jejich pracným instalováním se šum i citlivost přijímače viditelně zlepšily. Ovšem nezapomenutelnými zážitky konstruktérů se silnými nervy bylo laborování se vstupními obvody L10 a L11 a také L8/C28 (odlaďovač zrcadel) a s L15 - dostat se do pásma.

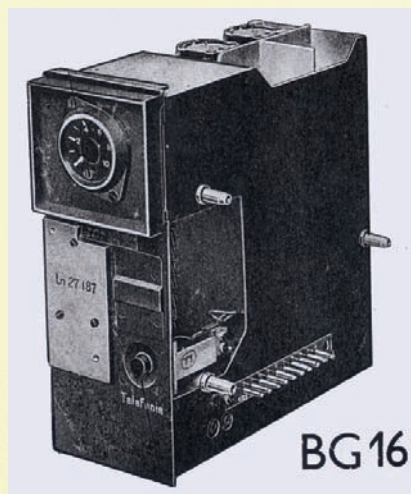
V padesátých letech minulého století byl na kmitočtech FuG16 zachycován fonický provoz ruských amatérů a v egyptsko-izraelské válce provozní komunikace tanků, podmalované kulisou střelby.

BG16

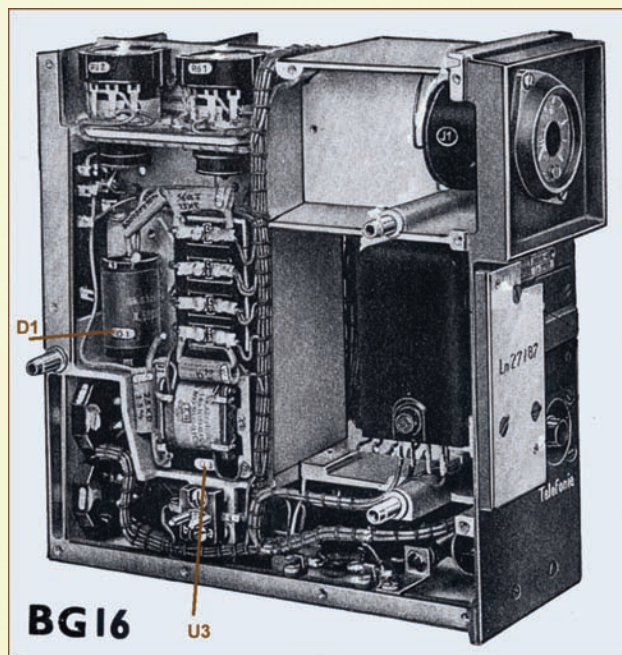
Druhá, prostřední a menší část přístrojového bloku je ovládací skříňka, přístroj BG16 (obr. 29, 30). Obsahuje především analogový ručkový měřicí přístroj M1 (AFN2, SCH A17) kulatého tvaru o průměru 50 mm, se světélkující kruhovou stupnicí s rozsahem 270°. *Poznámka:* Světélkující letecké palubní přístroje s fosforovým nátěrem číslic a ruček byly aktivovány zvláštní infračervenou s obdéníkovým okénkem. Žárovka byla umístěna na stropu kabiny tak, aby byla palubní deska ozářena. Číslice a ručky neuvěřitelně jasně zářily a přitom neoslňovaly.

Na čelní desce je tlačítko TELEFONIE, uvádějící do provozu vysílač. Tlačítko v případě, že je FuG16 umístěna vedle pilota nebo na pracovišti navigátora, je pohodlně ovládané. Ve většině případů je ale FuG16 ovládaná dálkově, kdy je umístěna v trupu letadla. Pak je tlačítko TELEFONIE přímo na řídicí páce pilota. Zpravidla se dálkově ovládal přijímač, vysílač už méně.

(Pokračování)



Obr. 29. Ovládací přístroj BG16. Vpravo nahoře dvě „potopené“ elektronky typu RV12P2000. Vlevo indikátor anténního proudu, dole tlačítko TELEFONIE, na boku desetikolíková propojovací lišta a tři vodící kolíky správného zasunutí do soupravy



Obr. 30. Prostřední díl staničního bloku FuG16 - ovládací přístroj BG16, skladové číslo Ln 27187. Nahoře elektronky RV12P2000, R01 a R02 v zapuštěných objímkách. Vpravo nahoře analogový kulatý měřicí přístroj Sch A17 výstupního vf proudu, uprostřed relé R1, na čelní desce tlačítko TELEFONIE - vysílání. U3 - mikrofonní transformátor; D1 mohutná tlumivka na železném jádru

Maják OK0EA v pásmu 47 a 76 GHz na Černé hoře

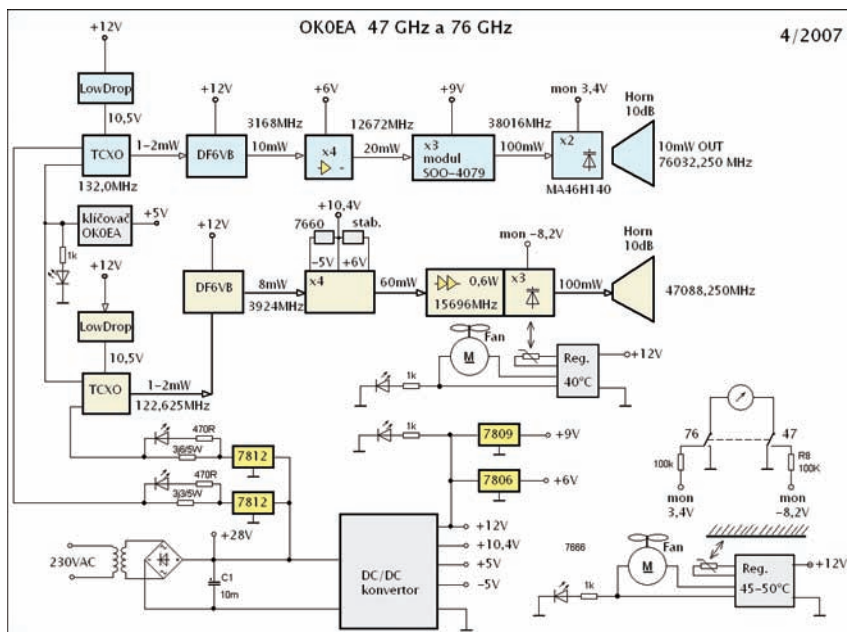
V květnu roku 2006 byl na Černé hoře nainstalován maják OK0EA pro pásmo 24 GHz. V časopise PE 7/2006 je o tom podrobnější pojednání, a protože tenkrát ještě žádné praktické zkušenosti nebyly, uběhl nějaký ten čas a několik závodů, aby účastníci nějaké praktické poznatky získali. S jednoročním odstupem se tedy ukazuje, že pomůcka funguje nad očekávání dobře. Možná právě díky značnému výkonu (1 W) je slyšet i na místech, kde by se to ani nečekalo, a při soutěžích jako orientační bod je to velmi přínosné.

Jedinečná je i možnost indikace podmínek šíření především v souvislosti s počasím. Že vlhký vzduch či mlha a déšť, tedy voda v různých konzistencích pohlcuje vysokofrekvenční energii, ukazují grafy na stránkách radioamatérských časopisů již dříve publikované. Jak to vypadá, když taková situace nastane náhodou při závodě, kdy to zrovna nejméně potřebujeme, ukázal Polní den 2006 a Mikrovlnný závod 2007.

Z pohledu na oblohu, případně na meteorologickou situaci na internetu sice již leccos odvodíme, ale jak to skutečně tlumí, se přesvědčíme až praktickým poslechem známého signálu přímo na pásmu.

Pakliže zjistíme nějaký ten úbytek, nemůžeme se divit, že „chatrná“ spojení už nejdu, a podle toho to i vypadá v našem soutěžním deníku.

Snad největšího zúročení majáků bychom se měli dočkat na podzim, kdy se vytvářejí mnohdy i anomální podmínky šíření způsobené teplotními, ale hlavně vlhkostními inverzemi. Úzké pásy suchého vzduchu v různých výškách v těsném styku s vrstvami vlhčími umožní díky vhodnému indexu lomu šíření mikrovln na stovky km daleko i s nepatrným výkonem. Podařilo se to několika stanicím ve Francii a v časopise DUBUS 1/2007 o tom F4BUC obsáhle informuje. Protože byla na trase takového dalekého spojení zcela náhodou meteorologická stanice, jsou k dispozici i údaje z meteorologických sond. V časovém období od 6. do 11. listopadu byla navázána řada dalekých spojení na 10, 24 i 47 GHz nejen v západní Evropě, ale i u nás. OK7RA pracoval na 3 cm (10 GHz) do Anglie a Francie. QSO na 47 GHz s OE5VRL/5 se povedlo díky tomu, že Rudi poslouchal velmi silně ma-



Obr. 1. Blokové schéma majáku OK0EA pro pásma 47 a 76 GHz

ják OK0EA na 24 GHz, což dávalo naději i pro 47 GHz.

Ještě koncem loňského roku bylo rozhodnuto vybudovat maják rovněž pro pásma 47 a 76 GHz, protože stanic tu přibývá a nutnost obdobné orientace jako na 24 GHz je v budoucnu žádoucí.

Sestavu obou majáků ukazuje blokové schéma (obr. 1). Termostatované oscilátory a generátor značky s mikroprocesorem zhotovil Milan, OK1UFL. Násobiče jsou v obvyklém provedení, dokonce na deskách DF6VB známé z transvertorů pro 6 cm (5,7 GHz), zde modifikované na vyšší výstupní kmitočty, což zapojení umožňuje.

Další násobiče jsou již v provedení s GaAsFETy až po 15,696 GHz, kde následuje zesilovač s výkonem asi 0,6 W, jenž budí varaktorový zdrojovač. Celek je v kompaktním mosazném bloku opatřen chladičem s malým ventilátorem. Výstupní výkon 100 mW na pásmu 47 GHz je účtyhodný. Aleš, OK1FPC, má již technologii výkonnějších jednotek i pro transvertory zvládnutou a výsledky na pásmech s nimi jsou vynikající. Podobně tomu je i na 76 GHz. Klíčovou součástí je

profesionální modul, jenž dává 100 mW na 38 GHz při buzení 20 mW na 12,672 GHz. Varaktorový zdvojovač s MA46H146 (přilepený čip) je v samostatném bloku připevněn také na chladiči. Výstupní výkon 10 mW na 76 GHz je v radioamatérské praxi u nás zatím ojedinělý.

Maják jako celek je konstruován tak, aby se nic zbytečně neohřívalo. Celkový příkon se podařilo stlačit pod 28 W, ale stejně odejde celý jako teplo. Napájecí napětí 12 V již není získáváno klasickým stabilizátorem, ale DC-DC měničem, který má dobrou účinnost a v provozu je úspornější. Uvnitř zařízení je ještě další ventilátor, jehož čidlo je nastavené na 40 až 50 °C. Je třeba počítat s přehřátím, které způsobí slunce v odpoledních hodinách, když svítí z té nepříznivé strany. Regulační jednotky ventilátorů zhotovil Honza, OK1UFP.

Zařízení pro mikrovlny jsou obecně vzato vždy náročná a obtížná i pracnost při jejich výrobě s kmitočtem stoupá.

Zde popisovaná sestava tomu - jak se říká - „dala korunu“, ale díky dvěma již popisovaným majákům OK0EL pro tato pásma byla ta práce alespoň cílevědomá. Po půl roce kolektivního úsilí byl maják dne 25. 4. 2007 spuštěn do zkušební provozu, aby bylo možné již v 2. subregionálním závodě získat první poznatky. Při tradičním setkání na Kozákově 12. 5. 2007 byla příležitost porovnat



Obr. 2 a 3. Vlevo pohled na maják OK0EA před jeho spuštěním; vpravo konstruktéři Pavel, OK1AIY, Aleš, OK1FPC, a Milan, OK1UFL



VKV transceiver ICOM IC-910

Koupit si transceiver pro KV pásma je dnes běžné. V posledních přibližně 10 letech se rozšířilo používání „univerzálních“ transceiverů, které jsou schopny pracovat jak na KV, tak na VKV pásmech alespoň do 145 MHz, mnohé i na 430 MHz - ovšem u těchto univerzálních typů se jedná vždy o určitý kompromis jak na straně KV, tak VKV pásem. Pro běžné použití však průměrně náročnému amatérovi vyhoví. Již méně často se však setkáme se zařízením určeným výhradně pro provoz na VKV; vždy se jedná o přístroj patřící do vyšší cenové třídy, splňující však speciální požadavky, mnohdy využitelné jen při provozu na VKV, při spojení přes družice atp.

Jedním z takových zařízení, splňujícím převážnou většinu požadavků vážných zájemců o VKV provoz, je transceiver firmy ICOM, který tato firma nabízí pod typovým označením IC-910. V základní nabídce se jedná o dvoupásmový transceiver pro 145 a 430 MHz s vysokou citlivostí a samostatným předzesilovačem pro každé z uvedených pásem a s výkonem vysílače 100 W (75 W na 430 MHz) při provozu všemi běžně užívanými módy. Navíc je možné jej rozšířit modulem na třípásmovou verzi, pracující i v pásmu 1,2 GHz, tam jen s maximálním výkonem 10 W. Má také integrovaný interní interface pro paketový provoz rychlostí 9k6 i 1k2, dalším nabízeným doplňkem je i konvertor pro 2,4 GHz umožňující přijímat satelitní signály.

Přijímací část se vyznačuje obvyklými funkcemi, které známe z KV zařízení - omezovačem poruch, IF posuvem, vf atenuátorem, možností skenování, pamětí pro kmitočty i mód, vestavěným elektronickým klíčem a audiokompresorem. Dokoupit je možné i DSP jednotku účinně potlačující šum. Z funkcí využitelných převážně na VKV lze jmenovat CTCSS kodér/dekodér, úzkopásmový příjem FM signálů, odskok pro provoz přes převaděče, možnost pracovat se dvěma paketovými



nódy současně, teoreticky je možné využít jej i pro duplexní provoz na dvou pásmech atp.

Technická data: provoz SSB, CW a FM, přesnost odečtu kmitočtu 1 Hz (u FM 100 Hz). Rozsahy závisí na provedení, běžně se pro Evropu dodává s rozsahem 144,0-146,0 MHz a 430-440 MHz, doplněk má rozsah 1240-1300 MHz. Hmotnost 4,5 kg, rozměry 241 x 94 x 239 mm, výkon vysílače je říditelný od 5 W výše (pro 1200 MHz 1 až 10 W). Vyzařování nežádoucích kmitočtů je potlačeno o více jak 60 dB, selektivita je 2,3 kHz pro SSB a CW (s dodatkovým telegrafním filtrem 500 Hz) a 15 kHz pro FM. Ladicí krok lze nastavit pro SSB a CW v rozsahu 1-10-50-100 Hz, pro FM 0,1-5-6,25-10-12,5-20 a 25 kHz. Zařízení umožňuje současný nezávislý provoz na obou pásmech, split provoz nebo plně duplexní provoz. Neměl jsem příležitost vyzkoušet tento přístroj při „těžkém“ provozu v nějakém VKV závodě při přeplněném pásmu, ale dá se předpokládat, že ve srovnání s „univerzálními“ KV+VKV typy bude po všech stránkách vhodnější.

QX

KV

Kalendář závodů na září a říjen (UTC)

15.9.	OK-SSB závod	SSB	04.00-06.00
15.-16.9.	Scandinavian Act. (SAC)	CW	12.00-12.00
15.-16.9.	QCWA QSO Party	MIX	18.00-18.00
22.-23.9.	Scandinavian Act. (SAC)	SSB	12.00-12.00
22.-23.9.	CIS DX Contest	CW+RTTY	12.00-12.00
28.9.	Závod ČAV	CW	18.00-19.00
29.-30.9.	CQ WW DX Contest	RTTY	00.00-24.00
1.10.	Aktivita 160	SSB	19.30-20.30
2.-7.10.	CW Activity Week	CW	
3.10.	DTC Contest	CW	07.00-10.00
6.10.	UCWC Contest	CW	00.00-08.00
6.10.	SSB liga	SSB	04.00-06.00
6.10.	EU Sprint	SSB	16.00-19.59
6.-7.10.	Oceania Contest	SSB	08.00-08.00
6.-7.10.	HF Phone WAB	SSB	12.00-12.00
6.-7.10.	PRO-CW-Contest	CW	16-18,06-08
7.10.	Provozní aktiv KV	CW	04.00-06.00
7.10.	ON Contest	SSB	06.00-10.00
7.10.	21/28 MHz RSGB Contest	SSB	07.00-19.00
8.10.	Aktivita 160	CW	19.30-20.30
13.10.	OM Activity	CW/SSB	04.00-06.00
13.10.	EU Sprint	CW	16.00-19.59
13.10.	VFDB-Z Contest	CW	12.00-16.00
13.-14.10.	Oceania Contest	CW	08.00-08.00
14.10.	ON Contest	CW	06.00-10.00
20.10.	Plzeňský pohár	CW+SSB	05.00-06.30
20.-21.10.	JARTS RTTY WW Contest	RTTY	00.00-24.00
20.-21.10.	Worked all Germany	MIX	15.00-15.00

21.10. 21/28 MHz RSGB Contest CW 07.00-19.00
27.-28.10. CQ WW DX contest SSB 00.00-24.00

POZOR! Letní čas na zimní se mění poslední neděli v říjnu, tzn. **28. 10.**, kdy se v 03.00 posunou hodiny zpět na 02.00. Doporučuji mít staniční hodiny nastaveny stále v UTC čase - ten se nemění - a podle nich zapisovat i údaje do deníku. U počítačových deníků vedených v prostředí WINDOWS XP se data i čas mění automaticky, ale pozor na stanovení právě platného rozdílů času!

Pořadatelem závodů SAC je letos finský klub SRAL, adresa pro papírové deníky: *OH2UA, Toni Lindeacute, Kylatie 22A5, FIN-00320 Helsinki, Finland.*

Adresy k odesílání deníků přes internet (pokud možno, zkontrolujte před odesláním přímo u pořadatele)

21/28 MHz CW:
2128cw.logs@rsgbhfcc.org
21/28 MHz SSB:
2128ssb.logs@rsgbhfcc.org
CQ WW RTTY: wrrtty@kkn.net
CQ WW SSB: ssb@cqww.com
DTC: dtc@agcw.de
EU Sprint: eusprint@dl6rai.muc.de
Oceania CW:
cwocst@oceaniadxcontest.com
Oceania fone:
phocst@oceaniadxcontest.com
OK SSB: ssb@crk.cz

ON Contest: on5wl@amsat.org
Plzeňský pohár: ok1drq@quick.cz
Provozní aktiv: ok1hcg@qsl.net
SAC: oh2ua@sral.fi
VFDB-Z: viz www.vfdb.net
WAG: wag@dxhf.darc.de

QX

VKV

Kalendář závodů na říjen (UTC)

2.10.	Nordic Activity	144 MHz	17.00-21.00
4.10.	Nordic Activity	50 MHz	17.00-21.00
6.-7.10.	IARU R.1. UHF/Microwave Cont. 1)	14.00-14.00	
		432 MHz-76 GHz	
9.10.	Nordic Activity	432 MHz	17.00-21.00
13.10.	FM Contest	144 a 432 MHz	08.00-10.00
14.10.	Contest Citta di Grosseto	50 MHz	07.00-15.00
16.10.	Activity Contest SHF	1,3 GHz	17.00-21.00
21.10.	Provozní aktiv	144 MHz-10 GHz	08.00-11.00
21.10.	AGGH Activity	432 MHz-76 GHz	08.00-11.00
21.10.	OE Activity	432 MHz-10 GHz	07.00-12.00

1) Deníky na OK1GK: *Pavel Novák, Na Farkáně III/281, 150 00 Praha 5, E-mail: ok1kir@seznam.cz nebo vkvlogy@crk.cz*
PR: *OK1KIR @ OK0PCC*

Závod uvedený 6. a 7. října 2007 se celým názvem jmenuje: IARU Region 1. - UHF/Microwave Contest 2007.

OK1MG

několik zařízení vyrobených v průběhu posledních 12 let i před zraky radioamatérské veřejnosti, která mnohdy tuto problematiku zná spíš z vyprávění a zde tak mohla vše vidět na vlastní oči. Další podrobnosti o případných úpravách budou postupně k nahlédnutí na našich stránkách

www.microwave.cbjilemnice.com

Na závěr je třeba připomenout, že popisované zařízení je kolektivním dílem řady radioamatérů. Všem patří upřímný dík. Zhotovit

a provozovat takovou pomůcku už totiž nemůže jedinec a maják OK0EA na Černé hoře je financován Českým radioklubem, který za tuto „fajnovost“ platí nemalé finanční částky. Kdysi někdo moudrý řekl, že pokrok v radioamatérském hnutí je aplikovat moderní druhy provozu na stále vyšších kmitočtech. Jestliže toto ještě platí, pak jdeme správně a investice se v tomto směru vyplatí.

Pavel Šír, OK1AIY

V neděli 20. května 2007 se polskému rodinnému mikrovlnnému týmu SP6RYL/SP6BTM (manželé Roma a Stanislaw Sawicki) podařilo překonat polský rekord v pásmu 47 GHz spojením na vzdálenost 56 km ze čtverce JO80DL do čtverce JO70SP. Jejich protivnicemi byli právě OK1AIY/p a OK1UFL/p. Blahopřejeme.



Speciální vydání DVD Amatérské RADIO 1952 až 1995

Objednávka

Jméno, příjmení, název firmy (IČO, DIČ), adresa:

.....
.....
.....

DVD AR 1952 - 1995

Cena 1650 Kč

Cena pro předplatitele 1150 Kč

počet kusů:

počet kusů:

**Zašlete na adresu: AMARO s. r. o., Zborovská 27, 150 00 Praha 5;
tel.: 257 317 312, 257 317 313; pe@aradio.cz; www.aradio.cz**

**Zájemci na Slovensku si mohou DVD objednat u firmy MAGNET-PRESS Slovakia s. r. o.,
P. O. box 169, 830 00 Bratislava, tel./fax 672 019 31-33; predplatne@press.sk.**

Seznam inzerentů v PE 09/2007

ABE TEK - technologie pro DPS	XXIII	FISCHER - elektronické součástky	XXII
AEC - TV technika	XXX	Flajzar - stavebnice a kamery.....	X
AEPS - napájecí moduly	XXVI	FULGUR - baterie, akumulátory, nabíječky apod.....	XI
AME - elektronické přístroje a součástky	VII	GES - elektronické součástky.....	II
ANTECH - měřicí přístroje, STA a TKR	XV	GM electronic - el. součástky	XVI - XVII
AV-ELMAK - elektronické přístroje.....	XXIV	HADEX - elektronické součástky	XIV
A.W.V. - zdroje	VIII	Hanzal Josef - BitScope	XXII
BATLUX - elektronické součástky, e-shop	XXV	JABLOTRON - zabezpečovací a řídicí technika	I
BEN - technická literatura	XXVIII	JL ELEKTRONIC - distribúcia elektro. súčiastok	XIX
BUČEK - elektronické součástky	XII, XXIII	KONEKTORY BRNO - konektory.....	XXII
Data Quard Slovakia - elektr. stavebnice a přístroje	XX	KONEL - konektory.....	XXX
DEXON - reproduktory	XXVI	KOTLIN - indukční snímače	XXI
DIAMETRAL - zdroje a páječky.....	III	L&I - elektronické součástky	XXII
ECOM - distribuce elektronických součástek	XXI	MEDER - relé	XXIV
ELEN - displeje	XXIII	PaPouch - měřicí a komunikační technika	XIX
ELEX - elektronické součástky aj.	XVIII	PH servis - opravy a prodej PHILIPS	XXIV
ELFA - optoelektronická čidla	XXII	PHOBOS - konektory ERNI	XIII
ELIX - radiostanice	V	Přijímací technika - anténní a satelitní technika	XIII
ELNEC - programátory aj.	XXII	RLX COMPONENTS - elektronické súčiastky	XVIII
ELPROZ - elektronická bezkontaktní relé	XVIII	SNAGGI - nabídka LED	XXX
ELTIP - elektrosoučástky.....	XXVI	Spezial Electronic - elektronické součástky	IV
ELVO - software pro elektroniku.....	XXII	SUPCAD OrCAD, software	XIX
EMPOS - měřicí technika	VI	T.E.I. - Formica.....	XXVI
EP components - elektronické součástky	XXIII	TEROZ - anténní technika	XXIII
ERA components - elektronické součástky	XXIV	TIPA - elektronické součástky	IX